

# فصل اول

معرفی سیستم‌های کنترل

و

کنترل فعال سازه

## مقدمه:

برای ایجاد شرایطی که بتوان توسط آن یک سازه با اینمی کافی طراحی کرد، لازم است اولاً نیروهای وارد بر سازه بطور دقیق ارزیابی شوند. ثانیاً: عکس العمل سازه با توجه به مقاومت مصالح آن قابل لمس و پیش‌بینی باشد و ثالثاً: از دقیق‌ترین و کامل‌ترین روش‌ها برای آنالیز و طراحی سازه استفاده کنیم.

علم مهندسی جهت طراحی با دو عدم قطعیت مهم مواجه است. نوع اول عدم قطعیت در محاسبه خصوصیات سازه مانند جرم و سختی و نوع دوم عدم قطعیت در مورد بارها و نیروهایی است که سازه در طول عمر خود تجربه می‌کند. معمولاً در سازه‌های مهندسی عمران عدم قطعیت در مورد بارها بیشتر از عدم قطعیت در مورد خصوصیات سازه است و تقریباً اطلاعات واقع‌بینانه در مورد خصوصیات و اندازه بارهای دینامیکی که توسط سازه تجربه می‌شود وجود ندارد.

علم مهندسی در روش کلاسیک و قراردادی طراحی از مقادیر مختلف ضریب اطمینان جهت جبران ناتوانائی خود در محاسبه و هماهنگ کردن دقیق شرایط ذکرشده در بالا و همچنین تسريع در انجام محاسبات و طراحی سازه استفاده می‌کند. به دلیل تضمین زندگی بشر و مقادیر زیاد سرمایه، ضرائب اینمی معمولاً به صورت غیر لزوم بزرگ هستند. این موضوع منجر به طراحی عناصر سازه‌ای می‌شود که ابعادی بزرگ‌تر از آن چه که برای تحمل بارهای عادی نیاز است، دارند. علاوه بر آن در روش طراحی کلاسیک ساده‌سازی‌هایی مثل در مورد بارهای دینامیکی که بصورت استاتیکی مدل می‌شوند، صورت می‌گیرد. به عنوان یک نتیجه حتی با ضرائب اینمی بزرگ، اینمی، آسایش و خدمت پذیری سازه‌ها در طول زلزله‌های اخیر تامین نشده است. از سوی دیگر نیاز برای مقاومت، اینمی و آسایش می‌توانند با یکدیگر تنافق داشته باشند. در نتیجه یک روش دیگر برای طراحی سازه‌ها که توجه زیادی در

طراحی ایمن و راحت سازه‌ها که همچنین دارای مزایای اقتصادی باشد ، لازم است .

با وجود اینکه مصالح جدیدی تولید شده‌اند که دارای مقاومت بالاتری هستند و رفتار آنها مشخص و معلوم است، و همچنین روش‌های پیشرفته‌تر آنالیز ممثل المان محدود که توانائی زیادی در آنالیز سازه‌ها دارند، عوامل ذکر شده توانایی مهندس سازه را به نحو چشمگیری افزایش داده و قادر ساخته تا به راحتی اقدام به ساخت سازه‌های بزرگ و انعطاف‌پذیر مانند برجهای بلند ، پلهای با دهانه بزرگ ، برجهای مخابراتی و سازه‌های دریایی کنند . اما با اینحال هنوز هم مشکلاتی وجود دارند که خواهان تدبیر امنیتی و علمی بیشتری هستند که از جمله آنها می‌توان به موارد زیر اشاره کرد :

۱. تأثیر بارهای جانبی طبیعی مانند باد و زلزله بر خرابی سازه‌ها بخصوص سازه‌های بلند .

۲. ارتعاشات با دامنه زیاد سازه‌ها که آسایش و راحتی روانی ساکنین را سلب خواهد کرد .

۳. خرابی بعضی از قسمت‌های غیرسازه‌ای مانند ایجاد ترک در دیوار .

(روک) (۱۹۶۰) گزارش کرده است که موقعی که زلاتین و همکارانش یک برج به ارتفاع ۱۰۰۰ فوت و با شعاع متغیر ۶۰ فوت الی ۹۰ فوت طراحی کردند ، دراثر بادی به سرعت ۱۵۰ کیلومتر/ ساعت، جابجایی به مقدار ۲/۵ فوت را در بالای برج ثبت کردند. به منظور محدود کردن جابجایی سازه به مقداری کمتر از ۱ فوت سازه باید تقویت می‌شد و این تقویت باعث می‌شد که ابعاد مقاطع حداقل دو برابر ابعاد مقاطع اصلی شود . بنابراین واضح است برای تقویت سازه‌های شکل‌پذیر جهت کاهش پاسخ سازه‌ها هزینه‌های زیادی لازم است که به منظور اجتناب از هزینه‌های زیاد ولی تأمین پایداری و امنیت سازه و همینطور آسایش ساکنین مفهوم تئوری کنترل سازه‌ها بوجود آمده است .

مفهوم کنترل سازه ، که از سیستم‌ها و تئوری کنترل اقتباس شده است ، در برخورد با عدم قطعیتها ،

خصوصاً عدم قطعیت در مورد بارهای دینامیکی می‌تواند مؤثر باشد. سه دهه اخیر در مورد یک رشد فزاینده در میان کاوشها بر روی مفهوم کنترل اکتیو سازه‌های مهندسی عمران به عنوان یک روش تکمیلی جهت طراحی مناسب سازه‌ها، شهادت داده‌اند.

ایده عبارتست از یک وسیله برای وارد کردن نیرو (موسوم به نیروی کنترل) به سازه، در مواجه شدن با اثرات نیروهای ارتعاشی مانند زلزله.

تئوری کنترل در ابتدا در هواپیماها، کشتی‌ها و سازه‌های فضائی مورد استفاده قرار گرفت. اخیراً در سازه‌های مهندسی عمران نیز مورد توجه قرار گرفته است. با مراجعه به تاریخچه کنترل در سازه‌ها در می‌باییم که اولین تحقیقات در این زمینه در دهه ۱۹۶۰ توسط «ایگن فریست» انجام گرفته است، که به عنوان ابزار کنترلی جهت پایدار ساختن سازه‌های بلند، استفاده از کابل‌های پیش‌تنیده را عنوان کرد. در سال ۱۹۶۵ «لوزلاتین» طرح دیگری را ارائه کرد که بر طبق آن کابل‌ها از یک طرف به سازه و از طرف دیگر توسط یک جک هیدرولیکی به زمین متصل می‌شدند، و برای کنترل حرکت کابل‌ها، سنسورهایی برای اندازه‌گیری جابجایی یا حرکت بالای سازه و ارسال داده‌ها به ابزار کنترل بکار گرفت.

برای اولین بار در در سال ۱۹۷۲ «یائو»<sup>۱</sup> یک تئوری کنترل منسجم براساس اصول کنترل سازه‌ای ارائه کرد که تا قبل از آن هیچ تئوری سیستماتیک در این رابطه وجود نداشت. طبق این اصول یک سیستم کنترل فعال و با قدرت پاسخ زیاد جهت حل مسئله پایداری از سازه‌ها مطرح شده بود.

بر طبق نظریه «یائو»<sup>۱</sup> می‌توان یک سیستم کنترل فعال که متشکل از اجزا ساده زیر است را نشان داد:

۱. سنسورهایی که در سازه قرار گرفته‌اند، تا مقدار و مدت نیروی خارجی یا پاسخ و یا هر دو را اندازه بگیرند.

---

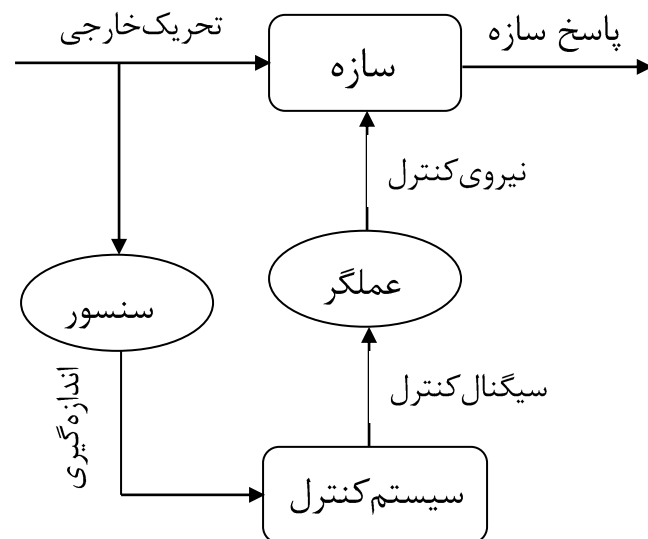
1-yao

۲. پردازشگرهایی که مقادیر اندازه گرفته شده را پردازش کرده و از آن مقدار نیروی کنترل لازم را محاسبه می‌کنند.

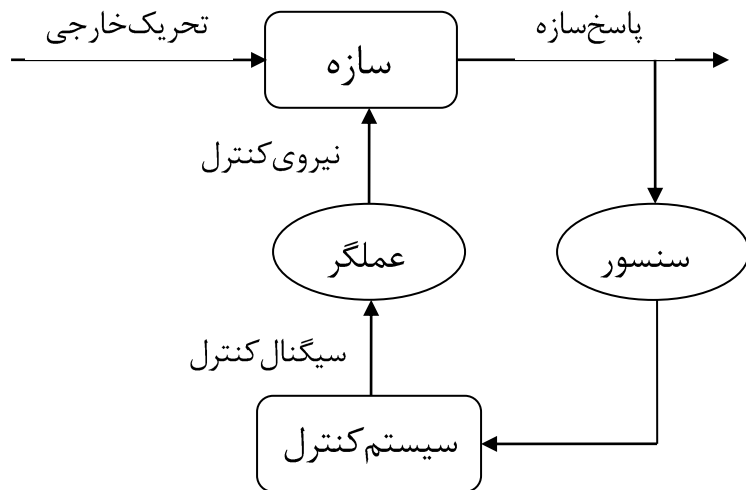
۳. عملگرهایی که توسط منابع انرژی خارجی تغذیه می‌شوند و نیروهای کنترل مورد نیاز را تأمین می‌کنند.

الگوریتم‌های کنترل فعال براساس نحوه پردازش داده‌های بدست آمده از اندازه‌گیریها، طبقه‌بندی می‌شوند.

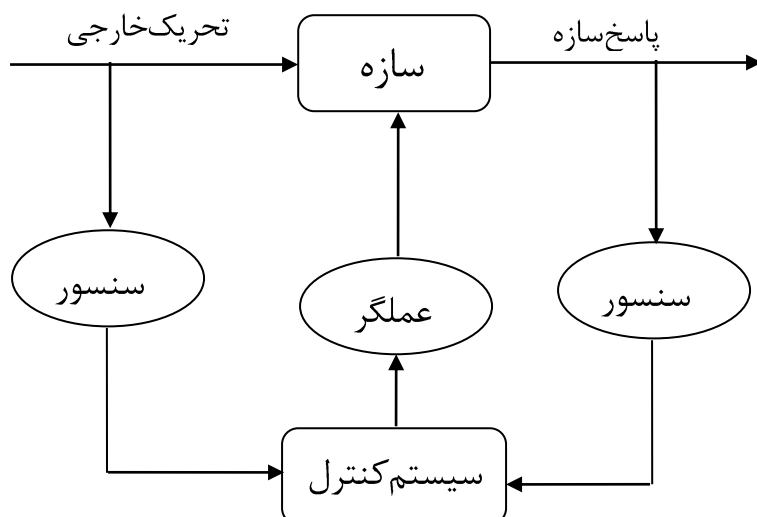
بر حسب اینکه مقادیر نیروی خارجی یا پاسخ سازه یا هر دو اندازه‌گیری شوند، الگوریتم کنترل بکار رفته متفاوت خواهد بود. اگر فقط مقادیر پاسخ سازه اندازه گرفته شوند، الگوریتم کنترل بکار رفته، کنترل حلقه-بسته نام دارد و اگر نیروی کنترل با اندازه‌گیری نیروهای خارجی تنظیم شود، کنترل حلقه-باز و اگر هر دو مقدار نیروی خارجی و پاسخ سازه جهت محاسبه نیروی کنترل بکار روند، الگوریتم به نام الگوریتم حلقه باز-بسته نامیده می‌شود. (شکل ۱-۱)



شکل ۱-۱-a- کنترل حلقه- باز



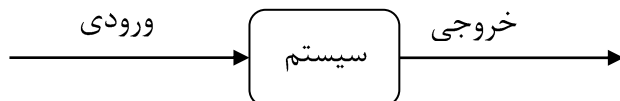
شکل ۱-۱-۲- کنترل حلقه- بسته



شکل ۱-۱-۳- کنترل حلقه باز- بسته

## تعريف سیستم:

سیستم عبارت است از یک عضو و یا مجموعه‌ای از اجزاء، که بعنوان یک مجموعه با هم دیگر کار می‌کنند.



شکل ۲-۱- سیستم کنترل نشده

این شکل یک رابطه ساده ورودی و خروجی را نشان می‌دهد. نمونه‌ای از یک سیستم کنترل نشده است و شرایط موجود در دنیای فیزیکی را توصیف می‌کند. برای مثال در ساختمانها در طول زلزله، سیستم همان سازه است و حرکت فونداسیون همان سیگنال ورودی است. البته سیگنال خروجی پاسخ سازه است. (بطور کلی هر عاملی که به علت ورودی حاصل می‌شود).

## ۱-۱- معرفی سیستمهای کنترل

تقاضای بشربرای کنترل نیروهای طبیعت یکی از علل پیشرفت انسان در طول تاریخ است. هدف از کنترل نیروها کمک گرفتن از آنها جهت استفاده بهتر از عوامل فیزیکی است که در محدوده امکانات نیستند. در خلال قرن بیستم مهندسی کنترل بسیاری از آرزوهای بشر را جامه عمل پوشاند. نحوه کار ماشینها و وسائل اولیه‌ای که به دست بشر ساخته شد، ایجاد می‌کرد که دست انسان مستقیماً با آنها در تماس بوده و رفتار آنها را کنترل کند. بنابراین یک ماشین یا دستگاه دائماً و بطور متناوب (هر چند

دقیقه) احتیاج به کنترل داشته است . اما امروزه علم کنترل در قسمتهایی مورد استفاده قرار می‌گیرد که انسان به سادگی قادر به انجام آنها نیست . در بسیاری از مسائل از قبیل کنترل دقیق درجه حرارت ، دقیق در اندازه‌گیری ، سرعت جوابگیری ، علوم هسته‌ای ، مهندسی و سایر رشته‌ها که انسان قادر به درک و حل سریع آنها نیست ، کنترل خودکار نقش اساسی و حیاتی را ایفا می‌کند .

رشد و توسعه طرز استفاده از دستگاههای کنترل خودکار در خلال ۲۵ تا ۳۰ سال اخیر ، اثر مشخصی در زندگی بشرگذارده است . چون پیشرفت و استفاده از کنترل خودکار جهت اجرای بهترین نوع عملکرد سیستمهای دینامیکی ، بهبود کیفیت و زوال قیمت محصول ، از دیاد درصد تولید و سهولت زیاد کنترل و فرمان سیستمهای را سبب شده است .

نام سیستمهای کنترل خودکار اصولاً به وسایلی اطلاق می‌شود که در هر لحظه و بطور خودکار یک سلسله از اعمال خود را بررسی ، واگر اختلافی با وضع یا نتیجه پیش‌بینی شده داشته باشد ، آن را اصلاح می‌کنند . بدین ترتیب چنین مدارهایی تا حدود زیادی مانند یک انسان متفکر عمل می‌کنند و برنامه و وظیفه‌ای را انجام می‌دهند که از قبل تعیین شده است . اتومبیل بدون راننده یا هواپیمای بدون خلبان مثالهایی از کاربرد مدارهای کنترل خودکار در سالهای اخیر است . هواپیمای بدون خلبان در هرگونه شرایط جوی که از قبل بطور کامل قابل پیش‌بینی نیست ، ارتفاع و زاویه حرکت با افق را حفظ می‌کند و پرواز را طبق برنامه به انجام می‌رساند . بطور کلی برای سیستمهای کنترل خودکار سه خصوصیت اساسی تعریف می‌شود :

- ۱ - کار یک مدار کنترل خودکار تا حد قابل قبولی مستقل از پارازیتها و عوامل خارجی ، قابل کنترل است .
- ۲ - سیستم می‌تواند خود را با شرایطی که قابل پیش‌بینی نیست وفق دهد .
- ۳ - دقیق در عمل بسیار خوب ، و در اکثر موارد به مراتب بالاتر از دقیق در عمل انسان است .

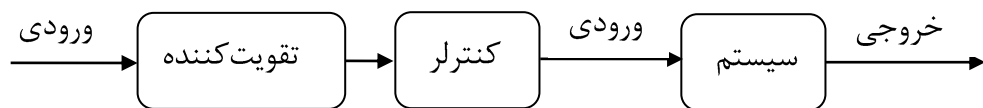
خصوصیات فوق که خواص اصلی یک مدار کنترل را تشکیل می‌دهد در قسمتهای بعدی بررسی خواهد شد.

## ۲-۱- تقسیم بندی سیستمهای کنترل

سیستمهای کنترل بطور کلی به دو نوع عمده مدار- باز و مدار- بسته تقسیم می‌شوند. تفاوت اساسی این دو گروه از سیستمهای کنترل ناشی از کاربرد شاخه پسخور در سیستمهای مدار بسته است.

### ۲-۱-۱- سیستمهای کنترل مدار- باز

سیستمهای کنترل مدار- باز سیستمایی هستند که در آنها عمل کنترل تحت تأثیر نتیجه آن عمل نیست. عبارت دیگر خروجی سیستم بر روی عمل کنترل اثری ندارد. شکل(۲-۱). مثلاً هواپیمایی که در بالای ابرها پرواز می‌کند و خلبان هواپیما فقط یک قطب نمای دارد یک سیستم مدار- باز را تشکیل می‌دهد. در حالت ایده‌آل خلبان می‌تواند به کمک قطب نمای خود به مقصد دلخواه برسد، ولی اگر جریان هوا و باد را در نظر بگیریم و همچنین با توجه به اینکه عکس العمل خلبان برای تصحیح مسیر هواپیما آهسته است، معمولاً برای پروازهای طولانی هواپیما از مسیر اصلی خود قدری منحرف می‌شود.



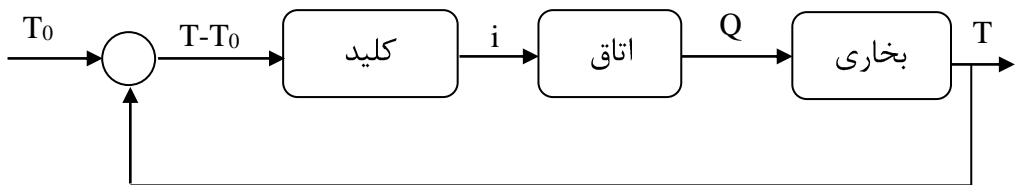
شکل ۱-۲- سیستم کنترل مدار- باز

درشکل ( ۲-۱ ) تقویت‌کننده سیگنال ورودی را تقویت می‌کند و پس از تحويل آن به دستگاه کنترلر با استفاده از قدرت خارجی عمل کنترل لازم روی سیستم تحت کنترل صورت می‌گیرد. درمثال هواپیما سیگنال ورودی ، خواندن جهت متوسط بوسیله خلبان از روی قطب نماست ، سپس خلبان با استفاده از مغز و بازوی خود ، سکان هواپیما را با خوانده خود تطبیق می‌دهد . به این ترتیب سیستم یعنی هواپیما کنترل شده و مسیر مشخصی را انتخاب می‌کند.

#### ۲-۲-۱- سیستم کنترل مدار- بسته (پسخور):

ملاحظه شد که در یک سیستم کنترل مدار- باز ، رابطه مشخصی بین ورودی اصلی یا فرمان‌دهنده و خروجی یا فرمان‌گیرنده موجود است . ولی این رابطه ممکن است به علت ورودی‌های فرعی یا اغتشاشات که بر قسمتهای مختلف مدار وارد می‌شود ، تغییر کند . بنابراین در یک سیستم مدار- باز فقط با تنظیم ورودی نمی‌توان از نتیجه خروجی کاملاً مطمئن بود . مثلاً اگر اتفاقی که توسط یک بخاری برقی گرم و جریان بخاری بوسیله یک مقاومت متغیر تنظیم شود ، رابطه معینی بین اندازه مقاومت و کالری داده شده بوسیله بخاری ( Q ) ، و در نتیجه دمای اتفاق ( T ) موجود خواهد بود . در این مثال دمای اتفاق تحت فرمان اندازه مقاومت است و برای هر مقاومت ، دمای معین ( T ) وجود خواهد داشت . حال اگر یکی از پنجره‌های اتفاق باز شود ، برای همان مقدار مقاومت ، دمای اتفاق دیگر برابر ( T ) نخواهد بود ، بلکه مقدار دیگری مانند ( T1 ) خواهد بود . لذا در این حالت تعیین مقدار مقاومت ، مستقیماً برای ایجاد دمای مورد نظر کافی نیست ، بلکه باید دستگاهی تعبیه شود که دمای اتفاق را در شرایط مختلف بررسی کند و در ضمن بررسی اگر لازم باشد مقاومت را متناسب با مقدار لازم تغییر دهد . برای این منظور فرض کنید چنانچه یک ترموموستات در اتفاق و در سرراه جریان الکتریکی قرار داده شود بطوریکه کلید جریان را در دمای  $T < T_0$

بازکند ، با توجه به شرایط جدید نوعی عمل فرمان از طرف دما انجام شده واثر ورودی فرعی خنثی شده است . ( نظیر کنترل اطوهای برق ) . در این حالت مدار فرمان مدار- باز نیست . زیرا که در دمای  $T$  ، یعنی خروجی سیستم با دمای مبنایی مانند  $T_0$  مقایسه شده و برای اختلاف درجه ( $T_0-T$ ) جریان ورودی تحت فرمان کلید قطع- وصل بوده است . مدار برای این حالت بصورت شکل زیر است :



شکل ۱-۳- سیستم فرمان تنظیم دمای اتاق

همانطوریکه شکل فوق نشان می‌دهد، خروجی سیستم توسط مدار دیگری به ورودی ارتباط داده شده است . این مدار اضافی را مدار پسخور می‌نامند . سیستم کنترل مدار- بسته (پسخور) سیستمی است که در آن سیگنال خروجی اثر مستقیمی بر روی عمل کنترل دارد . اختلاف بین سیگنال ورودی و سیگنال پسخور که ممکن است سیگنال خروجی یا ترکیبی از سیگنال خروجی و مشتقات آن باشد بنحوی به کنترل کننده اعمال می‌شود که این اختلاف به سمت صفر و خروجی سیستم به سمت مقدار دلخواه میل کند . واضح است که فیدبک اثر اغتشاش و خطای مدلسازی و حساسیت سیستم به تغییر پارامترها را کاهش می‌دهد .

### ۱-۳- نکاتی در مورد تحلیل سیستمهای کنترل

مسائلی که در تحلیل و طرح سیستمهای کنترل بایستی به آنها دقت شود ، بطور کلی خصوصیاتی از

قبيل پايداري يا عدم پايداري ، زمان عکس العمل حالت گذرا ، دقت يا خطاي حالت تعادل است . يكى از خصوصيات مهمى که هر سیستم کنترل باید دارا باشد ، مسئله پايداري آن است . بدین معنی که بهازى سیگنال ورودی معینی ، خروجی سیستم کنترل باید در مدت زمان قابل قبولی به تعداد محدودی رسیده و پس از آن زمان ، دیگر از آن حد كمتر يا زيادت نشود . خروجی سیستم کنترلی که پايدار نباشد ممکن است مرتبأ با گذشت زمان افزایش يابد . واضح است که تحت چنین شرایطی افزایش تدریجي خروجی می تواند موجب نابودی و خرابی دستگاه کنترل شود . و چنین سیستم ناپايداري معمولاً قابل کنترل نیست . سیستم کنترل را می توان از دیدنظری برای خطای صفر در حالت تعادل طرح و محاسبه کرد اما در عمل خطای قدری از صفر بیشتر يا کمتر خواهد بود . بطورکلی برای طرح و تحلیل سیستمهای کنترل باید نکات زیر رعایت شود :

- الف- تعیین ویژگیهای و طرز رفتار سیستم کنترل .
  - ب- تعیین یک مدل ریاضی و مشخص کردن روابط ریاضی بین قسمتهای مختلف آن سیستم .
  - ج- تحلیل سیستم از طریق روشهای نظری کنترل .
  - د- اگر سیستمی که به این وسیله ساخته شده ، ویژگیهای مورد نظر را نداشته باشد ، تهیه مدارهای مخصوص برای نزدیک کردن رفتار سیستم کنترل به آنچه موردنظر است ، ضرورت دارد .
- طرح سیستم کنترل باید پارهای از خصوصیات و مشخصات معنی دار و مورد نظر سیستم را از قبل مورد نظر داشته باشد تا بر مبنای آنها محاسبات و طراحی لازم را پایه ریزی کند و این امر بسیار مهم است .
- یکی از مزایای سیستم کنترل مدار- بسته در این است که پسخور سیستم را در مقابل اغتشاشات خارجی و تغییرات پارامترهای داخلی تقریباً غیرحساس می کند، بنابراین در سیستم مدار- بسته با بکاربردن قطعات ارزان که دقت کمتری هم دارند می توان جواب نسبتاً صحیح را انتظار داشت . در حالی که این

موضوع برای سیستم مدار- باز به هیچ وجه صحت ندارد . از نقطه نظر پایداری سیستم کنترل مدار- باز آسانتر ساخته می شود ، زیرا که پایداری در آن مسئله اساسی نیست در حالی که در سیستم‌های مدار- بسته مسئله مهمی بوده و ممکن است به اصلاح بیش از حد خطا و در نتیجه ایجاد نوسانهای ناخواسته با افزایش دامنه خروجی منجر شود . سیستم مدار- بسته در مقایسه با سیستم مدار- باز بطور کلی دارای مزایای زیراست :

الف- دقت بسیار بالا.

ب- پاسخ سریع .

ج- استقلال نسبی از شرایط محیط .

نتیجه‌گیری :

بنابراین با توجه به عدم قطعیت در تخمین دقیق بارهای وارد بمسازه و مشخصات سازه ، استفاده از الگوریتم کنترل با حلقه- بسته و یا حلقه باز- بسته مناسبتر است .

#### ۱-۴- انواع سیستم‌های کنترل ارتعاشات سازه‌ها :

بطور کلی انواع سیستم‌های کنترل ارتعاشات سازه‌ها را می‌توان به دو دسته تقسیم کرد .

**الف: سیستم‌های کنترل غیرفعال<sup>۱</sup>** : مکانیزم‌های کنترل غیرفعال از منبع انرژی خارجی استفاده نمی‌کنند .

این سیستم‌ها از پاسخ تولید شده از سازه جهت تأمین نیروی کنترل استفاده می‌کنند . بطور کلی انواع سیستم‌های کنترل غیرفعال بصورت زیر عمل می‌کنند :

۱- سیستم‌هایی که با جذب انرژی ، انرژی سازه را کاهش داده و پاسخ سازه را کنترل می‌کنند .

۲- سیستم‌هایی که با تغییردادن خواص ارتعاشی سازه مقدار انرژی ورودی به سازه را کاهش داده و با کاهش یافتن انرژی ورودی به سازه ، پاسخ سازه کاهش می‌یابد .

**ب: سیستم‌های کنترل فعال و نیمه‌فعال<sup>۲</sup>** : این سیستم‌ها به عنوان روشهایی در طراحی مقاوم سازه‌ها مطرح می‌باشند که در آنها حرکت سازه توسط عملکرد سیستم کنترل با استفاده از منابع خارجی انرژی کنترل و اصلاح می‌شود . نحوه عملکرد سیستم‌های کنترل فعال با استفاده از نیروهای کمکی که نیروی کنترل نامیده می‌شود ، صورت می‌گیرد . این نیروها بنحوی طراحی می‌شود که بطور پیوسته در تنظیم پاسخ سازه عمل می‌نمایند . سیستم‌های کنترل نیمه‌فعال نمونه‌ای از سیستم‌های کنترل فعال می‌باشند که انرژی خارجی مورد نیازشان بسیار کمتر از سیستم‌های کنترل فعال است .

با توجه به اینکه تحریک زلزله از نظر شدت و محتوای فرانکنسی قابل پیش‌بینی نمی‌باشد ، بنابراین سیستم‌های غیرفعال دارای عملکرد محدودی می‌باشند . از طرفی در سازه‌های انعطاف‌پذیر ، بکار گیری سیستم‌های غیرفعال مؤثر نمی‌باشد . اما مکانیزم‌های کنترل فعال که با استفاده از منبع انرژی خارجی عمل

---

1-Passive Control

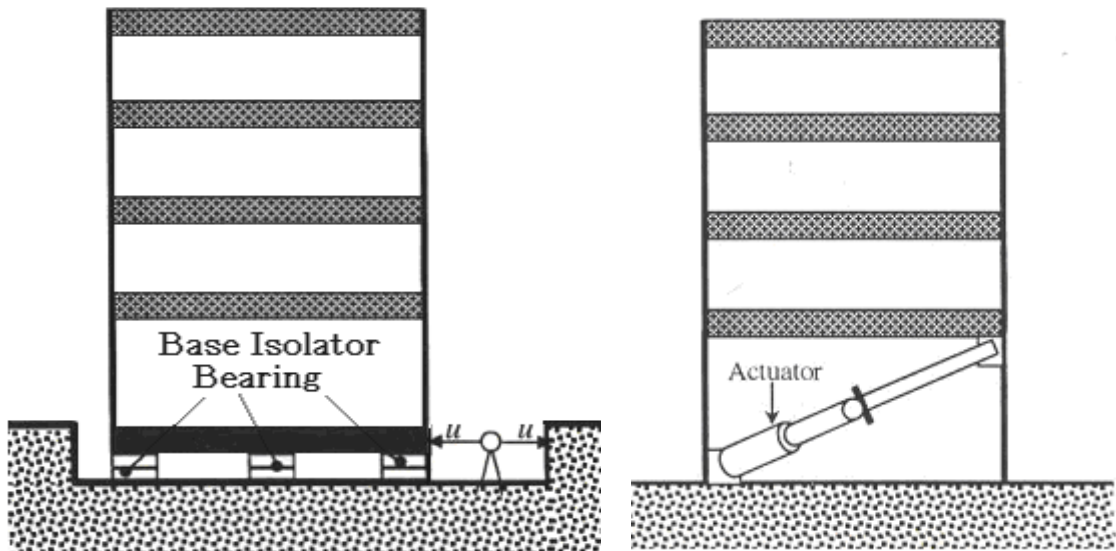
2- Active and Semi Active Control

می‌کنند ، دارای عملکرد بهتری نسبت به مکانیزمهای غیرفعال بوده و قادر به کنترل توازن جابجایی ، سرعت و شتاب سازه بهر اندازه می‌باشند . همچنین اغلب مکانیزمهای کنترل غیرفعال ، در صورتی که منبع انرژی قطع گردد ، می‌توانند بصورت غیرفعال عمل نمایند . آنچه مشخص است هزینه یک سیستم کنترل فعال بالاست با این حال استفاده از سیستم‌های کنترل فعال برای کنترل سازه‌های انعطاف‌پذیر به صرفه می‌باشد .

نحوه عملکرد سیستم‌های کنترل فعال را در دو قسمت می‌توان بررسی کرد . قسمت اول الگوریتمهای محاسبه نیروی کنترل وارد بر سازه و قسمت دوم مکانیزمهای اعمال نیروی کنترل بر سازه است .

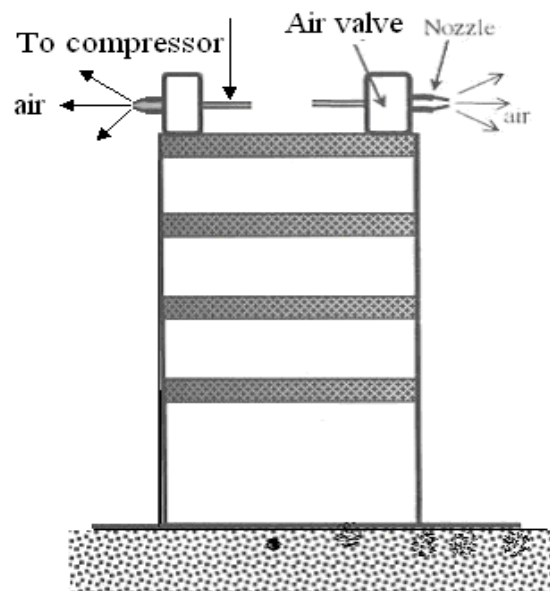
الگوریتمهای محاسبه نیروی کنترل را می‌توان در حالت کلی به دو دسته الگوریتمهای کنترل بهینه و الگوریتمهای کنترل غیربهینه تقسیم کرد . در الگوریتمهای کنترل بهینه نیروی کنترل براساس حداقل سازی شاخص عملکرد محاسبه می‌شود . یعنی براساس حداقل سازی یکتابع عددی که نشان‌دهنده عملکرد صحیح و مطلوب سیستم است ، محاسبه می‌شود . از الگوریتمهای کنترل بهینه می‌توان به الگوریتمهای پیش‌بینی اشاره کرد . در الگوریتمهای کنترل غیربهینه نیروی کنترل توسط اصولی غیراز حداقل سازی شاخص عملکرد محاسبه می‌شود . از الگوریتمهای کنترل غیربهینه می‌توان به روش تخصیص قطب اشاره کرد .

از مکانیزمهای اعمال نیرو بر سازه می‌توان به سیستم تندون فعال ، سیستم مهار فعال و سیستم سختی متغیر اشاره کرد . تعدادی از این سیستمها در شکلهای زیر نشان داده شده است .



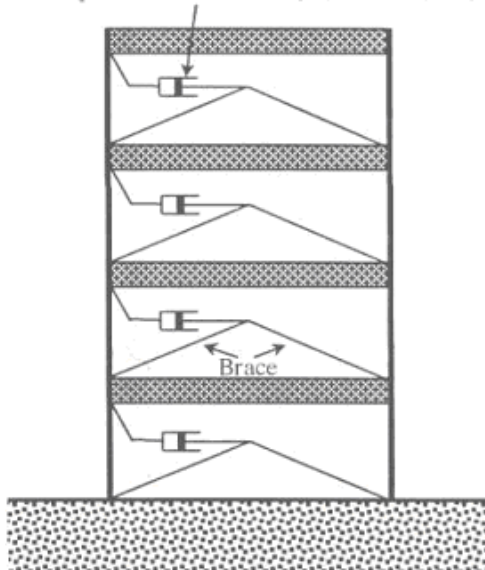
سیستم عایق پایه فعال

سیستم کنترل فعال

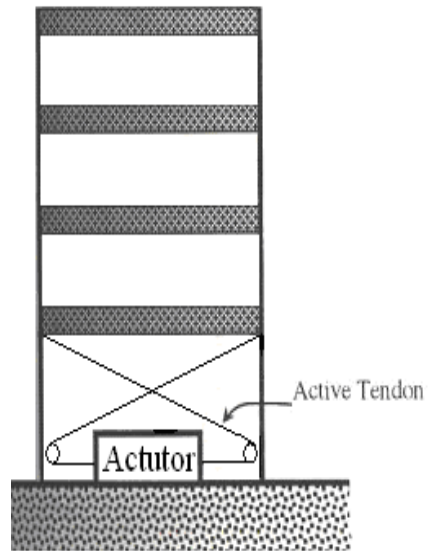


سیستم کنترل فعال با تولید پالس

Hydraulic Mechanism (On-Off Element)



سیستم کنترل نیمه فعال با سختی متغیر



سیستم تندون فعال

# فصل دوم

مفهوم تاخیر زمانی

و

نقش آن در عملکرد سازه

و

روشهای جبران آن

## مقدمه :

از زمانی که مفهوم کنترل فعال سازه‌ها در دهه ۷۰ وارد مهندسی عمران شد، بیشتر روش‌های کنترل فعال برای سازه‌های ساختمانی بررسی شده‌اند و پیشرفت قابل توجهی در این زمینه صورت گرفته است. نتایج تجربی و تئوری نشان داده است که جلوگیری از ارتعاش سازه توسط کنترل فعال به عنوان یک تکنیک قدرتمند برای بهبود پاسخ سازه‌ها در برابر بادهای قوی، زلزله و بارهای دینامیکی دیگر شناخته شده است. بعلاوه مشکلاتی که در زمینه کاربرد وسیع این روش وجود دارد، شناخته شده است. یکی از این مشکلات مسئله تأخیر زمانی یا تفاوت زمانی بین لحظه دریافت اطلاعات توسط سنسورها و زمان اعمال نیروی کنترل بر سازه است.

در الگوریتم‌های کنترل فرض می‌شود که فاصله زمانی بین اندازه‌گیری توسط سنسورها و بکاربردن نیروی کنترل قابل صرف نظر کردن است. این فرض در عمل صحیح نیست و اندازه‌گیری پاسخ سازه توسط سنسورها، انتقال اندازه‌ها، محاسبه نیروی کنترل براساس اندازه‌ها، انتقال سیگنال کنترل به عملگر و بالاخره تشکیل نیروی کنترل توسط عملگر نیاز به میزان معینی زمان دارد که تأخیر زمانی نامیده می‌شود. این فاصله زمانی باعث عدم همزمانی کاربرد نیروی کنترل شده و می‌تواند اثرات جدی بر عملکرد سیستم کنترل، داشته باشد و یا حتی باعث ناپایداری سازه کنترل شده گردد.

تأخیر زمانی در سیستم‌های کنترل فعال را می‌توان بطور کلی به دو قسمت تقسیم کرد: یک گروه تأخیرات خالص زمانی هستند که می‌توان آنها را توسط یک عدد بیان کرد و شامل متغیرهای سیستم، محاسبه نیروی کنترل مورد نیاز شامل خصوصیات فیزیکی وسیله مورد استفاده در سیستم و انتقال سیگنال است. گروه دوم تأخیر زمانی در ساخته شدن نیروی کنترل توسط محرک است که برای محاسبه آن می‌باید دینامیک محرک را بحساب آورد. و می‌توان با افزودن دینامیک محرک به دینامیک سازه، به الگوریتم کنترل ضمیمه شوند.

تأخیر زمانی یک مشکل معمول در کنترل تمام سیستم‌های دینامیکی است . اما این مسئله بهدو دلیل جایگاه خاصی در سازه‌های مهندسی عمران دارد . اول سازه‌های عمران بدون کنترل سازه‌هایی مقاوم و پایدار هستند . بنابراین تأخیر زمانی ممکن باعث ناپایداری سازه‌ای شود که بدون کنترل سازه‌ای مقاوم و پایدار است . دلیل دوم به علت طبیعت سازه‌های مهندسی عمران تأخیر زمانی در این سازه‌ها نسبتاً بزرگ است و نیاز به توجه ویژه دارد .

اثرات تأخیر زمانی توسط چندین محقق بررسی شده و روش‌هایی برای جبران ، حذف و یا بی‌اثر کردن اثر آنها جهت بهبود عملکرد و پایداری سازه‌ها ارائه شده است . در این قسمت تعدادی از این روش‌ها را معرفی کرده و عملکرد آنها را بررسی می‌کنیم .

## ۲-۱- جبران اثر تأخیرزمانی بوسیله روش‌های پیش‌بینی<sup>۱</sup> :

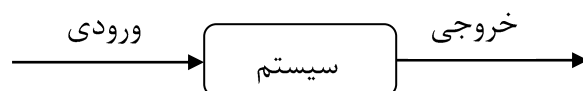
### مقدمه :

یکی از روش‌های جبران اثر تأخیرزمانی ، استفاده از الگوریتم‌های کنترل پیش‌بینی است . در این روش نیروی کنترل که می‌باید به سازه وارد شود براساس مقادیر پیش‌بینی شده برای پاسخ سازه محاسبه می‌شود . به عبارت دیگر پاسخ سازه در زمانی که، انتظار می‌رود، نیروی کنترل به سازه وارد شود ، محاسبه می‌شود. بنابراین نیروی کنترل وارد برسازه، براساس زمان واقعی اعمال آن بر سازه محاسبه می‌شود و بدین ترتیب اثر تأخیرزمانی جبران می‌شود.

مسئله اساسی در این روش یافتن یک مدل ریاضی مناسب برای توصیف رفتار سازه می‌باشد . به عبارت دیگر یافتن مدلی که بتوان براساس آن رفتار سازه را پیش‌بینی کرد . مدل‌های ریاضی متفاوتی برای پیش‌بینی پاسخ سازه وجود دارد که در این قسمت به معرفی یکی از آنها می‌پردازیم .

## ۲-۱-۱- معرفی مدل ریاضی برای پیش‌بینی پاسخ سازه :

فرض کنیم که سیگنال ورودی  $f_e(t)$  و سیگنال خروجی  $Z(t)$  بوسیله سیستم خطی زیر به همدیگر مرتبط شده‌اند . این رابطه می‌تواند به فرم زیر نوشته شود :



$$Z(t) = G(q) * f_e(t) + e(t)$$

در این رابطه  $G(q)$  تابع انتقال سیستم است . وبصورت زیر تعریف می‌شود .

---

1-Predictive Active Control Method

$$G(q) = \sum_{k=1}^{\infty} g(k) q^{-k}$$

$$G(q) f_e(t) = \sum_{k=1}^{\infty} g(k) f_e(t - k\Delta t)$$

$q^{-1}$  و  $q$  اپراتورهای تأخیر و انتقال هستند. که بصورت زیر تعریف می‌شوند :

$$q^{-1}f_e(t) = f_e(t - \Delta t) = f_e(k-1) \quad \text{ویا} \quad q^{-i}Z_k = Z_{k-i}$$

یکی از پرکاربردترین مدل‌های پیش‌بینی پاسخ سازه، مدل‌های ARX هستند که بصورت زیر تعریف می‌شوند . در واقع یک مدل ARX، یک مدل تفاضلی خطی است که ورودی سیستم را به خروجی آن، بصورت زیر مرتبط می‌سازد.

$$\tilde{A}(q)z(t) = \tilde{B}(q) f_e(t - n_k \Delta t) + e(t) \quad (1-1-1)$$

در ابطه فوق  $\tilde{A}$  و  $\tilde{B}$  چندجمله‌ای بر حسب اپراتور انتقال معکوس هستند و می‌توان آنها را بصورت زیر معرفی کرد :

$$\tilde{A}(q) = 1 + a_1 q^{-1} + \dots + a_{n_a} q^{-n_a}$$

$$\tilde{B}(q) = b_1 + b_2 q^{-1} + \dots + b_{n_b} q^{-n_b + 1}$$

که  $n_a$  و  $n_b$  درجه چندجمله‌ای خوانده می‌شوند. در عبارت بالا  $n_k \Delta t$  تأخیرزمانی بین ورودی و خروجی است . بنابراین معادله (1-1-1) را می‌توان بصورت زیر نوشت :

$$\tilde{A}(q)z(t) = z(t) + a_1 z(t - \Delta t) + \dots + a_{n_a} z(t - n_a \Delta t)$$

$$\begin{aligned} \tilde{B}(q) f_e(t - n_k \Delta t) &= b_1 f_e(t - n_k \Delta t) + b_2 f_e[t - (n_k + 1)\Delta t] + \dots + \\ &b_{n_b} f_e[t - (n_k + n_b + 1)\Delta t] \end{aligned}$$

معادله فوق را می‌توان به‌شکل ساده‌تر زیر نوشت :

$$z(t) + a_1 z(t - \Delta t) + \dots + a_{n_a} z(t - n_a \Delta t) = b_1 f_e(t - n_k \Delta t) + \\ b_2 f_e[t - (n_k + 1) \Delta t] + \dots + b_{n_b} f_e[t - (n_k + n_b - 1) \Delta t] + e(t)$$

بطور کلی سازه توسط سه پارامتر  $n_k$  و  $n_b$  و  $n_a$  معرفی می‌شود .

برای سادگی عبارت بالا را می‌توان بصورت زیر نوشت :

$$\hat{z}_{k+s+1} = [1 - w_{s+1}(q)]^* z_{k+s+1} \quad (2-1-1)$$

در معادله فوق  $\hat{z}_{k+s+1}$  مقدار پیش‌بینی  $z_{k+s+1}$  ، در زمان  $K$  است .  $w_{s+1}(q)$  چندجمله‌ای از اپراتور انتقال معکوس است . که می‌توان آنرا بصورت زیر تعریف کرد :

$$w(q)_{s+1} = \frac{\tilde{B}(q)}{\tilde{A}(q)}$$

در معادله (2-1-1) پارامتر  $S$  می‌تواند مقادیر صحیح ۰ و ۱ و ۲ و ..... را انتخاب کند . و  $S+1$  تعداد گام‌های جلوتر در پیش‌بینی را معین می‌کند .

به این ترتیب با آنالیز پاسخ سازه در نمودهای گسسته زمانی در طول زلزله ، پاسخ سازه توسط مدل‌های ARX در افق تعیین شده پیش‌بینی می‌شود . و نیروی کنترل بر اساس مقادیر پیش‌بینی شده برای پاسخ سازه محاسبه می‌شود .

## ۲-۱-۲- شاخص عملکرد پیش‌بینی :

الگوریتمهای پیش‌بینی کنترل بهینه را می‌توان بصورت زیر تعریف کرد :

در هر لحظه زمانی  $t_k$  ، یک افق پیش‌بینی بر روی تعداد معین از گامهای جلوتر تعریف شده و یک مدل گسته زمانی برای پیش‌بینی پاسخ برروی این افق به صورت تابعی از نیروی کنترل استفاده می‌شود . و با استفاده از این پاسخهای پیش‌بینی شده یک نیروی کنترل که شاخص عملکرد را حداقل می‌کند ، محاسبه می‌شود . هدف اصلی پیش‌بینی کنترل ، محاسبه نیروی کنترل  $U_k$  در هر لحظه زمانی  $t_k$  است به طوری که شاخص عملکرد ارزیابی شده در افق پیش‌بینی حداقل شود. بنابراین یک شاخص عملکرد مانند معادله (۳-۱-۲) معرفی می‌شود .

$$J(k) = \frac{1}{2} \sum_{i=0}^s [\hat{x}(k+i|k) - x_r(k+i|k)]^T Q(i) [\hat{x}(k+i|k) - x_r(k+i|k)] + \\ \frac{1}{2} \sum_{i=0}^{s-1} [\hat{U}(k+i|k)]^T R(i) \hat{U}(k+i|k) \quad (3-1-2)$$

شاخص عملکرد فوق در یک افق پیش‌بینی بطول  $S$  تعریف می‌شود . بنابراین تعیین نیروی کنترل بوسیله حداقل‌سازی این شاخص عملکرد، نیاز به پیش‌بینی پاسخ تا  $X_{k+s}$  (تا  $S$  گام جلوتر) دارد . اما حتی اگر تمام اطلاعات اندازه‌گیری شده برای محاسبه طبیعت و نحوه آشفتگی خارجی و پیش‌بینی پاسخ ناشی از عدم قطعیت درباره آشفتگی خارجی در کنترل‌سازه ، استفاده شوند ، چنین پیش‌بینی برای طول  $S$  دقیق کافی را ندارد . بعلاوه شاخص عملکرد وابسته به نیروی کنترل  $U_{k+1}$  تا  $U_{k+s-1}$  است ، که می‌باید در لحظه  $t_{k+1}$  تا  $t_{k+s-1}$  تعیین شوند . این نیروهای کنترل در زمان  $t_k$  ناشناخته‌اند و بنابراین در روش حداقل‌سازی بصورت تقریبی ارزیابی می‌شوند . بنابراین در روش ارائه شده ،  $S$  حداقل مقدار یعنی یک را انتخاب می‌کند . بالانتخاب این مقدار برای  $S$  خطاهای پیش‌بینی حداقل می‌شوند و از وابستگی به مقادیر آتی نیروی کنترل  $U_{k+1}$  تا  $U_{k+s-1}$  اجتناب

می‌شود. بنابراین شاخص عملکرد زیر به عنوان یک شاخص عملکرد که مناسب برای پیش‌بینی کنترل سازه‌های مهندسی عمران است، انتخاب می‌شود.

$$J_k = \frac{1}{2} (x_{K+1}^T Q x_{K+1} + u_K^T R u_K) \quad (4-1-1)$$

استفاده از این شاخص عملکرد به این معناست که در هر لحظه زمانی  $t_K$ ، نیروی کنترل، بطوری که پاسخ ارزیابی شده در گام زمانی بعدی حداقل شود، محاسبه می‌شود. در معادله فوق  $Q$  و  $R$  ماتریس‌های وزن هستند که براساس اهمیت نسبی کاهش در پاسخ بوسیله نیروی کنترل، به هزینه کاربرد نیروی کنترل (بزرگی نیروی کنترل) تعیین می‌شوند و به انتخاب طراح بستگی دارند. غالباً ماتریس  $Q$  بصورت زیر انتخاب می‌شود:

$$Q = \begin{bmatrix} K & 0 \\ 0 & m \end{bmatrix} \quad (b-5-1) \quad \text{و} \quad Q = \begin{bmatrix} K & 0 \\ 0 & 0 \end{bmatrix} \quad (a-5-1)$$

انتخاب ماتریس  $Q$  مطابق معادله (a-5-1) به این معناست که برای تعیین نیروی کنترل در هر گام زمانی، انرژی پتانسیل سازه در گام زمانی بعدی حداقل می‌شود. و انتخاب ماتریس  $Q$  مطابق ماتریس (b-5-1) به این معناست که تعیین نیروی کنترل در هر گام زمانی توسط حداقل سازی مجموع انرژی جنبشی و پتانسیل (کل انرژی) سازه در گام زمانی بعدی تعیین شود. به هر حال انتخابهای دیگری برای این ماتریس براساس نظرات طراح در کاهش پاسخ سازه وجود دارد. جمله دوم در معادله (4-1-1) یک جمله جریمه برای نیروی کنترل است که طراح را قادر به تعادل بین نیروی کنترل و کاهش پاسخ سازه، می‌سازد. ماتریس  $R$  غالباً بعنوان یک ماتریس قطری انتخاب می‌شود که عناصر قطری آن اهمیت نسبی اعضای نظیر بردار نیروی کنترل را تعریف می‌کنند. مقادیر کوچک برای عناصر قطری به این معناست که عناصر نظیر در بردار نیروی کنترل مجاز به داشتن مقادیر بزرگی هستند (یک سیستم غیر کارآمد).

## ۲-۱-۳- معرفی الگوریتم کنترل برای سازه‌های SDOF :

در این قسمت یک نیروی کنترل بهینه پیش‌بینی حلقه بسته، برای سازه‌های یک درجه آزادی براساس شاخص عملکرد انتخاب شده، و مدل‌های ARX برای پیش‌بینی پاسخ سازه، محاسبه می‌شود.

### دینامیک سازه:

معادله حرکت یک سیستم یک درجه آزادی که در معرض یک تحریک خارجی (مانند زلزله) و یک نیروی کنترل قرار گرفته است، در فضای حالت می‌تواند به فرم زیر نوشته شود:

$$\dot{X}(t) = AX(t) + BY(t) \quad (6-1-2)$$

در معادله  $X(t)$  بردار حالت است که می‌تواند شامل مؤلفه جابجایی و سرعت سازه باشد و به صورت زیر تعریف می‌شود:

$$X(t) = [x(t) \quad \dot{x}(t)]$$

وماتریس‌های A و B بصورت زیر تعریف می‌شوند:

$$A = \begin{bmatrix} 0 & I \\ -M^{-1}K & -M^{-1}c \end{bmatrix} \quad \text{و} \quad B = \begin{bmatrix} 0 \\ M^{-1} \end{bmatrix}$$

و بردار نیرو  $y(t)$  بصورت زیر تعریف می‌شود:

$$y(t) = u(t) + f(t)$$

M، C و K بترتیب ماتریس‌های جرم، دمپینگ و سختی سازه هستند. بردار  $u(t)$  و  $f(t)$  بترتیب نیروی کنترل و نیروی خارجی وارد بر سازه هستند.

در هر لحظه t بردار حالت سیستم، از حل معادله دیفرانسیل (6-1-2) بصورت زیر تعریف می‌شود:

$$X(t) = \exp(At)X(0) + \int_0^t \exp[A(t-\eta)]By(\eta)d\eta \quad (7-1-2)$$

و در لحظه  $t + \Delta t$  بردار حالت بصورت زیر تعریف می‌شود:

$$X(t + \Delta t) = \exp[A(t + \Delta t)]X(0) + \int_0^{t+\Delta t} \exp[A(t + \Delta t - \eta)]By(\eta)d\eta$$

(۸-۱-۲)

ملاحظه می‌شود که  $X(0)$  به عنوان شرط اولیه و  $X(t + \Delta t)$  به عنوان پاسخ نهایی شناخته می‌شود.

معادله (۸-۱-۲) را می‌توان بصورت زیر نوشت:

$$X(t + \Delta t) = \exp(A\Delta t)X(t) + \int_0^{\Delta t} \exp(A\eta)By(t + \Delta t - \eta)d\eta$$

نیروی کنترل ( $u(t)$ ) مابین لحظات  $t + \Delta t$  و  $t$  ثابت باقی می‌ماند. بنابراین بعداز انتگرال‌گیری داریم:

$$\begin{aligned} X(t + \Delta t) &= \exp(A\Delta t)X(t) + [\exp(A\Delta t)A^{-1}B - A^{-1}B]U(t) \\ &+ \int_0^{\Delta t} \exp(A\eta)Bf(t + \Delta t - \eta)d\eta \end{aligned}$$

و یا معادله را می‌توان به فرم زیر نوشت:

$$X(t + \Delta t) = \Phi X(t) + \Gamma U(t) + \int_0^{\Delta t} \exp(A\eta)Bf(t + \Delta t - \eta)d\eta$$

(۹-۱-۲)

اکنون با استفاده از تعریف  $Z.O.H^1$  معادله دیفرانسیل پیوسته زمانی فوق را بصورت گسسته می‌نویسیم:

$$U_K = U(K\Delta t) = U(t) \quad \text{for} \quad K\Delta t \leq t \leq (K+1)\Delta t$$

معادله فوق بیان می‌کند که نیروی کنترل مابین لحظات  $K\Delta t$  و  $(K+1)\Delta t$  ثابت باقی می‌ماند.

$$\Phi = \exp(A\Delta t) \quad \text{و} \quad \Gamma = (\Phi - I)^* A^{-1} B$$

$$X_k = X(K\Delta t) \quad \text{و} \quad y_K = y(K\Delta t)$$

و همچنین داریم:

$$p_K = \int_0^{\Delta t} \exp(A\eta)Bf(K\Delta t + \Delta t - \eta)d\eta$$

با استفاده از این توضیحات معادله (۹-۱-۲) را می‌توان بصورت زیر نوشت:

$$X_{K+1} = \Phi * X_K + \Gamma * u_K + p_K = \Phi(X_K^f + X_K^u) + \Gamma * u_K + p_K \quad (10-1-2)$$

و با استفاده از اصل جمع آثار قوا داریم :

$$X_{K+1} = X_{K+1}^f + X_{K+1}^u \quad (a-11-1-2)$$

که در معادله فوق  $X_{K+1}^f$  ، پاسخ به نیروی خارجی و  $X_{K+1}^u$  ، پاسخ به نیروی کنترل در لحظه  $t_{K+1}$  (دريک گام‌جلوتر) است. با استفاده از معادله (10-1-2) پاسخها را می‌توان بصورت زیر نوشت :

$$X_{K+1}^f = \Phi X_K^f + p_K \quad (b-11-1-2)$$

$$X_{K+1}^u = \Phi X_K^u + \Gamma U_K \quad (c-11-1-2)$$

توجه کنیم که هیچگونه تقریب‌سازی در بدست آوردن معادلات فوق از معادله حرکت سازه صورت نگرفته و این فرض که نیروی کنترل مابین لحظات  $t_K$  و  $t_{K+1}$  ثابت است، فرض واقعی و صحیح است. بنابراین پایداری سازه کنترل شده تضمین می‌شود.

#### ۴-۱-۲- الگوریتم کنترل :

برای کنترل بهینه معرفی شده برای سازه‌های یک درجه آزادی، شاخص عملکرد زیر معادله (3-۱-۲) در هر گام زمانی  $K$ ، حداقل می‌شود.

$$j_K = \frac{1}{2}(x_{K+1}^T Q x_{K+1} + R u_K^2) \quad (12-1-2)$$

برای تعیین نیروی کنترل بهینه شاخص عملکرد معرفی شده در معادله (12-1-2) حداقل می‌شود. برای اين هدف  $X_{K+1}$  از معادله (a-11-1-2) در معادله (12-1-2) جایگزین می‌شود.

$$j_K = \frac{1}{2}[(X_{K+1}^f + X_{K+1}^u)^T * Q * (X_{K+1}^f + X_{K+1}^u) + R U_K^2] \quad (13-1-2)$$

اما<sub>1</sub>  $x_{K+1}^u$  می‌تواند در زمان k توسط معادله (۱-۱-۲) به عنوان تابعی از  $x_K^u$  و  $u_K$  ارزیابی شود.

بایگانی<sub>1</sub>  $x_{K+1}^u$  از معادله (۱-۱-۳)، معادله (۱-۱-۴) را می‌توان بصورت زیر نوشت:

$$j_K = \frac{1}{2} [(\hat{x}_{K+1}^f + \Phi x_K^u + \Gamma u_K)^T * Q * (\hat{x}_{K+1}^f + \Phi x_K^u + \Gamma u_K) + R u_K^2] \quad (14-1-2)$$

در معادله فوق  $\hat{x}_{K+1}^f$  پیش‌بینی (تخمین) برای مؤلفه‌های بردار  $x^f$  با استفاده از مدل ARX است.

با حداقل کردن شاخص عملکرد نسبت به نیروی کنترل، نیروی کنترل بهینه بصورت زیر بدست می‌آید:

$$\frac{\partial j_k}{\partial u_k} = 0 \quad \rightarrow \quad u_k^* = G^* (\hat{x}_{K+1}^f + \Phi x_K^u)$$

$$G = -(\Gamma^T Q \Gamma + R)^{-1} \Gamma^T Q \quad (15-1-2)$$

این رابطه نشان می‌دهد که نیروی کنترل بهینه تابعی از  $x_{K+1}^f$  و  $x_K^u$  است.

یک نمودار از سیستم کنترل شده در شکل (۱-۱) نشان داده شده است. همانگونه که از شکل مشخص است

الگوریتم کنترل ترکیبی از دو مدل ریاضی متفاوت است. مدل اول یک سازه یک درجه آزادی برای محاسبه

پاسخ به نیروی کنترل است. و مدل دوم یک مدل ARX برای پیش‌بینی پاسخ به تحریک خارجی است.

زمانی که  $S=0$ ، الگوریتم از اثر تأخیرزمانی بوسیله محاسبه و کاربرد آنی نیروی کنترل صرفنظر می‌کند. اگر

$S>0$ ، سیستم کنترل توانائی برای کاهش یا حذف تأخیرزمانی بوسیله محاسبه نیروی کنترل دریک یا

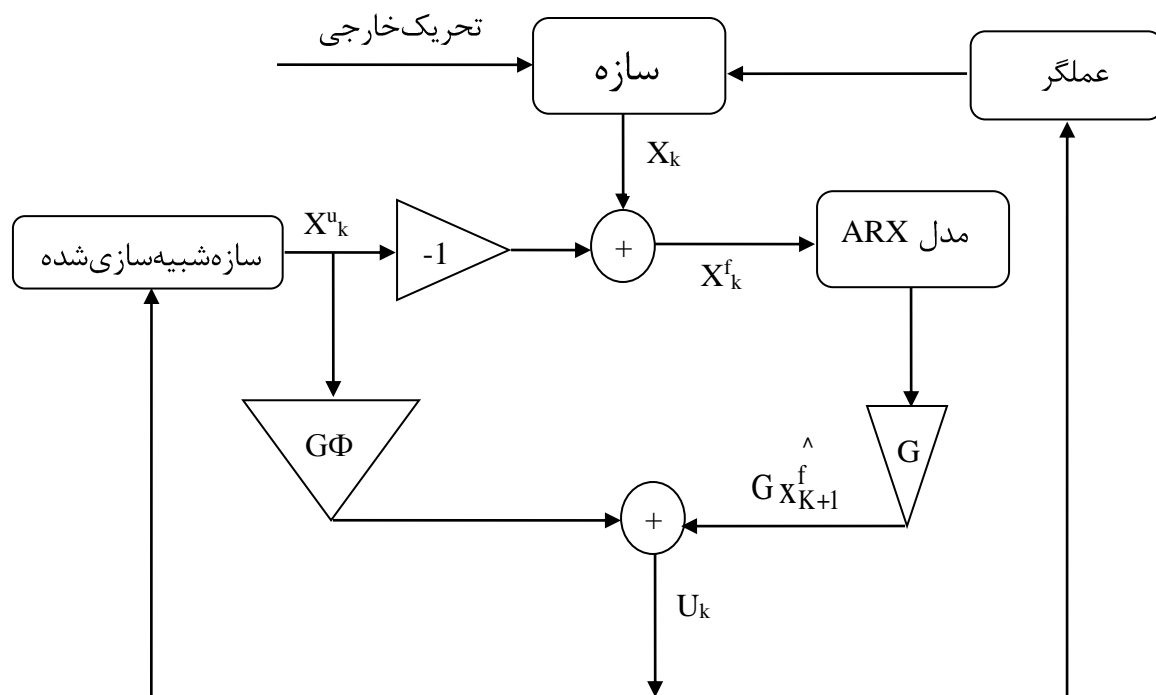
بیشتر گام جلوتر را دارد. به هر حال دقت پیش‌بینی با افزایش مقدار S، کاهش می‌یابد.

مراحل کنترل را می‌توان بصورت زیر خلاصه کرد:

مراحل با  $X_0^U = X_0^f$  و  $X_0^U = X_0^f$  آغاز می‌شود که  $X_0$  شرط اولیه است. زمانی که کنترل آغاز می‌شود.

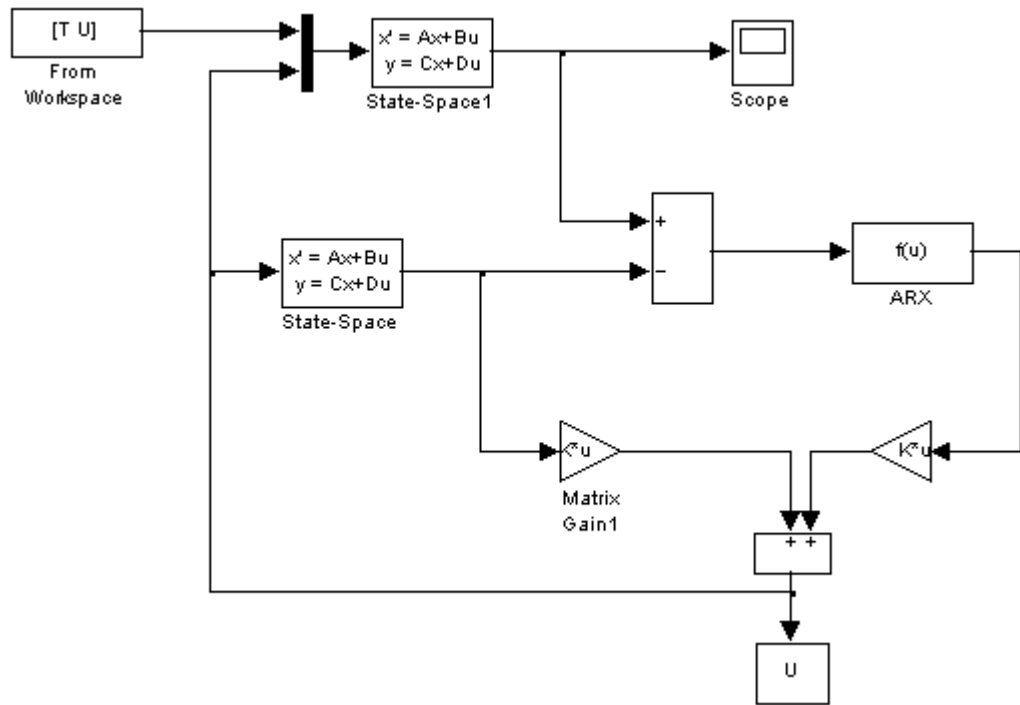
مقادیر  $U_0$  تا  $U_{S-1}$  برابر صفر فرض می‌شوند. در هر لحظه  $t = k\Delta t$ ، مقادیر گذشته بردار حالت، پاسخهای

قبلی محاسبه شده به تحریک خارجی ( $X^f$ ) و نیروی کنترل ( $X^u$ ) و مقادیر محاسبه شده  $U_{k-1}$  تا  $U_{k+s-1}$  در دسترس هستند. با استفاده از این اطلاعات مقادیر ( $X^u_k$ ) تا ( $X^u_{k+s}$ ) محاسبه می‌شود. و برای بدست آوردن نیروی کنترل بهینه از معادله (۱۵-۱-۲) استفاده می‌شود. مراحل در هرگام زمانی تکرار می‌شود.



شکل ۱-۱- نمودار سازه کنترل شده با پیش‌بینی کنترل

شکل (۲-۱) نمودار شبیه‌سازی سازه کنترل شده با پیش‌بینی پاسخ سازه با کمک مطلب را نشان می‌دهد. عملکرد روش فوق در فصل بعد بررسی می‌شود.



شکل ۲-۱- سیمولینک سازه با پیش بینی کنترل

## ۲-۲- روش کنترل بهینه با استفاده از شاخص عملکرد پیش‌بینی :

### مقدمه :

در قسمت قبل، توضیح داده شد که الگوریتم پیش‌بینی ارائه شده توانایی کاهش یا حذف اثرات تأخیرزمانی بوسیله پیش‌بینی پاسخ به تحریک خارجی دریک یا بیشترگام زمانی جلوتر بوسیله مدل ARX را دارد. لیکن بصورت روشن فرض شد که تأخیرزمانی ضریبی صحیح از دوره نمونه گیری ( $\Delta t$ ) باشد. این فرض ممکن است در عمل صحیح نباشد. در این قسمت یک روش تحلیلی کلی ترجهٔت جبران اثر تأخیرزمانی ارائه می‌شود. نتیجه یک نسخه‌الگوریتم اصلاح شده است که اثر تأخیرزمانی بصورت آشکار در نظر گرفته می‌شود. الگوریتم اصلاح شده اجازه می‌دهد که تأخیرزمانی هر عدد غیر منفی باشد. عملکرد الگوریتم ارائه شده را با شاخص عملکرد پیش‌بینی بررسی می‌کنیم.

### دینامیک حرکت :

معادلهٔ حرکت یک سیستم با چند درجه آزادی در معرض شتاب افقی زمین، با وجود تأخیرزمانی  $\delta$  در کنترل را می‌توان بصورت زیر نوشت:

$$M\ddot{x} + C\dot{x} + Kx = Hu(t - \delta) + Dw(t) \quad (1-2-2)$$

در معادله فوق  $M$ ،  $K$  و  $C$  بترتیب ماتریس‌های جرم، سختی و استهلاک‌سازه است.  $(u(t))$  بردار نیروی کنترل وارد بر سازه و  $w(t)$  نیروی خارجی وارد بر سازه است. و ماتریس‌های  $H$  و  $D$  بیان کننده موقعیت نیروی کنترل و نیروی خارجی وارد بر سازه است.

معادله فوق را در فضای حالت می‌توان بصورت زیر نوشت:

$$\dot{X}(t) = AX(t) + Bu(t - \delta) + w(t)$$

در معادله فوق کمیت  $\delta$  تاخیر زمانی لازم برای بکار بردن نیروی کنترل است. ماتریس‌های  $B$  و  $A$  در

فصل قبل معرفی شده‌اند. جواب معادله دیفرانسیلی فوق را در لحظه  $(t)$  می‌توان بصورت زیر نوشت:

$$X(t) = \exp(At)X(0) + \int_0^t \exp[A(t-\eta)] * Bu(\eta - \delta)d\eta + \int_0^t \exp[A(t-\eta)] * w(\eta)d\eta \quad (2-2-2)$$

و در لحظه  $t+\Delta t$  داریم:

$$X(t + \Delta t) = \exp[A(t + \Delta t)]X(0) + \int_0^{t + \Delta t} \exp[A(t + \Delta t - \eta)]Bu(\eta - \delta)d\eta + \int_0^{t + \Delta t} \exp[A(t + \Delta t - \eta)] * w(\eta)d\eta \quad (3-2-2)$$

بادرنظر گرفتن  $(t)x$  بعنوان پاسخ اولیه و  $x(t + \Delta t)$  بعنوان پاسخ نهایی معادله  $(3-2-2)$  را می‌توان بصورت زیر

نوشت:

$$X(t + \Delta t) = \exp(A\Delta t)X(t) + \int_0^{\Delta t} \exp(A\eta) * Bu(t + \Delta t - \eta - \delta)d\eta + \int_0^{\Delta t} \exp(A\eta)w(t + \Delta t - \eta)d\eta \quad (4-2-2)$$

اکنون تأخیر زمانی  $\delta$  را بصورت زیر تعریف می‌کنیم:

$$\delta = l\Delta t + \varepsilon\Delta t \quad \Delta t : \text{دوره نمونه گیری}$$

$$0 \leq \varepsilon \leq 1 \quad \text{و} \quad 1 : (0, 1, 2, \dots)$$

بنابراین معادله  $(4-2-2)$  را می‌توان بصورت زیر نوشت:

$$X(t + \Delta t) = \exp(A\Delta t)X(t) + \int_0^t \exp(A\eta)Bu(t + \Delta t - \eta - l\Delta t - \varepsilon\Delta t)d\eta + \int_0^{\Delta t} \exp(A\eta)w(t + \Delta t - \eta)d\eta \quad (5-2-2)$$

اکنون با استفاده از تعریف زیر<sup>1</sup>، معادله  $(5-2-2)$  را بفرم گسسته استاندارد می‌نویسیم:

$$U(t) = U(k) = U(k\Delta t) \quad \text{و} \quad k\Delta t \leq t \leq (k+1)\Delta t$$

1- Zero- Order Holder

$$X(k\Delta t + \Delta t) = \exp(A\Delta t)X(k\Delta t) + \int_0^{\Delta t} \exp(A\eta)Bu(k\Delta t + \Delta t - \eta - l\Delta t - \varepsilon\Delta t)d\eta + \int_0^{\Delta t} \exp(A\eta)w(k\Delta t + \Delta t - \eta)d\eta$$

(6-2-2)

از لحاظ تئوری، نیروی کنترل مابین لحظات جدید  $k\Delta t + \Delta t$  و  $k\Delta t$  ثابت باقی می‌ماند. اما به دلیل تأخیر زمانی عامل چنین اتفاقی رخ نمی‌دهد. در حقیقت متغیر  $\eta$  در انتگرال از صفر تا  $\Delta t$  تغییر می‌کند، که نظیر تغییر از  $k\Delta t - l\Delta t - \varepsilon\Delta t$  تا  $k\Delta t + \Delta t - l\Delta t - \varepsilon\Delta t$  است. در طول این دوره، ابتدا نیروی کنترل مقدار  $U(k\Delta t - l\Delta t - \varepsilon\Delta t)$  را در فاصله زمانی  $k\Delta t - l\Delta t - \varepsilon\Delta t$  تا  $k\Delta t - l\Delta t$  بخود می‌گیرد. سپس نیروی کنترل مقدار  $U(k\Delta t - l\Delta t)$  را در فاصله زمانی  $k\Delta t - l\Delta t - \varepsilon\Delta t$  تا  $k\Delta t - l\Delta t$  می‌گیرد. در نتیجه انتگرال اول در معادله (6-2-2) به دو انتگرال بصورت زیر تجزیه می‌شود.

$$X(k\Delta t + \Delta t) = \exp(A\Delta t)X(k\Delta t) + \int_0^{\Delta t - \varepsilon\Delta t} \exp(A\eta)Bu(k\Delta t - l\Delta t)d\eta + \int_{\Delta t - \varepsilon\Delta t}^{\Delta t} \exp(A\eta)Bu(k\Delta t - l\Delta t - \Delta t)d\eta + \int_0^{\Delta t} \exp(A\eta)w(k\Delta t + \Delta t - \eta)d\eta$$

(7-2-2)

و یا داریم:

$$X_{k+1} = \Phi^* X_k + \Omega^* U_{k-l} + (\Gamma - \Omega)^* U_{k-l-1} + P_k \quad (8-2-2)$$

که علائم و تعاریف زیر بکار برده شده‌اند:

$$X_k = X(k\Delta t) = X(t)$$

و

$$X_{k+1} = X(k\Delta t + \Delta t) = X(k+1)\Delta t$$

$$U_{k-l-1} = U(k\Delta t - l\Delta t - \Delta t)$$

و

$$U_{k-l} = U(k\Delta t - l\Delta t)$$

$$\Gamma = \int_0^{\Delta t} \exp(A\eta)Bd\eta = (\Phi - I)^* A^{-1} * B$$

$$\Phi = \exp(A\Delta t)$$

$$\Omega = \int_0^{\Delta t - \varepsilon \Delta t} \exp(A\eta) B d\eta = [\exp(A\Delta t - A\varepsilon\Delta t) - I]^* A^{-1} * B$$

$$p_K = \int_0^{\Delta t} \exp(A\eta) w(K\Delta t + \Delta t - \eta) d\eta$$

به هر حال یک ماتریس جدید  $\Omega$  بدلیل تأخیر زمانی معرفی شده است. با در نظر گرفتن مقادیر متفاوت برای

و ۱ سه حالت وجود دارد :

### حالت ۱

اگر  $\varepsilon = 0$  و  $\delta = 0$  در این حالت . یعنی تأخیر زمانی وجود ندارد . در نتیجه :  $\Omega = \Gamma$

بنابراین معادله (۲-۲-۸) به معادله (۱-۱-۱۱) برای سیستم بدون تأخیر زمانی کاهش می یابد . بنابراین نیروی کنترل بھینه را می توان بوسیله معادله (۲-۱-۱۶) تعیین کرد .

$$U_k^* = G^* (X_{k+1}^f + \hat{\Phi} X_k^u) \quad \text{و} \quad G = -(\Gamma^T Q \Gamma + R)^{-1} \Gamma^T Q$$

### حالت ۲

اگر  $\varepsilon \neq 0$  و  $\delta < \Delta t$  ، در این حالت ، یعنی یک تأخیر زمانی کمتر از دوره نمونه گیری وجود دارد.

در نتیجه معادله (۲-۲-۸) بصورت زیر نوشته می شود :

$$X_{k+1} = \Phi^* X_k + \Omega^* U_k + (\Gamma - \Omega)^* U_{k-1} + p_k \quad (9-2-2)$$

همچنین داریم :

$$X_{K+1} = X_{K+1}^f + X_{K+1}^u \quad \text{و} \quad X_{K+1}^f = \Phi X_K^f + p_K$$

$$X_{k+1}^u = \Phi^* X_k^u + \Omega^* U_k + (\Gamma - \Omega)^* U_{k-1}$$

در معادلات فوق  $X_{K+1}^f$  پاسخ به نیروی خارجی و  $X_{K+1}^u$  پاسخ به نیروی کنترل در زمان  $t_{k+1}$  است.

با جایگذاری معادلات فوق در شاخص عملکرد (معادله ۴-۱-۲) داریم:

$$J_k = \frac{1}{2} [X_{k+1}^f + \Phi X_k^u + \Omega U_k + (\Gamma - \Omega) U_{k-1}]^T Q [X_{k+1}^f + \Phi X_k^u + \Omega U_k + (\Gamma - \Omega) U_{k-1}] + \frac{1}{2} U_k^T R U_k \quad (10-2-2)$$

با حداقل کردن شاخص عملکرد فوق نسبت به نیروی کنترل، نیروی کنترل بهینه حاصل می‌شود:

$$U_k^* = -(\Omega^T Q \Omega + R)^{-1} \Omega^T Q (\hat{X}_{k+1}^f + \Phi X_k^u) - (\Omega^T Q \Omega + R)^{-1} \Omega^T Q (\Gamma - \Omega) U_{k-1} \quad (11-2-2)$$

و یا:

$$U_k^* = G^* (\hat{X}_{k+1}^f + \Phi X_k^u) + G^* (\Gamma - \Omega) U_{k-1}$$

$$G = -(\Omega^T Q \Omega + R)^{-1} \Omega^T Q$$

حالت ۳

اگر  $L > 1$  ، در این حالت  $\delta \leq \Delta t$  است. یعنی یک تأخیر زمانی بزرگتر از دوره نمونه‌گیری وجود دارد.

بنابراین معادله (۸-۲-۲) را بصورت زیر می‌نویسیم:

$$\begin{aligned} X_{K+1} &= X_{K+1}^f + X_{K+1}^u & \text{و} & \quad X_{K+1}^f = \Phi X_K^f + p_K \\ X_{k+1}^u &= \Phi^* X_k^u + \Omega^* U_{k-l} + (\Gamma - \Omega)^* U_{k-l-1} \end{aligned} \quad (12-2-2)$$

با جانشینی کردن معادلات (۱۲-۲-۲) در شاخص عملکرد، (معادله ۱۰-۲-۲) داریم:

$$J_k = \frac{1}{2} [X_{k+1}^f + \Phi X_k^u + \Omega U_{k-l} + (\Gamma - \Omega) U_{k-l-1}]^T Q [X_{k+1}^f + \Phi X_k^u + \Omega U_{k-l} + (\Gamma - \Omega) U_{k-l-1}] + \frac{1}{2} U_k^T R U_k$$

حداقل کردن شاخص عملکرد فوق نسبت به نیروی کنترل، منجر به یک نیروی کنترل برابر صفرخواهد شد.

این مسئله با این واقعیت که در یک سازه کنترل شده، اگر تأخیرزمانی برابر یا بزرگتر از دوره نمونه‌گیری باشد، نیروی کنترل تأثیری بر پاسخ سازه در گام جلوتر ( $X_{k+1}$ ) ندارد، سازگار است. درنتیجه، حداقل کردن شاخص عملکرد مطابق معادله (۴-۱-۲) اگر  $\Delta t \leq \delta$ ، بی‌معنی است. در عوض یک شاخص عملکرد بصورت زیر تعریف می‌شود:

$$j_K = \frac{1}{2} (X_{K+l+1}^T Q X_{K+l+1} + U_k^T R U_k) \quad (13-2-2)$$

استفاده از این شاخص عملکرد با این واقعیت توجیه می‌شود که در یک سیستم کنترل با تأخیرزمانی برابر یا بزرگتر از دوره نمونه‌گیری، پاسخ سیستم  $X(t)$  تحت تأثیر نیروی کنترل قرار نمی‌گیرد مگر  $t \geq t_{k+l+1}$ .

با ارزیابی معادلات (۱۲-۲-۲) برای  $X_{k+l+1}$  داریم :

$$X_{K+l+1} = X_{K+l+1}^f + X_{K+l+1}^u$$

$$X_{K+l+1}^f = \Phi X_{K+l}^f + p_{K+l}$$

$$X_{K+l+1}^u = \Phi * X_{K+l}^u + \Omega * U_k + (\Gamma - \Omega) * U_{k-1}$$

باجایگذاری معادلات فوق در معادله شاخص عملکرد (معادله ۱۳-۲-۲)، داریم :

$$J_k = \frac{1}{2} [X_{k+l+1}^f + \Phi X_{K+l}^u + \Omega U_k + (\Gamma - \Omega) U_{k-1}]^T Q [U_{k+l+1}^f + \Phi X_{K+l}^u + \Omega U_k + (\Gamma - \Omega) U_{k-1}] + \frac{1}{2} U_k^T R U_k$$

با حداقل کردن شاخص عملکرد فوق نسبت به نیروی کنترل، نیروی کنترل بهینه حاصل می‌شود :

$$U_k^* = -(\Omega^T Q \Omega + R)^{-1} \Omega^T Q (\hat{X}_{k+l+1}^f + \Phi X_{k+l}^u) - (\Omega^T Q \Omega + R)^{-1} \Omega^T Q (\Gamma - \Omega) U_{k-1} \quad (14-2-2)$$

در ابسط فوچه  $\hat{X}_{k+l+1}^f$  در زمان  $t_{k+l+1}$  است، که توسط مدل ARX پیش‌بینی

می‌شود. روش فوق را می‌توان بصورت زیر خلاصه کرد:

گام ۱- با در نظر گرفتن تأخیر زمانی و دوره نمونه گیری، مقادیر  $\Delta t$  و  $\epsilon$  از تعريف زیر بدست می‌آیند:

$$\delta = l\Delta t + \epsilon\Delta t \quad \text{پریدنمونه گیری:}$$

$$0 \leq \epsilon \leq 1 \quad \text{و} \quad 1 : (0, 1, 2, \dots)$$

ماتریس‌های  $\Omega$  و  $\Gamma$  و  $G$  را بصورت زیر محاسبه می‌کنیم:

$$\Phi = \exp(A\Delta t)$$

$$\Gamma = (\Phi - I)A^{-1}B$$

$$\Omega = [ \exp(A\Delta t - A\epsilon\Delta t) - I ]A^{-1}B$$

$$G = -(\Omega^T Q \Omega + R)^{-1} \Omega^T Q$$

مراحل کنترل با قرار دادن  $x_0 = X_0^f = 0$  و  $X_0^u = 0$  آغاز می‌شود. که  $X_0$  شرط اولیه است، زمانی که

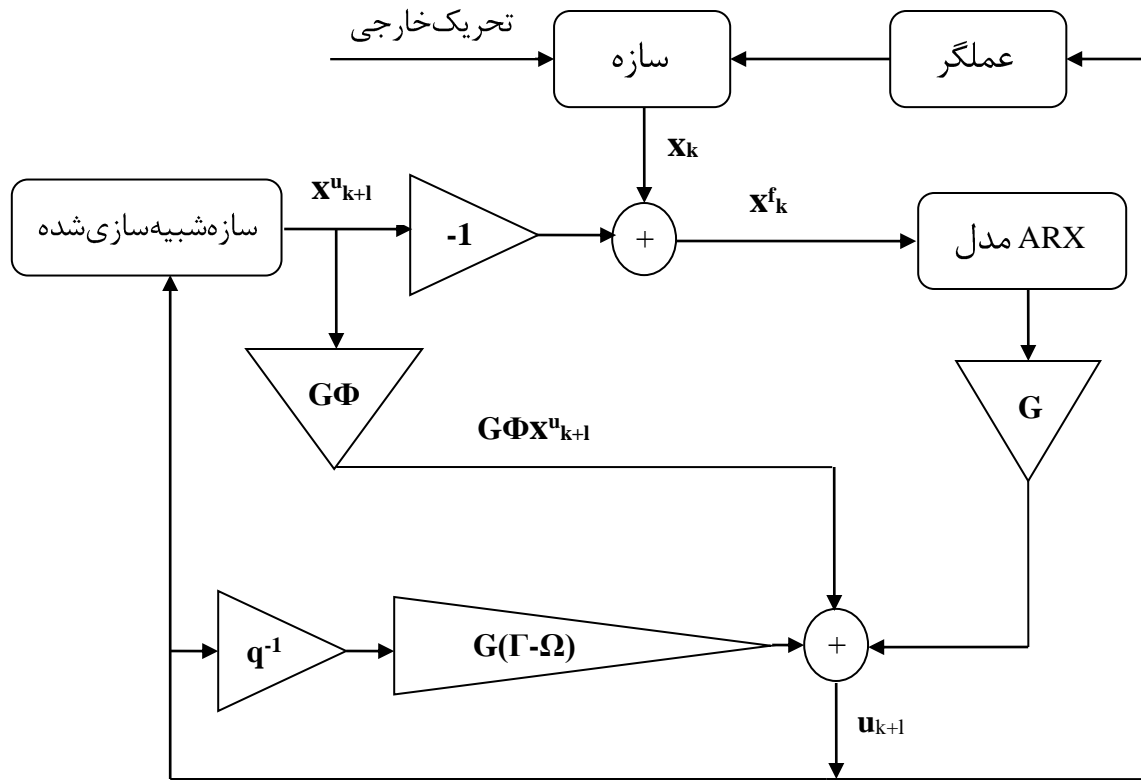
کنترل شروع می‌شود. مقادیر  $U_0$  تا  $U_{l-1}$  برابر صفر فرض می‌شوند. در هر دوره زمانی، مقادیر قبلی بردار

حالت، پاسخ محاسبه شده به تحریک خارجی تا زمان  $t_{k-1}$  و پاسخ محاسبه شده به نیروی کنترل تا  $t_{k+1}$

برای یافتن نیروی کنترل بهینه از رابطه (14-2-2) استفاده می‌شوند. موجود است. مقادیر پیش‌بینی شده

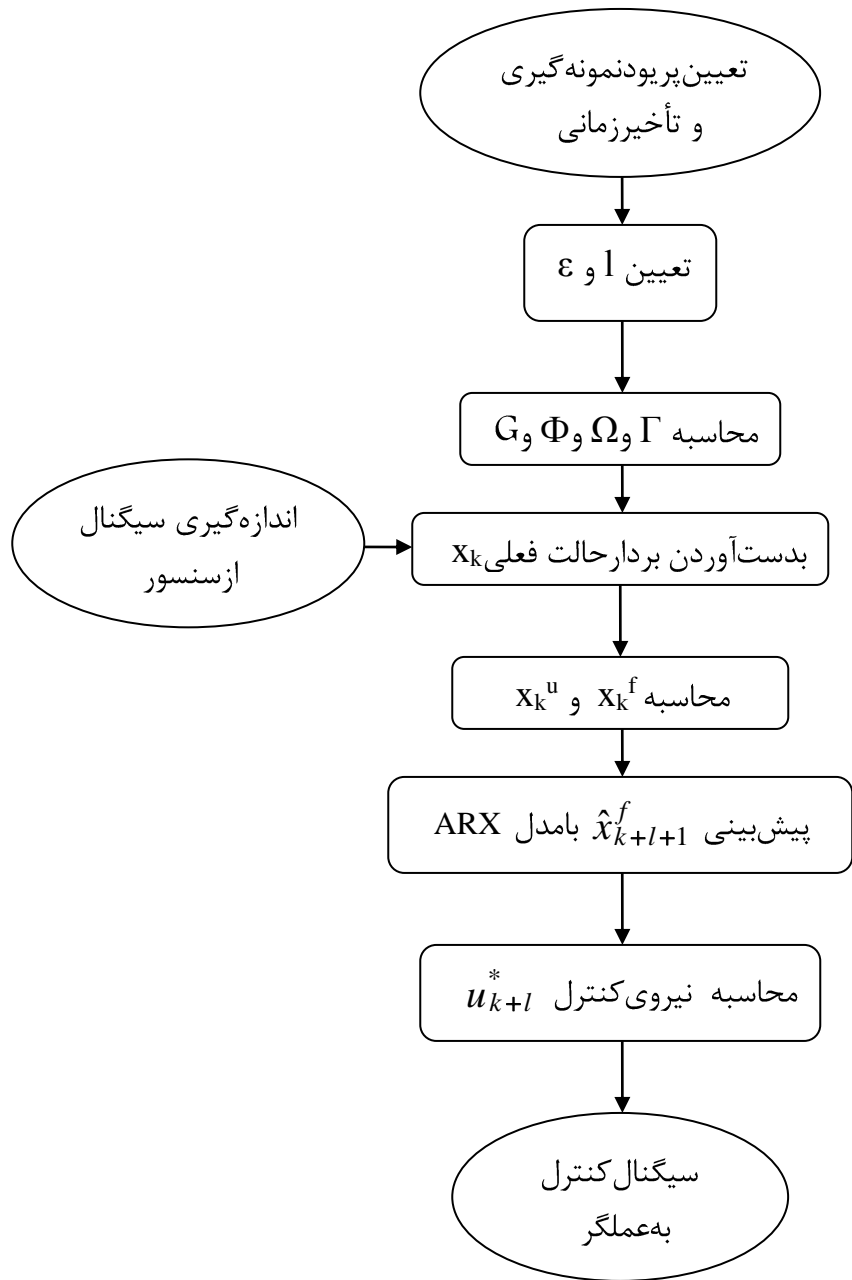
مراحل در هر دوره زمانی تکرار می‌شود. نمودار سیستم کنترل شده در شکل (1-2) نشان داده شده است.

فلوچارت روش فوق در شکل (2-2) نشان داده شده است.

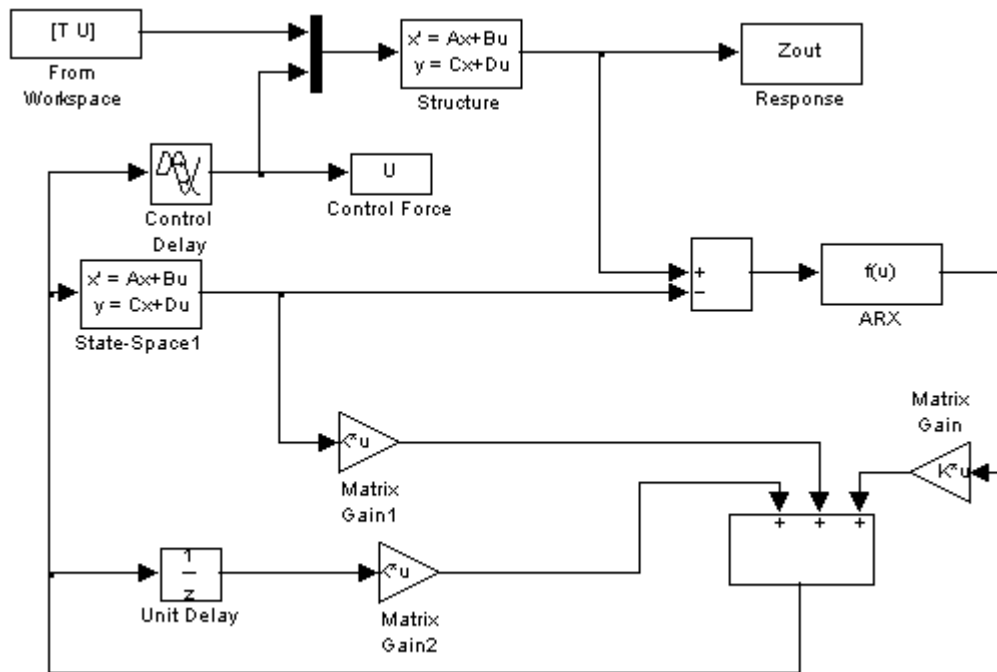


شکل ۲-۱- نمودار سازه کنترل شده با جبران اثر تأخیرزمانی

شکل (۲-۳) سیمولینک سازه کنترل شده با جبران اثر تأخیرزمانی را نشان می دهد. عملکرد روش ارائه شده با کمک شبیه سازی مطلب در فصل بعد بررسی می شود .



شکل ۲-۲- فلوچارت سازه کنترل شده با جبران اثر تأخیر زمانی



شکل ۲-۳- سیمولینک سازه با جبران اثر تأخیرزمانی

## مقایسه با روش پیش‌بینی کنترل :

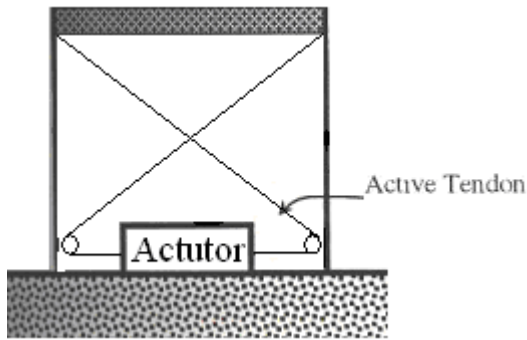
اگرچه نیروی کنترل بهینه در معادلات فوق برای حالت سوم یعنی  $1 \leq t \leq 1$  بدست آمد اما برای دو حالت دیگر با جایگزینی  $t = 0$  در معادلات مربوطه قابل کاربرد است. در حقیقت با این جایگزینی، شاخص عملکرد کلی در معادله (۱۳-۲-۲) به شاخص عملکرد در معادله (۴-۱-۲) تغییرمی‌کند. بنابراین نیروی کنترل تعیین شده توسط معادله (۱۴-۲-۲) می‌تواند بعنوان نیروی کنترل بهینه کلی برای یک سیستم کنترل همراه یک تأخیر زمانی  $\delta$  جایگزین شود.

در روش پیش‌بینی ارائه شده در قسمت قبل، درابتدا اثر تأخیر زمانی صرف نظر کردیم و معادلات دینامیکی سیستم با فرض نبود تأخیر زمانی تشکیل شده و از یک شاخص عملکرد مانند معادله (۴-۱-۲) برای بدست آوردن نیروی کنترل بهینه استفاده شد. سپس معین شد که برای جبران اثر تأخیر زمانی، مدل‌های AXR قادر به پیش‌بینی پاسخ به تحریک خارجی دریک یا بیشترگام جلوتر هستند. بنابراین محاسبه نیروی کنترل بهینه به منظور جبران اثر تأخیر زمانی در زمان  $t$  امکان‌پذیرمی‌شود. به حال در این فصل یک روش دیگر اتخاذ شد و معادلات دینامیکی سیستم با تأخیر زمانی تشکیل شد. حتی شاخص عملکرد با در نظر گرفتن اثر تأخیر زمانی تعریف شد. حداقل سازی شاخص عملکرد کلی منجر به یک نیروی کنترل بهینه که مستلزم پیش‌بینی پاسخ به تحریک خارجی در گام‌های جلوتر است، می‌شود. در روش پیش‌بینی ارائه شده در قسمت قبل بصورت آشکارفرض شد که تأخیر زمانی یک ضریبی صحیح از دوره نمونه‌گیری باشد. روش ارائه شده در این فصل کلی‌تر است و اجازه می‌دهد که تأخیر زمانی هر عدد غیرمنفی باشد به هر حال این موضوع جالب است که اگر تأخیر زمانی ضریبی صحیح از دوره نمونه‌گیری باشد، نتایج دو روش علی‌رغم اختلاف آنها در تشکیل نیروی کنترل بهینه، یکسان است. درنتیجه روش ارائه شده در این قسمت، روش قسمت قبل را پوشش داده و می‌تواند بعنوان یک روش پیش‌بینی کنترل بهینه حلقه بسته کلی‌تر سیستمهای همراه با

تأخیرزمانی استفاده شود .

#### شبیه‌سازی عددی :

برای توصیف عملکرد و کارائی روش ارائه شده ، نتایج عددی برای یک سازه خطی در این قسمت بررسی می‌شود. یک سازه یک درجه آزادی مطابق شکل (۴-۲) در نظر گرفته می‌شود . زلزله السنترو بعنوان تحریک خارجی در نظر گرفته می‌شود . پرید نمونه‌گیری نیز برابر  $0.02\text{s}$  فرض می‌شود .



$$M = 9.81 \times 10^5 \text{ Kg}$$

$$K = 38.728 \text{ MN/m}$$

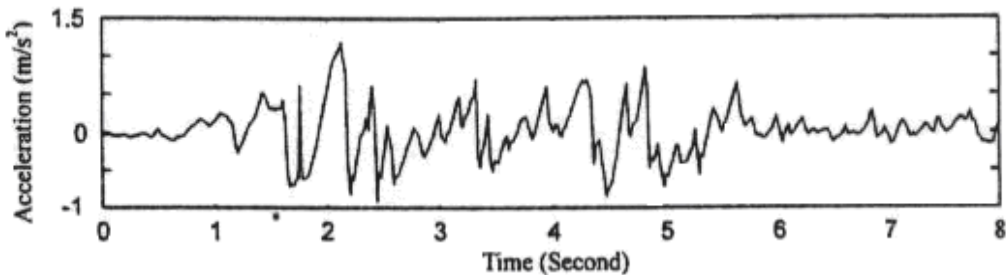
$$\xi = 2.0 \%$$

$$T = 0.1 \text{ S}$$

$$u(t) = -4k_c d(t) \cos(\alpha)$$

$$\text{سخته، تندورن: } k_c =$$

شکل ۴-۲- مدل سازه



شکل ۵-۲- تاریخچه زمانی زلزله السنترو

$$Q = \begin{bmatrix} K & 0 \\ 0 & M \end{bmatrix} \quad \text{ماتریس وزن } Q \text{ بصورت فوق انتخاب شده است :}$$

#### مثال - ۱

در این مثال تأخیرزمانی برابر  $0.02\text{s}$  فرض می‌شود . در نتیجه تأخیرزمانی ضریبی صحیح از دوره نمونه‌گیری است ( $\varepsilon = 0$  ،  $l=1$ ) . عملگر ظرفیت وارد کردن نیروی کنترل حداکثر  $10^6 \times 10^2$  نیوتن را دارد . مقدار  $R$  طوری

جدول ۱-۲ - پاسخ به زلزله‌ترانی با  $\delta = \Delta t$

Control Method	Peak Control Force (MN)	$r^{-1}$	Peak Displacement (mm)	Peak Velocity (mm/S)	RMS Acceleration	Peak Total Energy (kN.m)	Total Control Work (kN.m)
Uncompensated	2.0	6.48	33	398	1.21	79.7	630.8
Compensated Control	2.0	6.59	32	366	1.16	66.8	586.1
Uncontrolled			168	1175	2.09	692.4	

انتخاب می شود که نیروی کنترل مأگزیموم از ظرفیت عملگر تجاوز نکند. نتایج در جدول (۲-۱) نشان داده شده است. همانگونه که از جدول فوق مشاهده می شود اگر تأخیر زمانی جبران نشود، پاسخ های سازه کنترل شده بیشتر از مقادیر نظیر وقتی تأخیر زمانی جبران شود، هستند. همچنین صرفنظر از تأخیر زمانی کار کنترل را افزایش می دهد. انرژی کل سازه کنترل شده به اندازه ۱۹٪ در مقایسه با حالتی که تأخیر زمانی جبران شود، بیشتر است. این مسئله اهمیت جبران تأخیر زمانی را نشان می دهد.

#### مثال -۲

این مثال مشابه مثال قبلی است جزاین که تأخیر زمانی برابر  $0.03\text{ s}$  در نظر گرفته می شود. درنتیجه تأخیر زمانی ضریبی صحیح از دوره نمونه گیری نیست. ( $\epsilon=0.5, l=1$ ). نتایج در جدول (۲-۲) نشان داده شده است. نتایج نشان دهنده آنست که عملکرد سیستم کنترل شده با جبران تأخیر زمانی مطلوبتر از سیستم کنترل شده بدون جبران تأخیر زمانی است. در سیستم کنترل شده پاسخ حداکثر، بدون جبران تأخیر زمانی، افزایش می یابد. سیستم کنترل شده با جبران تأخیر زمانی در بدست آوردن هدف کنترل مؤثرتر است. انرژی کل سازه کنترل شده، بدون جبران تأخیر زمانی ۲۴٪ بیشتر از سازه کنترل شده با جبران تأخیر زمانی است. از مثالهای فوق مشخص است، که جبران اثر تأخیر زمانی بوسیله روش ارائه شده، شاخص سیستم کنترل در بدست آوردن هدف کنترل و کاهش پاسخ سازه بهبود پیدا می کند (بهبود عملکرد کنترل).

$\delta = 1.5 \Delta t$  جدول ۲-۲ - پاسخ به زلزله طراحی با

Control Method	Peak Control Force (MN)	$r^{-1}$	Peak Displacement (mm)	Peak Velocity (mm/S)	RMS Acceleration ( $m/sec^2$ )	Peak Total Energy (kN.m)	Total Control Work (KN.m)
Uncompensated	2.0	5.08	41	431	1.25	92.8	638.3
Compensated Control	2.0	13.05	34	389	1.19	75.1	605.3
Uncontrolled			168	1175	2.09	692.4	

## ۲-۳- روش کنترل بهینه با استفاده از شاخص عملکرد LQR :

مقدمه :

روش کنترل بهینه برای سازه‌های خطی تحریک شده توسط زلزله با تأخیر زمانی در کنترل، در این قسمت بررسی می‌شود. با استفاده از  $Z.O.F^1$ ، معادله دیفرانسیلی پیوسته زمانی همراه با تأخیر زمانی در کنترل را می‌توان بفرم گسسته زمانی استاندارد بدون تأخیر زمانی در کنترل، در دو حالت که تأخیر زمانی ضریبی صحیح از دوره نمونه‌گیری باشد یا خیر، نوشت. شاخص عملکرد پیوسته زمانی در طراحی کنترل کننده بهینه استفاده می‌شود، که آن نیز بفرم گسسته تبدیل می‌شود. سپس کنترل کننده بهینه را می‌توان با استفاده از روش کلاسیک گسسته LQR طراحی کرد. کنترل کننده حاصل نه تنها شامل گام کنونی برگشت‌پذیری حالت است، بلکه شامل یک ترکیب خطی از چندین گام قبلی کنترل نیز است. از آنجایی که کنترل کننده بهینه مستقیماً از معادله دیفرانسیلی حرکت سازه حاصل می‌شود، و از هیچ‌گونه تقریب‌سازی در بدست آوردن آن استفاده نمی‌شود، پایداری سازه کنترل شده تضمین می‌شود.

همانگونه که قبلاً گفته شد، روش‌های زیادی برای جبران اثر تأخیر زمانی وجود دارد. برخی از این روش‌ها دارای محدودیت‌هایی هستند. برای مثال برخی از این روش‌ها برای تأخیرات زمانی کوچک مناسب هستند. برخی دیگر برای تحریک هارمونیک قابل کاربرد هستند. از سوی دیگر در جبران اثر تأخیر زمانی، اغلب کنترل کننده در ابتدا بدون در نظر گرفتن اثر تأخیر زمانی محاسبه می‌شود و سپس بهره برگشت‌پذیر حالت اصلاح می‌شود. بنابراین در صورتی که تأخیر زمانی بزرگ باشد، پایداری سازه کنترل شده تضمین نمی‌شود. اما این روش کنترل، دارای محدودیت‌های فوق نمی‌باشد و برای تأخیرات زمانی بزرگ نیز قابل کاربرد است.

عملکرد روش ارائه شده از طریق شبیه‌سازی عددی بررسی می‌شود. نتایج عددی نشان‌دهنده عملکرد خوب این روش برای کاربرد با سازه‌های خطی تحریک شده با زلزله است.

### معادله حرکت :

یکسازه خطی مدل شده توسط سیستم  $n$  درجه آزادی جرم، فنر و میراگر را در نظر بگیرید . معادله حرکت

سیستم در معرض شتاب افقی زمین  $(t) \ddot{X}_g$  ، را بصورت زیر می توان نوشت :

$$M\ddot{X}(t) + C\dot{X}(t) + KX(t) = HU(t - \lambda) + D\ddot{X}_g(t) \quad (1-3-2)$$

در معادله فوق  $X = [x_1, x_2, \dots, x_n]^T$  بردار  $n$  بعدی جابجایی طبقات است . ماتریس  $H$  بیان کننده

موقعیت کنترل کننده و ماتریس  $D = [-m_1, m_2, \dots, m_n]^T$  است .  $\lambda$  تأخیر زمانی لازم

برای بکار بردن نیروی کنترل است . که می توان آنرا بصورت زیر نوشت :

$$\lambda = lT - \bar{m} \quad (2-3-2)$$

$$l \geq 0 \quad \text{و} \quad 0 \leq \bar{m} \leq T \quad \text{عدد صحیح :}$$

در معادلات فوق  $T$  پرید نمونه گیری است .

در فضای حالت معادله (1-3-2) را می توان بصورت دومعادله دیفرانسیلی خطی مرتبه اول نوشت :

$$\dot{Z}(t) = AZ(t) + BU(t - \lambda) + E\ddot{X}_g(t) \quad (3-3-2)$$

$$Z(t) = \begin{bmatrix} X(t) \\ \dot{X}(t) \end{bmatrix} \quad \text{و} \quad A = \begin{bmatrix} 0 & I \\ -M^{-1}K & -M^{-1}C \end{bmatrix}$$

$$B = \begin{bmatrix} 0 \\ M^{-1}H \end{bmatrix} \quad \text{و} \quad B = \begin{bmatrix} 0 \\ M^{-1}D \end{bmatrix}$$

### گسسته سازی معادله حرکت :

حل تحلیلی معادله (3-3-2) را می توان بصورت زیر نوشت :

$$Z(t) = e^{A(t-t_0)} Z(t_0) + \int_{t_0}^t e^{A(t-\tau)} BU(\tau - \lambda) d\tau + \int_{t_0}^t e^{A(t-\tau)} E\ddot{X}_g(\tau) d\tau$$

$$(4-3-2)$$

اکنون با استفاده از تعریف زیر (Z.O.F) می‌توان معادله بالا را بفرم گسسته نوشت :

$$U(t)=U(k) \quad \text{و} \quad kT \leq t \leq (k+1)T \quad (5-3-2)$$

$$U(k)=U(kT) \quad \text{که } k \text{ گام کنترل است و :}$$

معادله فوق نشان می‌دهد که عملگر در طول دو گام نمونه‌گیری مجاور، نیروی کنترل ثابت به سازه وارد می‌کند.

فرض کنیم  $t=(k+1)T$  و  $t_0=kT$  معادله (4-3-2) را می‌توان بصورت زیر نوشت :

$$Z(k+1) = e^{AT} Z(k) + \int_{kT}^{(k+1)T} e^{A(kT+\tau-\tau)} BU(\tau - \lambda) d\tau + \int_{kT}^{(k+1)T} e^{A(kT+\tau-\tau)} E \ddot{X}_g(\tau) d\tau \quad (6-3-2)$$

با جانشینی  $\eta = (k+1)T - \tau$  معادله (6-3-2) را می‌توان بصورت زیر نوشت :

$$Z(k+1)T = Z(k+1) = e^{AT} Z(k) + \int_0^T e^{A\eta} BU(kT + T - lT + \bar{m} - \eta) d\eta + \int_0^T e^{A\eta} E \ddot{X}_g(kT + T - \eta) d\eta \quad (7-3-2)$$

برای طراحی کنترل کننده بهینه گسسته، می‌باید معادله (7-3-2) را بیشتر بفرم گسسته استاندارد نوشت. این کار را می‌توان در دو حالت که تأخیر زمانی ضربی صحیح از دوره نمونه‌گیری باشد یا خیر، انجام داد.

الف : حالتی که تأخیر زمانی ضربی صحیح از دوره نمونه‌گیری باشد. ( $\bar{m} = 0$ )

در این حالت با استفاده از معادله (5-3-2)، معادله (7-3-2) را می‌توان بفرم زیر نوشت :

$$Z(k+1)T = Z(k+1) = e^{AT} Z(k) + \int_0^T e^{A\eta} BU(k - l) d\eta + \int_0^T e^{A\eta} E \ddot{X}_g(kT + T - \eta) d\eta = F * Z(k) + G * U(k - l) + Z_g(k) \quad (8-3-2)$$

که ماتریسهای  $F$  و  $G$  بردار  $Z_g(k)$  بصورت زیر تعریف شده‌اند :

$$G = \int_0^T e^{A\eta} d\eta B \quad , \quad F = e^{AT}$$

$$Z_g(k) = \int_0^T e^{A\eta} E \ddot{X}_g(kT + T - \eta) d\eta \quad (9-3-2)$$

فرض کنیم :

$$Z_{n+1}(k) = U(k-1)$$

$$Z_{n+2}(k) = U(k-1+1) \quad (10-3-2)$$

$$Z_{n+3}(k) = U(k-1+2)$$

$$Z_{n+l}(k) = U(k-1)$$

: ۶

$$\bar{Z}(k) = [Z^T(k), Z^T_{n+1}(k), \dots, Z^T_{n+l}(k)]^T \quad (11-3-2)$$

بنابراین معادله (8-3-2) را می‌توان بفرم گسسته استاندارد زیر نوشت :

$$\bar{Z}(k+1) = \bar{F}\bar{Z}(k) + \bar{G}U(k) + \bar{Z}_g(k) \quad (12-3-2)$$

که ماتریسهای فوق بصورت زیر تعریف شده‌اند :

$$\bar{G} = \begin{bmatrix} 0 \\ \cdot \\ \cdot \\ 0 \\ I \end{bmatrix} \quad , \quad \bar{F} = \begin{bmatrix} F & G & 0 & \cdot & 0 \\ 0 & 0 & I & \cdot & 0 \\ \cdot & \cdot & \cdot & \cdot & \cdot \\ 0 & 0 & \cdot & \cdot & I \\ 0 & 0 & \cdot & 0 & 0 \end{bmatrix} \quad , \quad \bar{Z}_g(k) = \begin{bmatrix} Z_g(k) \\ \cdot \\ \cdot \\ 0 \end{bmatrix} \quad (13-3-2)$$

ب : حالتی که تأخیرزمانی ضریبی غیر صحیح از دوره نمونه‌گیری باشد : ( $\bar{m} \neq 0$ )

در این حالت معادله (7-3-2) را می‌توان بصورت زیر نوشت :

$$\begin{aligned}
Z(k+1)T = Z(k+1) &= e^{AT} Z(k) + \int_0^{\bar{m}} e^{A\eta} BU(k-l+1) d\eta + \\
&\int_{\bar{m}}^T e^{A\eta} BU(k-l) d\eta + \int_0^T e^{A\eta} E \ddot{X}_g(kT+T-\eta) d\eta = FZ(k) + G_a U(k-l) + \\
&G_b U(k-l+1) + Z_g(k)
\end{aligned}
\tag{14-3-2}$$

که در معادله فوق داریم :

$$\begin{aligned}
G_a &= \int_{\bar{m}}^T e^{A\eta} d\eta B & F &= e^{AT} \\
G_b &= \int_0^{\bar{m}} e^{A\eta} d\eta B
\end{aligned}
\tag{15-3-2}$$

$$Z_g(k) = \int_0^T e^{A\eta} E \ddot{X}_g(kT+T-\eta) d\eta$$

فرض کنیم :

$$\begin{aligned}
G(t) &= \int_0^t e^{A\eta} d\eta B & F &= e^{AT} \\
\end{aligned}
\tag{16-3-2}$$

بنابراین سه جمله اول در معادله (15-3-2) را می توان بصورت زیر نوشت :

$$\begin{aligned}
G_a &= \int_{\bar{m}}^T e^{A\eta} d\eta B = \int_0^{T-\bar{m}} e^{A(\bar{m}+\sigma)} d\sigma B = e^{A\bar{m}} \int_0^{T-\bar{m}} e^{A\sigma} d\sigma B = \\
F(\bar{m}) * G(T-\bar{m})
\end{aligned}$$

$$G_b = \int_0^{\bar{m}} e^{A\eta} d\eta B = G(\bar{m}) \tag{17-3-2}$$

$$F = e^{AT} = F(T)$$

همچنین ، معادله (14-3-2) را می توان بفرم گسسته استاندارد کاملتر ، بصورت زیر نوشت :

$$\bar{Z}(k+1) = \bar{F}\bar{Z}(k) + \bar{G}U(k) + \bar{Z}_g(k) \tag{18-3-2}$$

که :

$$\bar{F} = \begin{bmatrix} F & G_a & G_b & 0 & . & 0 \\ 0 & 0 & I & 0 & 0 & 0 \\ . & . & . & . & . & . \\ 0 & 0 & 0 & . & . & I \\ 0 & 0 & 0 & . & . & 0 \end{bmatrix} \quad \text{و} \quad \bar{G} = \begin{bmatrix} 0 \\ . \\ 0 \\ I \end{bmatrix}$$

$$\bar{Z}_g(k) = \begin{bmatrix} Z_g(k) \\ . \\ 0 \\ 0 \end{bmatrix} \quad (19-3-2)$$

### طراحی کننده :

در طراحی کننده بهینه با استفاده از روش کلاسیک LQR، از ارتعاش خارجی صرف نظر می‌شود. بنابراین

می‌توان کنترل کننده بهینه گسسته برای سیستم گسسته خطی پایدار زیر طراحی کرد:

$$Z(k+1) = FZ(k) + GU(k) \quad \text{و} \quad Z(0) = Z_0 \quad (20-3-2)$$

شاخص عملکرد گسسته زمانی بصورت زیر داده شده است:

$$J_d = \sum_{k=0}^{\infty} [Z^T(k) Q Z(k) + U^T R U(t)] \quad (21-3-2)$$

که در معادله فوق  $Q$  و  $R$  ماتریس‌های وزن هستند. اکنون فرض کنیم که  $S(k)$  از حل معادله ریکاتی گسسته

زیر بدست می‌آید:

$$\begin{aligned} S(k) &= F^T \{ S(k+1) - S(k+1)G[R + G^T S(k+1)G]^{-1} \times \\ &\quad G^T S(k+1)\} F + Q \\ &\quad (22-3-2) \end{aligned}$$

$$S(N) = Q_0$$

بنابراین برای هر ماتریس متقارن نیمه معین مثبت دلخواه  $Q_0$  ، داریم :

$$S = \lim_{\substack{N \rightarrow \infty}} S(k, N) = \lim_{\substack{N \rightarrow \infty}} S(k, N) \quad (23-3-2)$$

علاوه  $S$  یک ماتریس متقارن معین مثبت است . که می تواند از حل معادله جبری گستاخ ریکاتی زیر بدست آید :

$$S = F^T \{ S - SG [ R + G^T SG ]^{-1} G^T S \} F + Q \quad (24-3-2)$$

بنابراین کنترل کننده بهینه را می توان بصورت زیر محاسبه کرد :

$$U(k) = -L^* Z(k) \quad (25-3-2)$$

$$L = [ R + G^T SG ]^{-1} G^T S F$$

این نیروی کنترل شاخص عملکرد  $J_d$  را حداقل می سازد .

در قسمت قبل ، معادله حالت پیوسته زمانی (معادله ۳-۲) ، همراه با تأخیر زمانی ، بفرم گستاخ زمانی ، در دو حالت که تأخیر زمانی ضریبی صحیح از دوره نمونه گیری باشد یا خیر ، نوشته شد . اگر  $J_d$  بعنوان شاخص عملکرد پذیرفته شود ، کنترل کننده بهینه رامی توان مستقیماً از معادلات ۲۰-۳-۲ تا ۲۵-۳-۲ طراحی کرد . اما  $J_d$  تنها می تواند عملکرد مطلوب را در طول گام نمونه گیری تضمین کند و هیچگونه تضمینی برای پایداری در طول دو گام نمونه گیری مجاور ندارد . برای تضمین برقراری عملکرد مطلوب کنترل ، شاخص عملکرد پیوسته زمانی زیر در نظر گرفته می شود :

$$J_c = \int_0^\infty [Z^T(t) Q Z(t) + U^T(t) R U(t)] dt \quad (26-3-2)$$

معادله فوق را می توان بصورت زیر نوشت :

$$J_c = \sum_{k=0}^{\infty} J_k \quad (27-3-2)$$

که در معادله فوق :

$$J_k = \int_{kT}^{(k+1)T} [Z^T(k)QZ(k) + U^T(k)RU(k)]dt \quad (28-3-2)$$

بنابراین کنترل کننده بهینه گسسته را می‌توان در دو حالت  $\bar{m} = 0$  و  $\bar{m} \neq 0$  بصورت زیر طراحی کرد.

الف : حالتی که تأخیر زمانی ضریبی صحیح از دوره نمونه گیری باشد ( $\bar{m} = 0$ )

با صرفنظر کردن از تحریک خارجی معادله (۲-۳-۸) را می‌توان بفرمایش زیر نوشت:

$$Z(k+1) = FZ(k) + GU(k-l) \quad (29-3-2)$$

که  $G$  و  $F$  در معادله (۲-۳-۹) داده شده‌اند. معادله (۲-۳-۹) را می‌توان بفرمایش گسسته استاندارد بصورت زیر

$$\bar{Z}(k+1) = \bar{F}\bar{Z}(k) + \bar{G}U(k) \quad (30-3-2)$$

که  $\bar{F}$  و  $\bar{G}$  در معادله (۲-۳-۱۳) داده شده‌اند.

اگر  $kT \leq t \leq (k+1)T$  حل معادله (۳-۳-۲) با صرفنظر از تحریک خارجی بصورت زیر است:

$$Z(t) = e^{A(t-kT)} Z(k) + \int_{kT}^t e^{A(t-\tau)} BU(k-l)d\tau \quad (31-3-2)$$

با جانشینی کردن معادله (۳-۳-۲) در معادلات (۲-۳-۲۷ و ۲-۳-۲۸) و پس از مرتب کردن عبارات، داریم:

$$J_c = \sum_{k=0}^{\infty} [Z^T(k)Q_1Z(k) + 2Z^T(k)Q_{12}U(k-l) + U^T(k-l)Q_{21}U(k-l) + U^T(k)Q_{22}U(k)] \quad (32-3-2)$$

که در معادله فوق  $Q_1$  و  $Q_{21}$  و  $Q_{12}$  ماتریس‌های وزن هستند.

$$Q_1 = \int_0^T F^T(t)QF(t)dt \quad \text{و} \quad Q_{21} = \int_0^T G^T(t)QG(t)dt$$

$$Q_{12} = \int_0^T F^T(t)QG(t)dt \quad \text{و} \quad Q_{22} = RT \quad (33-3-2)$$

شاخص عملکرد داده شده در معادله (۳-۳-۳۲) را می‌توان بصورت زیر نوشت:

$$J_c = \sum_{k=0}^{\infty} [\bar{Z}^T(k) \hat{Q} \bar{Z}(k) + U^T(k) \hat{R} U(k)] \quad (34-3-2)$$

که  $\hat{R} = (2n+lr)^*(2n+lr)$  و  $Q = (r * r)$  بصورت زیر تعریف شده اند :

$$\hat{Q} = \begin{bmatrix} Q_1 & Q_{12} & 0 \\ Q_{12}^T & Q_{21} & 0 \\ 0 & 0 & 0 \end{bmatrix} \quad \text{و} \quad \hat{R} = Q_{22} \quad (35-3-2)$$

اکنون مسئله تعیین نیروی کنترل بهینه بوسیله حداقل سازی شاخص عملکرد داده شده توسط معادله

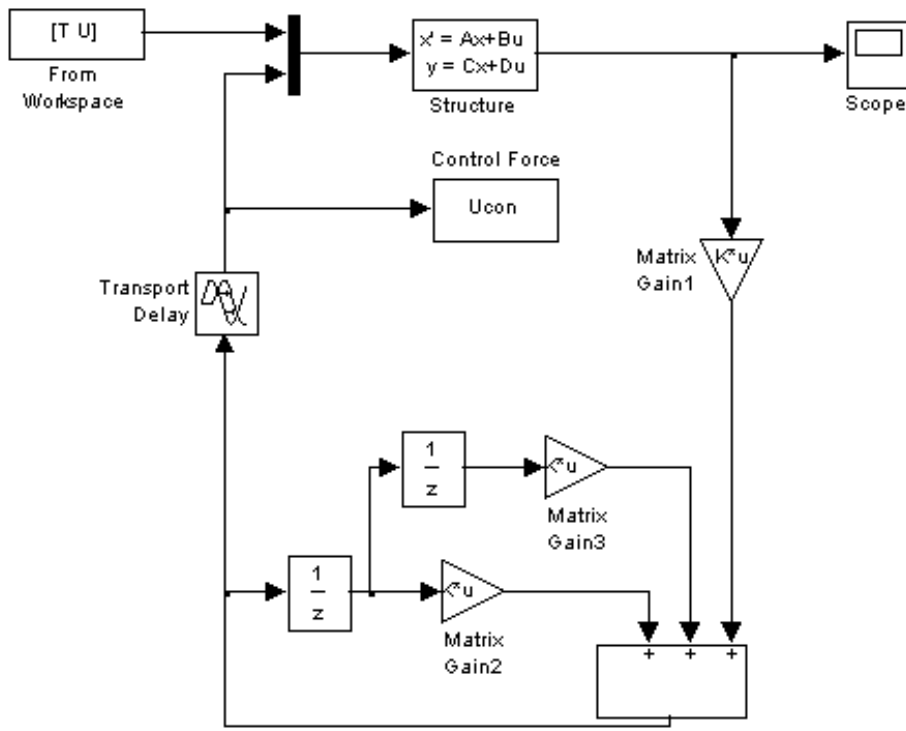
(34-3-2) می باشد. این نیروی کنترل بهینه را می توان با استفاده از معادلات ۲۰ تا ۲۵ محاسبه کرد. و

بصورت زیر بدست می آید :

$$U(k) = -L\bar{Z}(k) = -L_1 Z(k) - L_2 U(k-l) - \dots - L_{l+1} U(k-1) \quad (36-3-2)$$

همانطور که از معادله فوق مشاهده می شود نیروی کنترل بهینه نه تنها شامل گام کنونی برگشت پذیر حالت

است ( $L_i Z(k)$ ) بلکه شامل یک ترکیب خطی از (1) گام قبلی کنترل نیز است.



سیمولینک سازه کنترل شده برای  $\bar{m} = 0$  و  $l=2$

ب: حالتی که تأخیر زمانی ضریبی غیر صحیح از دوره نمونه گیری باشد: ( $\bar{m} \neq 0$ )

با صرف نظر کردن از تحریک خارجی معادله (۳۷-۳-۲) بصورت زیر نوشته می شود:

$$Z(k+1) = FZ(k) + G_a U(k-l) + G_b U(k-l+1) \quad (37-3-2)$$

اگر  $T \leq t \leq (k+1)T$  حل معادله (۳-۳-۲) با صرف نظر کردن از تحریک خارجی بصورت زیر ممکن باشد:

$$\begin{aligned} Z(t) &= e^{A(t-kT)} Z(k) + \int_{kT}^t e^{A(t-\tau)} B U(\tau - \lambda) d\tau = e^{A(t-kT)} Z(k) + \\ &\int_{kT}^t e^{A(t-\tau)} B U(\tau - lT + \bar{m}) d\tau \end{aligned} \quad (38-3-2)$$

معادله (۳۸-۳-۲) را می توان به دو قسمت جداگانه از زمان  $t$  تقسیم کرد. زمانی که:

$$kT \leq t \leq (k+1)T - \bar{m}$$

داریم:

$$Z(t) = e^{A(t-kT)} Z(k) + \int_{kT}^t e^{A(t-\tau)} B U(k-l) d\tau \quad (39-3-2)$$

وزمانی که :  $(k+1)T - \bar{m} \leq t \leq (k+1)T$  داریم

$$\begin{aligned} Z(t) &= e^{A(t-kT)} Z(k) + \int_{kT}^{(k+1)T - \bar{m}} e^{A(t-\tau)} B U(k-l) d\tau + \\ &\quad \int_{(k+1)T - \bar{m}}^t e^{A(t-\tau)} B U(k-l+1) d\tau \end{aligned} \quad (40-3-2)$$

با استفاده از معادله (39-3-2) و (40-3-2)، معادله (28-3-2) را می‌توان بصورت زیر نوشت:

$$\begin{aligned} J_k &= \int_{kT}^{(k+1)T - \bar{m}} [Z^T(k) Q Z(k) + U^T(k) R U(k)] dt + \\ &\quad \int_{(k+1)T - \bar{m}}^{(k+1)T} [Z^T(k) Q Z(k) + U^T(k) R U(k)] dt = [Z^T(k) \bar{Q}_{11} Z(k) + \\ &\quad 2Z^T(k) \bar{Q}_{12} U(k-l) + U^T(k-l) \bar{Q}_{22} U(k) + U^T(k) \bar{Q}_2 U(k)] + [Z^T(k) \tilde{Q}_{11} Z(k) + \\ &\quad 2Z^T(k) \tilde{Q}_{12} U(k-l) + 2Z^T(k) Q_{13} U(k-l+1) + U^T(k-l) \tilde{Q}_{22} U(k-l) + \\ &\quad U^T(k-l+1) Q_{33} U(k-l+1) + 2U^T(k-l) Q_{23} U(k-l+1) + U^T(k) \tilde{Q}_2 U(k)] \end{aligned} \quad (41-3-2)$$

$$\begin{aligned} \bar{Q}_{11} &= Q_1(T - \bar{m}) \quad , \quad \bar{Q}_{12} = Q_{12}(T - \bar{m}) \quad , \quad \bar{Q}_{22} = Q_{21}(T - \bar{m}) \\ \bar{Q}_2 &= R(T - \bar{m}) \quad , \quad \tilde{Q}_{11} = F^T(T - \bar{m}) Q_1(\bar{m}) F(T - \bar{m}) \\ \tilde{Q}_{12} &= F^T(T - \bar{m}) Q_1(\bar{m}) G(T - \bar{m}) \quad , \quad \tilde{Q}_{22} = G^T(T - \bar{m}) Q_1(\bar{m}) G(T - \bar{m}) \\ Q_{13} &= F^T(T - \bar{m}) Q_{12}(\bar{m}) \quad , \quad Q_{23} = G^T(T - \bar{m}) Q_{12}(\bar{m}) \\ Q_{33} &= Q_{21}(\bar{m}) \quad , \quad \tilde{Q} = \bar{m} R \end{aligned} \quad (42-3-2)$$

که در آن  $F(t)$  و  $G(t)$  توسط معادله (۱۶-۳-۲) داده شده‌اند.

نظری معادله (۳۳-۳-۲) را می‌توان بصورت زیر بیان کرد :

$$\begin{aligned} Q_1(t) &= \int_0^t F^T(\tau) Q F(\tau) d\tau \\ Q_{12}(t) &= \int_0^t F^T(\tau) Q G(\tau) d\tau \quad (43-3-2) \\ Q_{21}(t) &= \int_0^t G^T(\tau) Q G(\tau) d\tau \end{aligned}$$

بنابراین معادله (۴۱-۳-۲) را می‌توان بصورت زیر نوشت :

$$J_k = \bar{Z}^T(k) \hat{Q} \bar{Z}(k) + 2 \bar{Z}^T(k) \hat{Q}_{12} U(k) + U^T(k) \hat{R} U(k) \quad (44-3-2)$$

بنابراین شاخص عملکرد داده‌شده توسط معادله (۲۷-۳-۲) را می‌توان بصورت زیر نوشت :

$$J_c = \sum_{k=0}^{\infty} [\bar{Z}^T(k) \hat{Q} \bar{Z}(k) + 2 \bar{Z}^T(k) \hat{Q}_{12} U(k) + U^T(k) \hat{R} U(k)] \quad (45-3-2)$$

در معادله (۴۵-۳-۲)، زمانی که  $l=1$ ، داریم :

$$\begin{aligned} \hat{Q}_{12} &= \begin{bmatrix} Q_{13} \\ Q_{23} \end{bmatrix} \quad , \quad \hat{Q} = \begin{bmatrix} \bar{Q}_{11} + \tilde{Q}_{11} & \bar{Q}_{12} + \tilde{Q}_{12} \\ (\bar{Q}_{12} + \tilde{Q}_{12})^T & \bar{Q}_{22} + \tilde{Q}_{22} \end{bmatrix} \\ \hat{R} &= RT + Q_{33} \quad (46-3-2) \end{aligned}$$

زمانی که  $l>1$ ، داریم :

$$Q = \begin{bmatrix} \bar{Q}_{11} + \tilde{Q}_{11} & \bar{Q}_{12} + \tilde{Q}_{12} & Q_{13} & 0 \\ (\bar{Q}_{12} + \tilde{Q}_{12})^T & \bar{Q}_{22} + \tilde{Q}_{22} & Q_{23} & 0 \\ Q_{13}^T & Q_{23}^T & Q_{33} & 0 \\ 0 & 0 & 0 & 0 \end{bmatrix} \quad , \quad \hat{Q}_{12} = 0 \quad \text{و} \quad \hat{R} = RT \quad (47-3-2)$$

بنابراین نیروی کنترل بهینه را می‌توان بالاستفاده از همان روش ارائه شده برای حالت  $\bar{m} \neq 0$  محاسبه کرد.  
کنترل کننده بهینه حاصل دارای همان عبارت معادله (۳-۲-۳۶) است . این کنترل کننده بهینه نیز شامل ترکیبی خطی از ۱ گام قبلی کنترل ، بعلاوه ۱ گام کنونی برگشت‌پذیر حالت نیز است .

### شبیه‌سازی عددی :

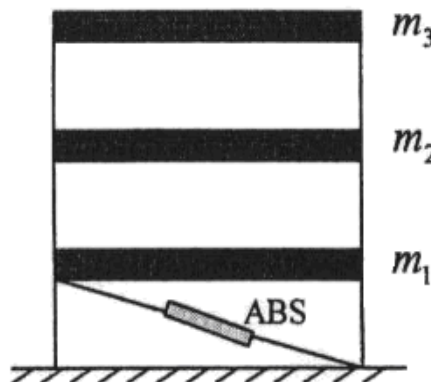
برای توصیف عملکرد و کارائی روش ارائه شده ، نتایج شبیه‌سازی برای یک ساختمان خطی در این قسمت بررسی می‌شود . یک مدل سه‌طبقه مطابق شکل (۱) در نظر گرفته می‌شود . جرم ، سختی و ضریب دمپینگ هر طبقه عبارتند از :  $C_i=1.407 \text{ kNs/m}$  و  $k_i=980 \text{ kN/m}$  ،  $m_i=1000 \text{ kg}$  فرکانس‌های طبیعی سازه عبارتند از :  $56.36, 39.02, 13.93 \text{ Rad/s}$  . ضرائب دمپینگ عبارتند از :  $0.01, 0.028, 0.041$  . ماتریس مدل نیز بصورت زیر تعریف شده است :

$$\begin{bmatrix} 0.4450 & 1 & -0.8019 \\ 0.8019 & 0.4450 & 1 \\ 1 & -0.8019 & -0.4450 \end{bmatrix}$$

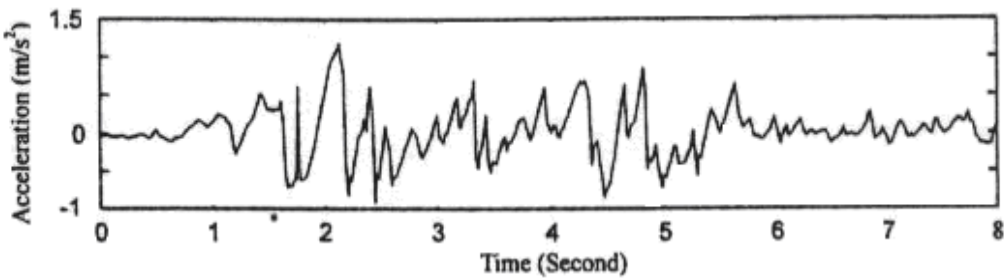
یک سیستم مهار فعال مطابق شکل (۱) در طبقه اول نصب شده است . زلزله سنتر و تیانجین بعنوان تحریک خارجی در نظر گرفته می‌شوند و به حداکثر شتاب  $g = 0.2$  و  $0.12$  همپایه شده‌اند . تاریخچه زمانی دو زلزله در شکل‌های (۲) و (۳) نشان داده شده است . ماتریس‌های وزن  $Q$  و ضریب دمپینگ  $R$  بصورت زیر انتخاب شده‌اند .

$$Q = \text{diag}([10^5, 10^4, 10^3, 1, 1, 1]) \quad \text{و} \quad R = 1.806 \times 10^{-10}$$

گام زمانی انتگرال‌گیری با استفاده از روش رانگ‌گوتا مرتبه چهارم  $s = 0.002$  است .



شکل ۱- مدل سازه

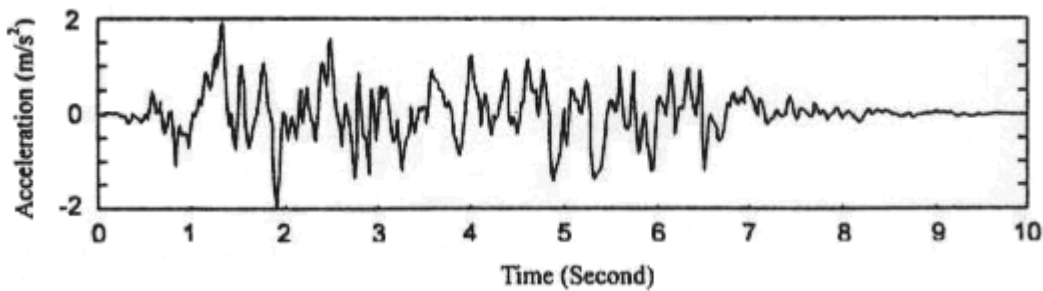


شکل ۲- تاریخچه زمانی زلزله السنترو

#### تعیین مأگزیم تأخیر زمانی برای پایداری :

در این قسمت زلزله السنترو بعنوان تحريك خارجی در نظر گرفته می شود. برای تعیین مأگزیم تأخیر زمانی پریدنمونه گیری  $T$ ، برابر  $0.002 \text{ s}$  فرض می شود. زمانی که هیچ گونه تأخیر زمانی در کنترل وجود ندارد، یعنی  $\lambda = 0$ ، نیروی کنترل بهینه رامی توان با استفاده از شاخص عملکرد پیوسته زمانی، مطابق معادله (۲۶) محاسبه کرد:

$$U(k) = -10^7 * [1.7557 x_1(k) - 0.1321 x_2(k) + 0.0777 x_3(k) + 0.0420 \dot{x}(k) + 0.021 \dot{x}_2(k) + 0.0087 \dot{x}_3(k)]$$



شکل ۳- تاریخچه زمانی زلزله تیانجین

در این کنترل کننده،  $x_1, x_2, x_3$  جابجایی هر طبقه و  $\dot{x}_1, \dot{x}_2, \dot{x}_3$  سرعت نظیر طبقات هستند. با استفاده از روش ارائه شده برای کنترل سازه با تأخیر زمانی در کنترل، منحنی تغییرات مأگزیم جابجایی طبقه، مأگزیم شتاب مطلق کف طبقه و مأگزیم نیروی کنترل موردنیاز در مقابل تأخیر زمانی در شکل (۴) نشان داده شده است. از شکل (۴) مشاهده می شود، زمانی که تأخیر زمانی بسیار کوچک باشد ناپایداری اتفاق می افتد. مأگزیم تأخیر زمانی برای پایداری در حدود  $0.004 \text{ s}$  است. به همین ترتیب مأگزیم تأخیر زمانی برای پایداری

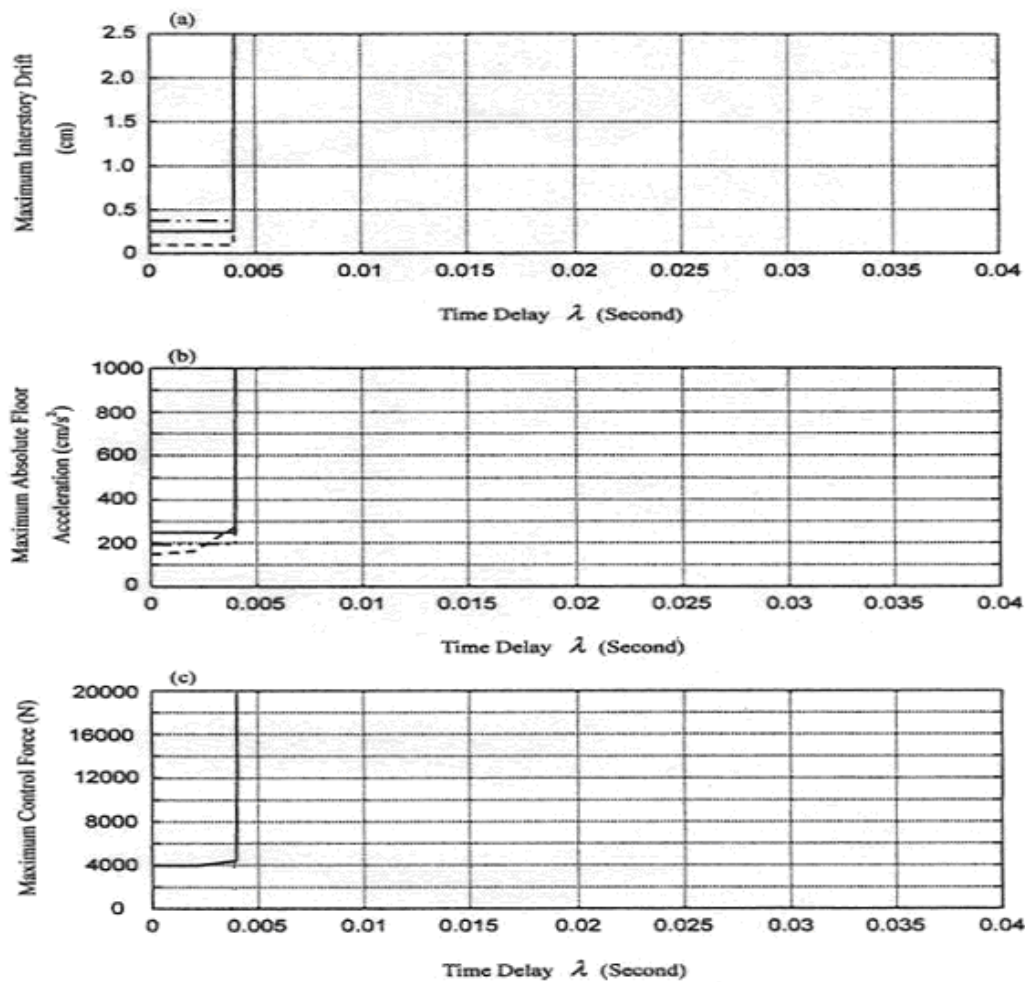
زمانی که زلزله تیانجین بعنوان ورودی تحریک استفاده شود ، قابل محاسبه است . منحنی تغییرات برای تعیین مانگزیم تأخیرزمانی ، زمانی که زلزله تیانجین استفاده شود ، مشابه شکل(۴) است و در اینجا از ارائه آن صرفنظر شده است .

با این شبیه‌سازی عددی مشاهده می‌شود که تأخیرزمانی در سیستمهای کنترل فعال ، زمانی که روش‌های کنترل فعال استفاده شوند ، می‌باید مورد توجه قرار گیرند . حتی تأخیرزمانی کوچک ، ممکن است باعث ناپایداری سازه کنترل شده گردد .

#### مقایسه اثر کنترل :

زلزله‌السنtro در این قسمت در نظر گرفته می‌شود . پرید نمونه گیری برابر  $s = 0.002$  در نظر گرفته می‌شود . زمانی که کنترل کننده ارائه شده در تعیین مانگزیم تأخیرزمانی برای کنترل سازه بدون تأخیرزمانی استفاده شود ، مانگزیم جابجایی طبقات ، مانگزیم شتاب مطلق طبقات و نیروی کنترل موردنیاز در ستون ۴ و ۵ جدول ۱ بوسیله DLQR ارائه شده است . زمانی که تأخیرزمانی برابر  $s = 0.1, 0.2, 0.3, 0.4$  (یعنی  $1 = 9, 50$ ) نتایج عددی با استفاده از روش کنترل ارائه شده در این قسمت در ستون‌های  $100, 150, 200, \bar{m} \neq 0$  نشان داده شده است . مقادیر مانگزیم پاسخ برای سیستم بدون کنترل در ستون ۲ و ۳ نشان داده شده است . زمانی که تأخیرزمانی برابر  $s = 0.399$  (یعنی  $1 = 10$ ) نتایج عددی با استفاده از روش کنترل ارائه شده در این قسمت در ستون ۱ نشان داده شده است . در محاسبات عددی جدول ۱ و ۲ نتایج در جدول ۲ نشان داده شده است . در جدول ۱ نتایج عددی با استفاده از شاخص عملکرد پیوسته زمانی  $J_c$  در طراحی کنترل کننده بهینه استفاده شده است . از جدول ۱ و ۲ می‌توان مشاهده کرد که روش کنترل ارائه شده نه تنها اثر خوبی در کاهش مانگزیم پاسخ سازه دارد ، بلکه پایداری سازه کنترل شده را نیز تضمین می‌کند . نتایج عددی بیشتر نشان دهنده آنست ، زمانی که پرید نمونه گیری کوچک ۰.۰۰۲ استفاده شود ، تأثیر کنترل با استفاده از شاخص عملکرد گسسته  $J_d$  مطابق معادله (۲۱)، تقریباً مشابه شاخص عملکرد پیوسته زمانی  $J_c$  است .

حالتی که پریدنمونه گیری برابر  $s = 0.02$  باشد، را درنظر می‌گیریم. شاخص‌های عملکرد پیوسته و گسسته در نظر گرفته می‌شوند. زمانی که تأخیرزمانی برابر  $0.1, 0.2, 0.3, 0.4, 0.5, 0.6$  s است، نتایج برای پاسخ



شکل ۴- مقادیر ماگزیم پاسخ، نیروی کنترل و شتاب طبقات در مقابل تأخیرزمانی در دو حالت بدون تأخیرزمانی در سیستم کنترل و با تأخیرزمانی در کنترل: (a) ماگزیم جابجایی طبقات: طبقه اول (- - -)، طبقه دوم (- . -)، طبقه سوم (---) کنترل و با تأخیرزمانی در کنترل: (b) ماگزیم شتاب کف: طبقه اول (- - -)، طبقه دوم (- . . -)، طبقه سوم (---)؛ و (c) نیروی کنترل ماگزیم.

جدول ۱ - مقادیرماگزیم پاسخ تحت زلزلهالسنتروبرای  $T=0.02s$  و  $(x_i : \text{cm}, \ddot{x}_{ai} : \text{cm/s}^2)$

Story	No Control		DLQR $U=3920N$		$\lambda=0.018s$ $U=4293N$		$\lambda=0.1s$ $U=5497N$		$\lambda=0.2s$ $U=3799N$		$\lambda=0.3s$ $U=5216N$		$\lambda=0.4s$ $U=4006N$	
	$x_i$	$\ddot{x}$	$x_i$	$\ddot{x}$	$x_i$	$\ddot{x}$	$x_i$	$\ddot{x}$	$x_i$	$\ddot{x}$	$x_i$	$\ddot{x}$	$x_i$	$\ddot{x}$
1	1.37	323	0.10	150	0.11	232	0.38	220	0.51	364	0.56	357	0.69	195
2	1.04	487	0.37	192	0.43	243	0.58	266	0.46	218	0.67	281	0.57	230
3	0.61	599	0.25	246	0.31	301	0.41	401	0.28	278	0.43	423	0.38	377

ماگزیم و نیروی کنترل مورد نیاز در ستون ۵ و جدول ۳ نشان داده شده است. در جدول ۳ شاخص عملکرد

صورت PI نشان داده شده است. همچنین نتایج در ستون ۳ و ۴ جدول ، مقادیر نظری بر اساس روش DLQR

هستند . در استفاده از QR ، پرید نمونه گیری  $T=0.02s$  فرض شده است . تاریخچه زمانی مقادیر پاسخ

ماگزیم و نیروی کنترل موردنیاز در مقابل تأخیر زمانی در شکل ۵ نشان داده شده است . از جدول ۳ و شکل ۵

می توان مشاهده کرد زمانی که حتی تأخیر زمانی بزرگ در سیستم کنترل وجود داشته باشد ، عملکرد روش کنترل

ارائه شده قابل قبول بوده و پایداری سازه کنترل شده تضمین می شود . تأثیر کنترل با استفاده از شاخص

عملکرد پیوسته زمانی مشابه شاخص عملکرد گسسته زمانی است .

جدول ۲ - مقادیرماگزیم پاسخ تحت زلزلهالسنترو برای  $T=0.02s$  و  $(x_i : \text{cm}, \ddot{x}_{ai} : \text{cm/s}^2)$

Story	$\lambda=0.019s$ $U=4392N$		$\Lambda=0.059s$ $U=5029N$		$\lambda=0.119s$ $U=5294N$		$\lambda=0.199s$ $U=3816N$		$\lambda=0.259s$ $U=4558N$		$\lambda=0.319s$ $U=5213N$		$\lambda=0.399s$ $U=3886N$	
	$x_i$	$\ddot{x}$												
1	0.11	260	0.25	297	0.43	187	0.51	365	0.50	255	0.60	359	0.69	194
2	0.43	251	0.54	322	0.58	222	0.46	220	0.57	295	0.67	265	0.56	226
3	0.31	307	0.42	410	0.37	365	0.28	279	0.39	283	0.41	404	0.38	368

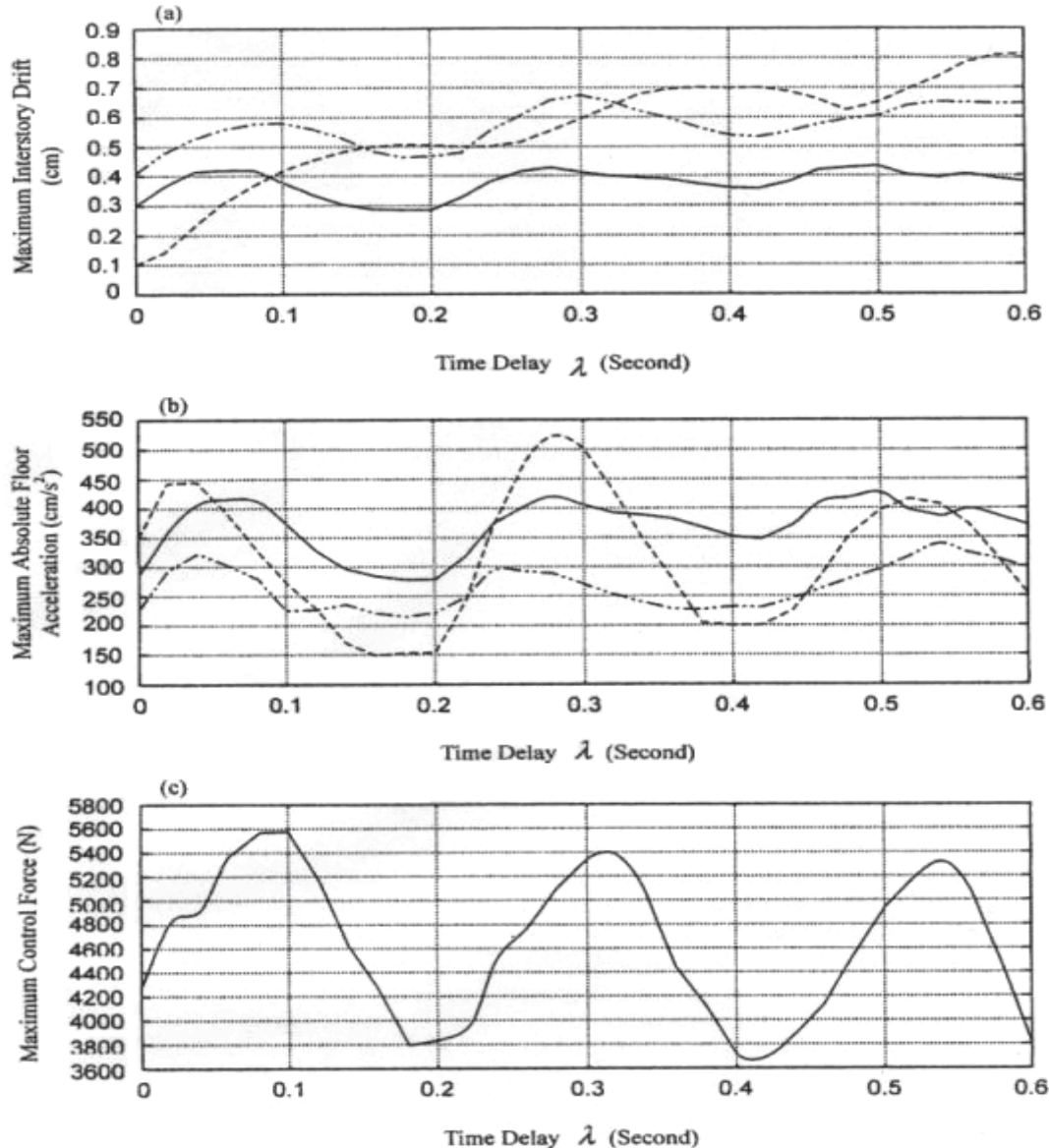
جدول ۳ - مقادیر مانگزیم پاسخ تحت زلزلهالسنتروبرای  $T=0.02s$

PI	Story	DLQR		$\lambda=0.1s$		$\lambda=0.2s$		$\lambda=0.3s$		$\lambda=0.4s$		$\lambda=0.5s$		$\lambda=0.6s$	
		$x_i$	$\ddot{x}$	$x_i$	$\ddot{x}$	$x_i$	$\ddot{x}$	$x_i$	$\ddot{x}$	$x_i$	$\ddot{x}$	$x_i$	$\ddot{x}$	$x_i$	$\ddot{x}$
$J_c$	1	0.10	349	0.42	275	0.51	153	0.59	501	0.70	200	0.65	397	0.81	254
	2	0.41	228	0.58	226	0.47	221	0.67	270	0.54	231	0.60	297	0.64	296
	3	0.30	288	0.38	373	0.28	278	0.41	405	0.36	351	0.43	426	0.38	371
	U	4277N		5577N		3834N		5340N		3715N		4936N		3807N	
$J_d$	1	0.10	352	0.42	277	0.51	153	0.59	505	0.70	200	0.65	401	0.81	254
	2	0.41	228	0.58	226	0.47	221	0.67	270	0.54	232	0.60	297	0.64	296
	3	0.30	288	0.38	373	0.28	278	0.41	405	0.36	351	0.43	426	0.38	371
	U	4275N		5587N		3837N		5352N		3715N		4930N		3810N	

حالی که پریدنمونه گیری بزرگ باشد، را در نظر بگیرید. زمانی که  $T = 0.1s$  را فرض کنید.  $T = 0.1, 0.3, 0.5s$  و مانگزیم پاسخ و نیروی کنترل مورد نیاز در ستون ۱۰-۵ جدول ۴ نشان داده شده است. نتایج برای تأخیر زمانی  $0.3, 0.6, 0.9s$  و پریدنمونه گیری  $0.3s$  در ستون ۱۳-۱۸ نشان داده شده است. پاسخ نظیر با استفاده از روش DLQR در ستون ۳، ۱۱، ۱۲ و ۱۳ جدول ۴ نشان داده شده است. در استفاده از روش DLQR، پریدنمونه گیری برابر  $0.1$  و  $0.3$  انتخاب شده است. همانگونه که از جدول ۴ مشاهده می شود، مانگزیم جابجایی طبقه و مانگزیم شتاب مطلق با استفاده از شاخص های عملکرد پیوسته زمانی و گسسته زمانی یکسان است. به هر حال مانگزیم نیروی کنترل مورد نیاز با استفاده از شاخص عملکرد گسسته زمانی بزرگتر از شاخص عملکرد پیوسته زمانی است.

چنانچه زلزله تیانجین بعنوان تحريك خارجي در نظر گرفته شود، همان نتایج بدست آمده برای زلزله السنتر و حاصل می شود. تحت زلزله تیانجین مقادیر پاسخ مانگزیم و نیروی کنترل موردنیاز در مقابل تأخیر زمانی برای

در شکل ۶ نشان داده شده است . هماگونه که از شکل ۶ مشاهده می شود ، پایداری سیستم در طول زمان اعمال نیرو تأمین می شود .

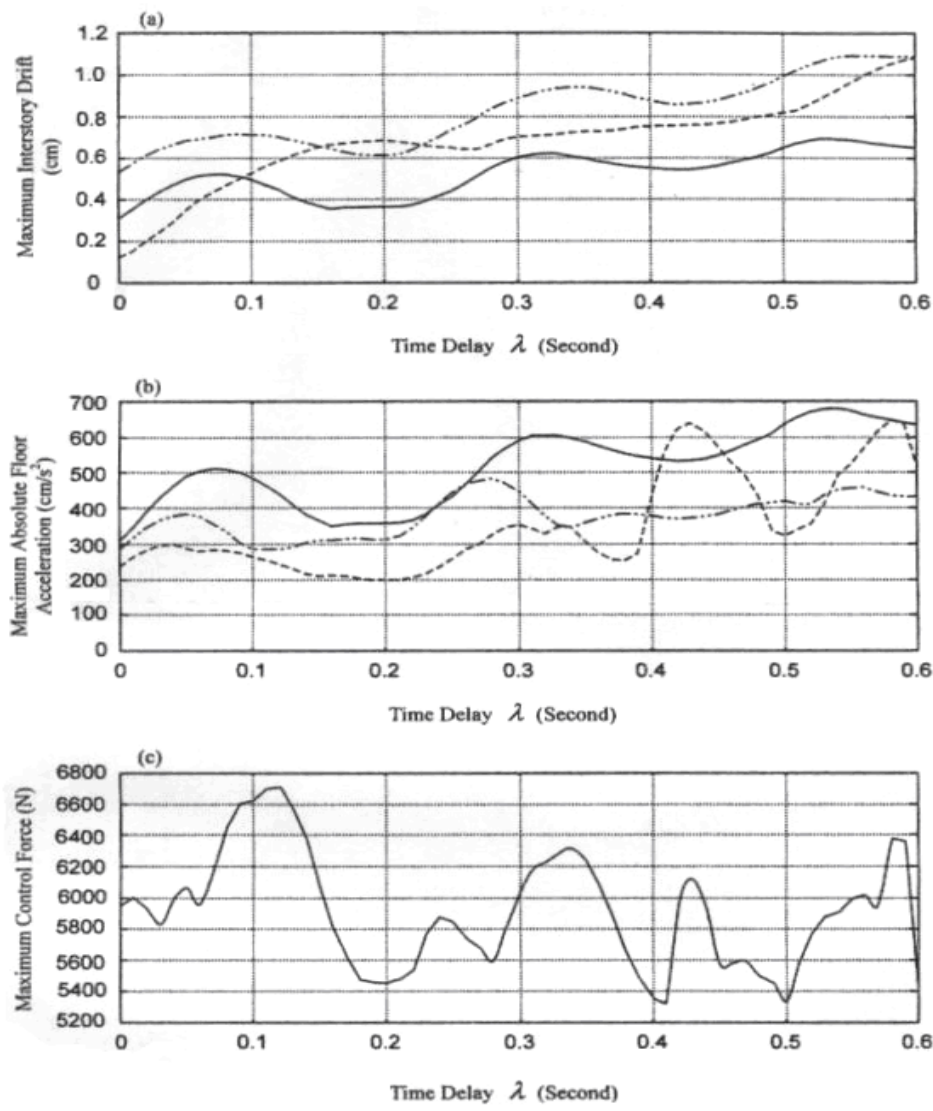


شکل ۵- مقادیر ماگزیم پاسخ ، نیروی کنترل و شتاب طبقات در مقابل تأخیر زمانی در سیستم کنترل و با تأخیر زمانی در کنترل : (a) ماگزیم جابجایی طبقات : طبقه اول ( - - ) ، طبقه دوم ( - . - ) ، طبقه سوم ( - - - ) (b) ماگزیم شتاب کف : طبقه اول ( - - - ) ، طبقه دوم ( - . - - ) ، طبقه سوم ( - - - - ) (c) نیروی کنترل ماگزیم .

جدول ۴ - مقادیر مأگزینم پاسخ تحت زلزلهالسنتروبرای  $T=0.1s$  و  $T=0.3s$  (  $x_i : \text{cm}$  ,  $\ddot{x}_{ai} : \text{cm/s}^2$  )

PI	Story	T=0.1s								T=0.3s							
		DLQR		$\lambda = 0.1s$		$\lambda = 0.3s$		$\lambda = 0.5s$		DLQR		$\lambda = 0.3s$		$\lambda = 0.6s$		$\lambda = 0.9s$	
		$x_i$	$\ddot{x}$	$x_i$	$\ddot{x}$	$x_i$	$\ddot{x}$	$x_i$	$\ddot{x}$	$x_i$	$\ddot{x}$	$x_i$	$\ddot{x}$	$x_i$	$\ddot{x}$	$x_i$	$\ddot{x}$
$J_c$	1	0.43	353	0.50	288	0.76	273	0.88	251	0.59	287	0.55	175	0.55	175	0.85	201
	2	0.58	220	0.44	270	0.60	328	0.71	370	0.53	241	0.52	237	0.51	238	0.60	296
	3	0.43	562	0.43	426	0.56	545	0.48	470	0.29	286	0.30	290	0.29	286	0.37	370
	U	4044N		3901N		4237N		4003N		3538N		2743N		2688N		3025N	
$J_d$	1	0.36	365	0.48	277	0.72	322	0.85	332	0.47	393	0.48	0.43	0.51	204	0.74	361
	2	0.54	190	0.45	268	0.62	311	0.70	338	0.47	356	0.48	0.43	0.52	250	0.57	360
	3	0.66	642	0.44	429	0.62	607	0.57	550	0.20	191	0.21	0.43	0.26	255	0.35	340
	U	4932N		4333N		5064N		4890N		7090N		7143N		3684N		6296N	

از نتایج شبیه سازی فوق می توان نتیجه گرفت که از آنجایی که تأخیر زمانی در سیستمهای کنترل فعال وجود دارد ، از آن می توان جهت بهبود عملکرد کنترل استفاده کرد . از شکل ۵ و ۶ می توان نتیجه گرفت که تأخیر زمانی صحیح می تواند سبب بهبود تأثیر کنترل تحت هزینه کم کنترل شود . مانند حالت  $\lambda=0.2s$  و  $\lambda=0.4s$  . بعلاوه نشان داده شد که تأخیر زمانی می تواند تأثیر کنترل قابل توجه ای در مقایسه با حالتی که تأخیر زمانی وجود نداشته باشد ، ایجاد کند . با این وجود هنوز نیاز به تحقیق بیشتری در این زمینه است .



شکل ۶- مقادیر مانگزیم پاسخ، نیروی کنترل و شتاب طبقات در مقابل تأخیر زمانی در دو حالت بدون تأخیر زمانی در سیستم کنترل و با تأخیر زمانی در کنترل: (a) مانگزیم جابجایی طبقات: طبقه اول (---)، طبقه دوم (- - -)، طبقه سوم (—)؛ (b) مانگزیم شتاب کف: طبقه اول (—)، طبقه دوم (- - -)، طبقه سوم (---)؛ (c) نیروی کنترل مانگزیم.

### نتیجه‌گیری:

روش کنترل بهینه برای سازه‌های خطی تحریک شده توسط زلزله همراه با تأخیرزمانی در کنترل دراین قسمت بررسی شد . کنترل کننده بهینه در دو حالت که تأخیرزمانی ضریبی صحیح از دوره نمونه گیری باشد یا خیر ، طراحی شد . از آنجایی که کنترل کننده بهینه مستقیماً از معادله دیفرانسیلی حرکت سازه محاسبه شد و هیچگونه تقریب‌سازی در محاسبه آن صورت نگرفته است ، پایداری سازه کنترل شده ، تضمین می‌شود . بعلاوه روش برای تأخیرزمانی بزرگ نیز قابل کاربرد است . شاخص عملکرد پیوسته و گسسته زمانی در محاسبات استفاده شد . نتایج عددی نشان داد که روش کنترل ارائه شده پایداری سازه کنترل شده را تضمین می‌کند و همچنین نشان دهنده کاهش قابل توجه در پاسخ مأگزیمم سازه است . زمانی که پرید نمونه گیری کوچک باشد ، تأثیر کنترل با استفاده از شاخص عملکرد پیوسته زمانی مشابه استفاده از شاخص عملکرد گسسته زمانی است . زمانی که پرید نمونه گیری بزرگ باشد ، تأثیر کنترل برای پاسخ مأگزیمم سازه برای هر دو شاخص عملکرد نزدیک است . اما مأگزیمم نیروی کنترل مورد نیاز با استفاده از شاخص عملکرد گسسته زمانی در مقایسه با شاخص عملکرد پیوسته زمانی ، بزرگتر است .

## **۴-۲- جبران اثر تأخیر زمانی با استفاده از مفهوم مکان هندسی ریشه ها :**

### **مقدمه :**

همانگونه که قبلاً اشاره شد به دلیل استفاده از سنسورها و عملگرها ، تأخیرات زمانی در سیستمهای کنترل فعال وارد می شوند . غالباً فکر می شود که تأخیرات زمانی اثر زیانباری برروی پایداری و عملکرد سیستمهای کنترل شده دارند و تلاش زیادی درجهت حذف، جبران ویا بی اثر کردن اثر آنها صورت می گیرد. در این قسمت یک دیدگاه متفاوت را بررسی می کنیم و نشان می دهیم که با وارد کردن هدفمند تأخیرات زمانی در سیستمهای کنترل فعال ، می توان پایداری و عملکرد سیستمهای کنترل را بهبود بخشید . به عبارت دیگر بجای در نظر گرفتن اثرات مخرب تأخیرات زمانی می توانیم از وجود آنها بهره ببریم . مثلاً نشان خواهیم داد که می توان با معرفی صحیح تأخیرات زمانی ، سیستمهای کنترل غیر کالوکت<sup>۱</sup> را که غالباً ناپایدار ناپایدار هستند ، پایدار ساخت . بنابراین از دیدگاه عملی ، تأخیرات زمانی می توانند بعنوان یک روش قابل اعتماد و ارزان برای بهبود عملکرد و پایداری سیستمهای کنترل بکار روند . و زمانی که مسئله ایمنی و اقتصاد سازه های بزرگ ، در معرض زلزله های قوی مطرح باشد ، غیر قابل انکار هستند .

## **۲-۴-۱- مفهوم تابع تبدیل سیستمهای خطی :**

تابع تبدیل<sup>۲</sup> (تابع انتقال) یک سیستم خطی بصورت نسبت متغیر خروجی در فرم لاپلاس به متغیر ورودی به فرم لاپلاس تعریف می شود . تابع تبدیل یک سیستم یا یک عنصر رابطه ای است که دینامیک سیستم تحت بررسی را توصیف می کند . تابع تبدیل ممکن است فقط برای یک سیستم خطی، ایستا (پارامتر ثابت) تعریف شود . بعلاوه یک تابع تبدیل ، توصیفی از رفتار ورودی- خروجی یک سیستم است . بنابراین توصیف تابع

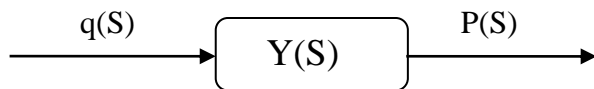
---

1- Non collocated

2- Transfer Function

تبديل هیچگونه اطلاعاتی در مورد ساختار درونی سیستم و رفتار آن ارائه نمی‌کند . تابع تبدیل یک سیستم را می‌توان بفرم زیر نمایش داد :

$$Y(S) = \frac{P(S)}{q(s)}$$



شکل ۱-۴- نمایش تابع تبدیل

وقتی چندجمله‌ای مخرج ،  $q(S)$  ، را برابر صفر قرار دهیم ، آن را معادله مشخصه می‌گویند . زیرا ریشه‌های این معادله مشخصه ، پاسخ زمانی سیستم را معین می‌نماید . ریشه‌های معادله مشخصه را قطب‌های سیستم نیز می‌گویند . همچنین ریشه‌های چندجمله‌ای صورت را صفرهای سیستم می‌خوانند . قطب‌ها و صفرهای فرکانس‌های بحرانی هستند .

## ۲-۴-۲- مفهوم ثبات سیستم‌های پسخورده

یک سیستم با ثبات بصورت سیستمی با پاسخ محدود تعریف می‌شود . یعنی اگر سیستمی مرتبط به یک ورودی محدود یا ورودی مزاحم محدودی گردد و پاسخ نیز از لحاظ اندازه محدود باشد در اینصورت سیستم با ثبات است . بنابراین یک سیستم با ثبات ، سیستمی دینامیکی با پاسخی محدود به یک ورودی است .

مفهوم ثبات را می‌توان با قرار دادن یک مخروط روی یک سطح افقی تشریح کرد . اگر مخروط روی قاعده‌اش قرار گیرد و ضربه کوچکی به آن وارد شود ، دوباره به حالت تعادل اولیه‌اش بازمی‌گردد . اگر مخروط روی ضلعش

قرارگیرد و کمی جابجا شود ، بدون آنکه نسبت به مکان توجه کند ، غلت می خورد . این وضعیت با ثبات را بی تفاوت می نامند . از طرف دیگر ، اگر مخروط روی نوکش قرار گرفته ورها شود ، روی ضلعش می افتد . به این وضعیت ، وضعیت بی ثبات می گوییم .

در سیستم های خطی نیازهای ثبات ممکن است بر حسب مکان قطب های تابع تبدیل حلقه بسته تعریف شود .

تابع تبدیل سیستم حلقه بسته به صورت زیر نوشته می شود :

$$T(s) = \frac{P(s)}{q(s)} = \frac{K \prod_{i=0}^M (s + z_i)}{s^N \prod_{K=1}^Q (s + \sigma_K) \prod_{m=1}^R [s^2 + 2\alpha_m s + (\alpha_m^2 + \alpha_m^2)]}$$

که در آن  $q(s) = \Delta t = 0$  معادله مشخصه ای است که ریشه هایش ، قطب های سیستم حلقه بسته است . پاسخ خروجی برای یک ورودی ضربه وقتی  $N=0$  باشد برابراست با :

$$y(t) = \sum_{k=1}^Q A_k e^{-\sigma_k t} + \sum_{m=1}^R B_m \left( \frac{1}{w_m} \right) e^{-\alpha_m t} \sin(w_n t + \theta_m)$$

که  $A_k$  و  $B_m$  ثابت هایی هستند که به  $\sigma_m$  ،  $\alpha_k$  ،  $k$  ،  $z_i$  ،  $w_m$  بستگی دارند . برای بدست آوردن یک پاسخ محدود ، ریشه های سیستم حلقه بسته باید در سمت چپ صفحه  $S$  قرار گیرند . بنابراین شرط لازم و کافی برای ثبات یک سیستم پسخور دی این است که قطب های تابع تبدیل سیستم دارای مقدار حقیقی منفی باشند . بنابراین هرگاه سیستم دارای قطب های سمت چپ نباشد ، گوییم سیستم بی ثبات است .

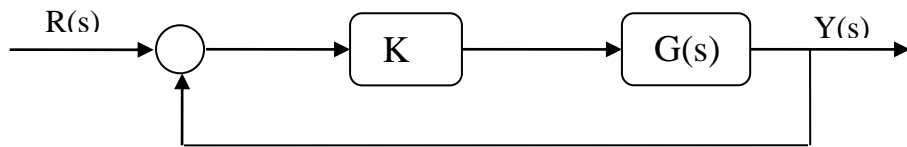
### ۲-۳-۴- مفهوم مکان هندسی ریشه ها :

همانطور که اشاره شد ، رفتار دینامیکی یک سیستم کنترل حلقه- بسته با تابع تبدیل حلقه- بسته توصیف می شود :

$$T(S) = \frac{Y(S)}{R(S)} = \frac{P(S)}{q(s)}$$

که  $q(s)$  و  $p(s)$  چندجمله ای هایی از  $s$  هستند و ریشه های معادله مشخصه  $q(s)$  نوع پاسخ سیستم را معین می کنند . برای سیستم تک حلقه ساده شکل زیر ، معادله مشخصه زیر را داریم :

$$1 + K^* G(s) = 0$$



شکل ۲-۴- سیستم کنترل حلقه بسته با یک پارامتر متغیر  $K$

که در رابطه فوق  $K$  یک پارامتر متغیر است و  $G(s)$  تابع انتقال سیستم است .

مکان هندسی ریشه ها مسیری است از ریشه های معادله مشخصه در صفحه  $s$  که درازای تغییر یک پارامتر سیستم ( بهره ) ترسیم می شود .

همانگونه که اشاره شد رفتار یک سیستم پسخورده برحسب مکان هندسی ریشه های معادله مشخصه در صفحه  $S$  قابل توصیف است . بعبارت بهتر پاسخ یک سیستم پسخورده حلقه بسته را بالانتخاب مناسب یک یا چند پارامتر می توان طوری تنظیم کرد تا به یک رفتار مطلوب دست یافت .

گراف مکان هندسی ریشه ها که از تغییر یک پارامتر سیستم بدست می آید را نمودار مکان هندسی ریشه ها می گویند .

ثبات نسبی و رفتار گذراي يك سیستم کنترل حلقه بسته مستقيماً به مکان هندسی ريشه های حلقه بسته معادله مشخصه در صفحه  $S$  مرتبط است . اغلب لازم است يك يا چند پارامتر سیستم را تنظیم کنیم تا مکان هندسی ريشه مناسبی حاصل شود . بنابراین مفید است مکان هندسی ريشه ها را در صفحه  $S$  در ازای تغییر يك پارامتر ترسیم کنیم .

روش مکان هندسی ريشه ها اطلاعاتی گرافیکی فراهم می کند و بنابراین يك ترسیم تقریبی را برای تهییه اطلاعات در مورد ثبات و رفتار سیستم انجام می دهد . اگر مکان هندسی ريشه ها رضایت بخش نباشد ، تنظیم های لازم برای پارامتر به راحتی در مکان هندسی ريشه ها امکان پذیر است .

#### مراحل ترسیم مکان هندسی ريشه ها با کمک مطلب :

برای این کار مراحل زیر را طی می کنیم :

۱- معادله مشخصه را به فرم معادله زیر می نویسیم . که در آن  $k$  پارامتر موردنظر است .

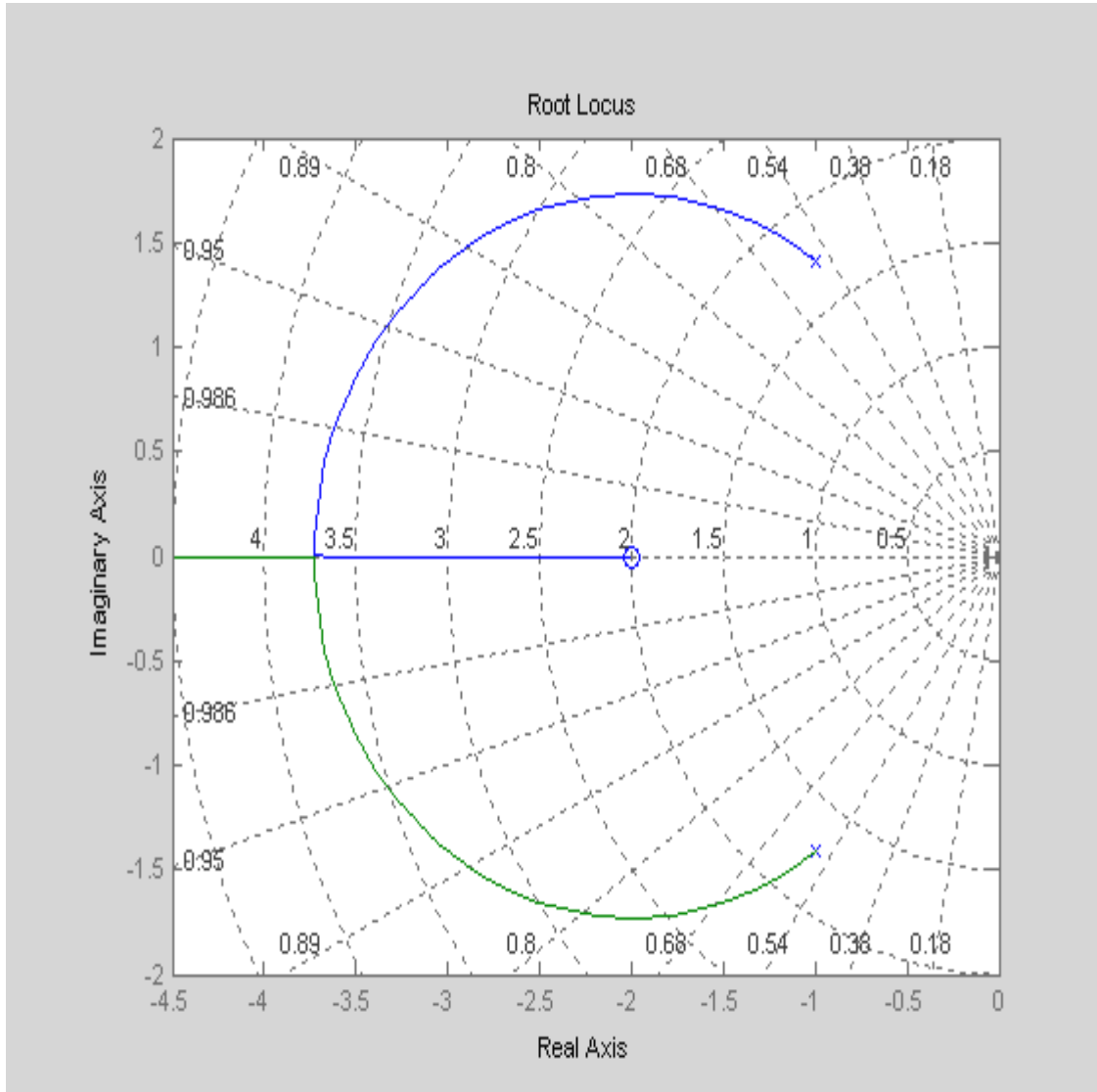
$$1+K^*G(s)=0$$

۲- از تابع `rlocus` برنامه مطلب برای تولید نمودار مورد نظر استفاده می کنیم .

مثال : نمودار مکان هندسی ريشه های معادله زیر را ترسیم کنید .

$$1+K \frac{S+2}{S^2+2S+3} = 0$$

در شکل (۴-۳) نمودار فوق رسم شده است .



شکل ۴-۳- نمودار مکان هندسی قطب‌های حلقه-بسته

#### ۲-۴-۴- جبران اثر تأخیرزمانی با استفاده از مفهوم مکان هندسی ریشه‌ها :

در این حالت تأخیرزمانی بصورت تأخیر ورودی - خروجی یک سیستم فرضی نشان داده می‌شود. تابع انتقال چنین سیستمی  $\exp(-sT)$  است. که پارامتر  $T$  تأخیر زمانی است. سپس سیستم فرضی فوق به سیستم سازه‌ای اضافه شده و مکان هندسی ریشه‌های معادله جدید ترسیم می‌شود. بنابراین می‌توانیم معادله مشخصه زیر را بنویسیم :

$$1+K * \exp(-sT) * G(s) = 0$$

تابع انتقال  $\exp(-sT)$  را در فرم یکتابع جبری مناسب بصورت زیر بسط می‌دهیم :

$$e^{-ST} = \frac{1 - \frac{T}{2}S}{1 + \frac{T}{2}S} \rightarrow e^{-ST} = \frac{2 - TS}{2 + TS}$$
$$1 + K * \frac{2 - TS}{2 + TS} * G(S) = 0$$

اکنون می‌توان با معرفی یک تأخیرزمانی در سیستم کنترل و ترسیم نمودار مکان هندسی ریشه‌ها ثبات سیستم را بررسی کرد.

## ۲-۴-۵- سیستمهای سازه‌ای میراشه کلاسیک :

همانگونه که قبلاً اشاره شد معادله دینامیکی یک سیستم سازه‌ای میراشه کلاسیک خطی را می‌توان

تصویر نوشت :

$$M\ddot{x}(t) + C\dot{x}(t) + Kx(t) = g(t) \quad \text{و} \quad \dot{x}(0) = 0 \quad x(0) = 0 \quad (1)$$

که در معادله فوق  $M$  و  $C$  و  $K$  بترتیب ماتریسهای جرم، استهلاک و سختی است. تابع نیرو بوسیله بردار  $n$  بعدی  $g(t)$  داده شده است.

از آنجایی که سیستم میراشه کلاسیک است، می‌توان آنرا بفرم سیستم قطری تبدیل کرد:

$$\ddot{Z}(t) + \Xi \dot{Z}(t) + \Lambda Z(t) = T^T M^{-1/2} g(t) \quad \text{و} \quad \dot{Z}(0) = 0 \quad Z(0) = 0$$

که در معادله فوق داریم:

$$\Xi = \text{diag}(2\xi_1, 2\xi_2, \dots, 2\xi_n) \quad \text{و} \quad \Lambda = \text{diag}(\lambda_1^2, \lambda_2^2, \dots, \lambda_n^2)$$

وماتریس  $T = [t_{ij}]$  ماتریس متعامد بردارهای ویژه  $M^{-1/2} K M^{-1/2}$  است. اگر از طرفین معادله تبدیل

$$\tilde{x}(s) = M^{-1/2} T \Theta T^T M^{-1/2} \tilde{g}(s) \quad \text{لایاس گرفته شود:}$$

که در معادله فوق داریم:

$$\Theta = \text{diag}((s^2 + 2\xi_1 s + \lambda_1^2)^{-1}, (s^2 + 2\xi_2 s + \lambda_2^2)^{-1}, \dots, (s^2 + 2\xi_n s + \lambda_n^2)^{-1})$$

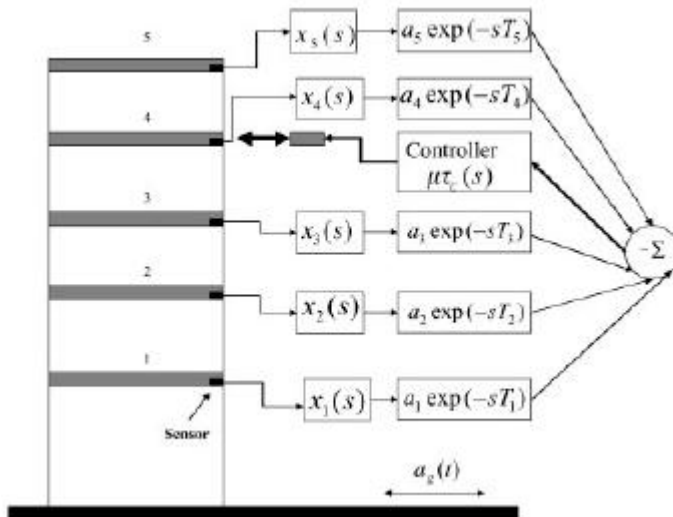
کنترل برگشت‌پذیر از یک ترکیب خطی از  $p$  پاسخ  $x_{sk}(t)$  و  $p = 1, 2, \dots$  تغذیه می‌شود. که پاسخ‌ها

دارای تأخیرزمانی  $T_{sk}$  هستند. عملگر یک نیرو به سازه وارد می‌کند که تحت تأثیر  $j$  معادله، معادله (۱)

است. اگر  $\{s_k : k = 1, 2, \dots, p\} \in \{s_k : k = 1, 2, \dots, p\}$  سنسور و عملگر کالوکتد هستند. و اگر

سنسور و عملگر غیرکالوکتد هستند. سیستم کنترل بکار رفته برای یک ساختمان برشی در شکل (۴-۴)

نشان داده شده است. اکنون می‌توان با ترسیم نمودار مکان هندسی ریشه قطبی‌های حلقه-بسته پایداری



شکل ۴-۴- سازه باقاببرشی و سیستم کنترل

سیستم را بررسی کرد.

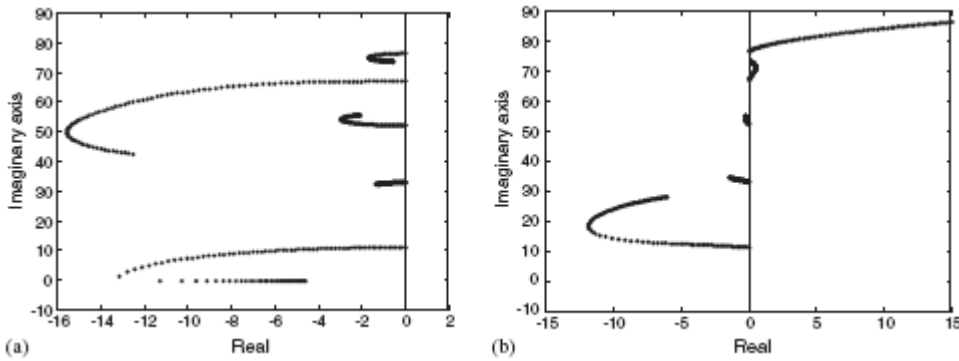
مثال ۱ :

نتایج عددی برای سازه برشی پنج درجه آزادی نشان داده شده در شکل (۴-۴) بررسی می‌شود. جرم و سختی هر طبقه بترتیب ۱ و ۱۶۰۰ (در واحد SI) فرض می‌شوند.

در قسمت اول مثال کنترل کالوکتد با و بدون تأخیرزمانی بررسی می‌شود. کنترل کننده و سنسور در طبقه چهارم کالوکتد هستند. شکل (۴-۵-a) مکان هندسی ریشه‌هارا بدون تأخیرزمانی نشان می‌دهد. ( $T_4=0$ )

همانطور که انتظار می‌رود از آنجایی که قطب‌های تابع تبدیل دارای قسمت حقیقی منفی هستند، سیستم پایدار است. شکل (۴-۵-b) مکان هندسی ریشه قطب‌های حلقه-بسته با تأخیرزمانی ( $T_4=0.025$ ) را نشان می‌دهد. همانگونه که مشاهده می‌شود معرفی یک تأخیرزمانی کوچک باعث ناپایداری سیستم شده است.

در قسمت دوم این مثال، کنترل غیرکالوکتد سازه با و بدون تأخیرزمانی بررسی می‌شود. عملگر در

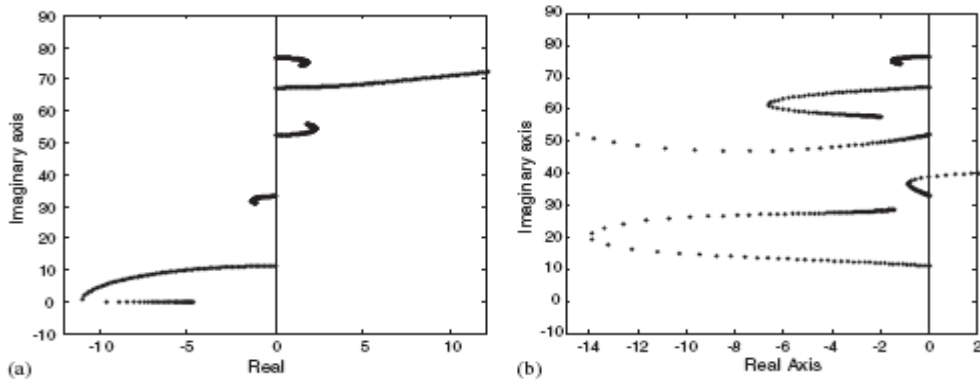


شکل ۴-۵- مکان هندسی ریشه قطب‌های حلقه‌بسته برای کنترل کالوکتد با و بدون تأخیرزمانی با

$$T_4=0.025s \text{ (b), } T_4=0s \text{ (a), } J=4, s_1=4$$

طبقه چهارم قرار گرفته است و از سیگنال سرعت از طبقه پنجم تغذیه می‌شود . شکل (۴-۶-a) مکان هندسی ریشه سیستم حلقه-بسته بدون تأخیر زمانی ( $T_5=0$ ) و ( $J=4, S_1=5$ ) را نشان می‌دهد . همانگونه که مشاهده می‌شود از آنجایی که قطب‌هایی در سمت راست پلان وجود دارد ، سیستم ناپایدار است . اما همانگونه که از شکل (۴-۶-b) مشاهده می‌شود معرفی یک تأخیرزمانی کوچک از قبیل  $T_5=0.04$  باعث شده که قطب‌های حلقه-بسته در سمت چپ نمودار مکان هندسی ریشه‌ها قرار گیرند و سبب پایداری بهتر سیستم می‌شود . نتایج در شکل (۴-۶-b) نشان داده شده است . این مثال نشان می‌دهد که با معرفی مناسب تأخیرزمانی امکان پایداری یک سیستم که بدون تأخیرزمانی ناپایدار است ، وجود دارد .

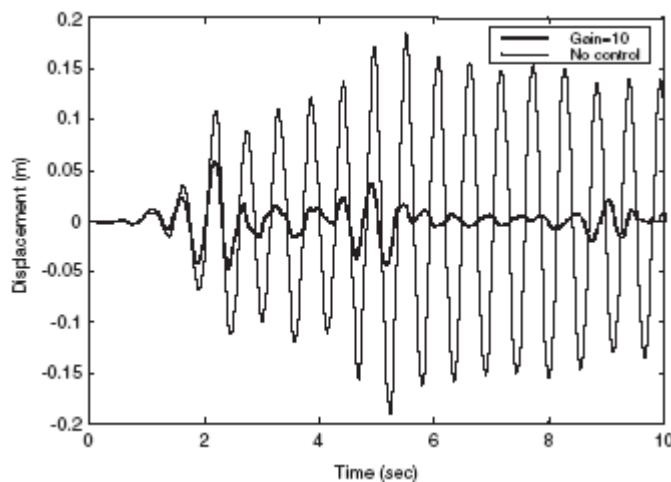
شکل (۷-۴) تاریخچه زمانی جابجایی جرم پنجم نسبت به پایه را تحت زلزله امپریال سال ۱۹۴۰ نشان می‌دهد . پاسخ‌سازه بصورت عددی با استفاده از روش رانگ کوتا مرتبه چهارم محاسبه شده است . تاریخچه زمانی پاسخ برای ۱۰ ثانیه اول محاسبه شده است . پاسخ برای سیستم بدون کنترل (بهره برابر صفر) و بهره برابر ۱۰ واحد با استفاده از کنترل سرعت غیرکالوکتد با  $T_5=0.04$  s ،  $J=4$  ،  $s_1=5$  نشان داده شده است .



شکل ۶-۶- مکان هندسی ریشه قطبی های حلقه سسته برای کنترل غیر کالوکتد با و بدون تأخیر زمانی با

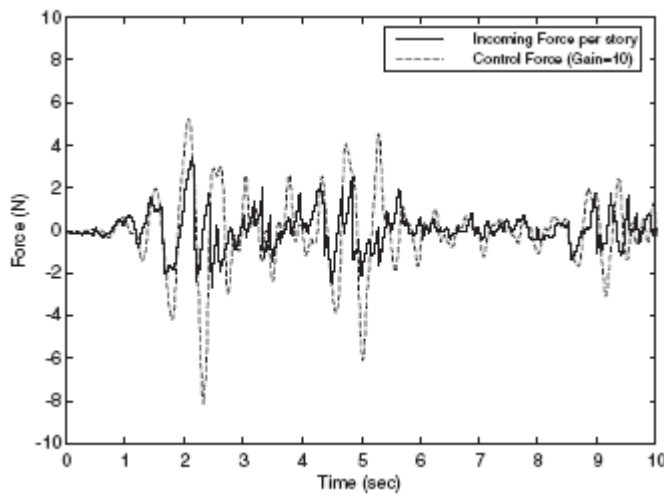
$$T_5=0.04 \text{ s} \quad (b), \quad T_5=0 \text{ s} \quad (a), \quad J=4, \quad s_1=5$$

شکل (۷-۴) نشان می دهد که با استفاده از تأخیر زمانی برگشتی سرعت، جابجایی جرم پنجم بسیار کمتر از جابجایی جرم ، زمانی که کنترل استفاده نشود ، می باشد .



شکل ۷-۴- جابجایی نسبی جرم ۵ برای کنترل غیر کالوکتد سرعت ( $T_5=0.04 \text{ s}$  ،  $J=4$  ،  $s_1=5$ )

شکل (۸-۴) تاریخچه زمانی نیروی واردہ به طبقه و نیروی کنترل مورد نیاز برای بهره کنترل ۱۰ واحد را نشان می‌دهد . برای توصیف توانایی سیستم ، نتایج عددی حساسیت قطب‌های سیستم حلقه بسته به تغییرات جرم ، سختی و تأخیرزمانی در قسمت بعد ارائه می‌شود .

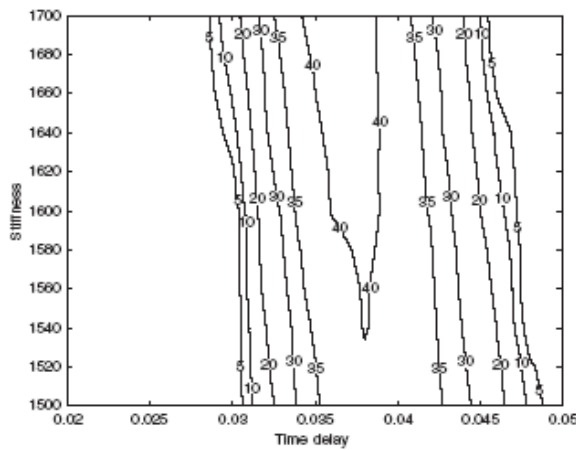


شکل ۸-۴- تاریخچه زمانی نیروی کنترل و نیروی اعمال شده به طبقه ( $T_5=0.04$  s ,  $J=4$  ,  $s_1=5$ )

#### حساسیت و پایداری به پراکندگی پارامترها :

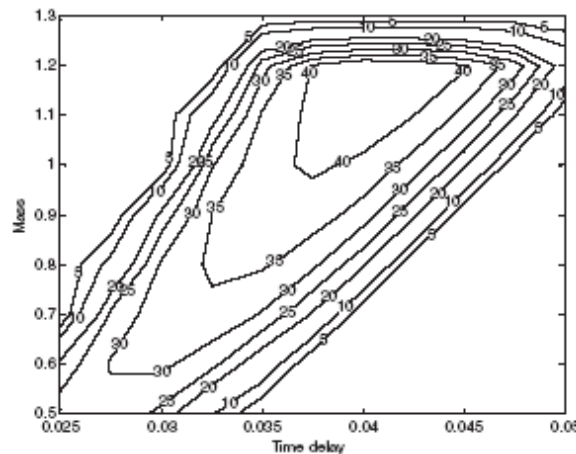
همواره نوعی عدم قطعیت در مورد مقادیر صحیح پارامترهای سیستم وجود دارد . عدم قطعیت ممکن ناشی از عدم توانائی در اندازه‌گیری صحیح پارامترهای سیستم باشد . همچنین ممکن است ناشی از تغییرات پارامترهای سیستم بدلیل خستگی و غیره باشد . تغییر در پارامترهای سیستم منجر به تغییر در قطب‌های حلقه بسته می‌شود . که آن نیز به نوبه خود منجر به تغییر در عملکرد سیستم می‌شود . بعلاوه نشان داده شده است که با معرفی هدفمند تأخیرات زمانی در سیستمهای کنترل غیرکالوکتد ، می‌توان سبب پایداری آنها شد . بنابراین ارزیابی حساسیت چنین تکنیک کنترل به عدم قطعیت در تأخیرات زمانی مهم است .

این حساسیتها برای سازه ساختمانی با قاب برشی نشان داده شده در شکل (۴-۴) بررسی می شود . نتایج کنترل غیر کالوکت ، که عملگر در طبقه چهارم نصب شده و از سنسور در طبقه پنجم تغذیه می شود ، بررسی می شود . با تغییر پارامترهای سختی ( یاجرم ) و تأخیر زمانی ، تغییرات مانگزیم بهره برای پایداری سیستم بدست می آید . بهره مانگزیم برای پایداری بصورت عددی محاسبه شده ، و بزرگترین بهره های است که پایداری سیستم حلقه بسته را تضمین می کند . نتایج توسط نمودار در شکل (۹-۴) ارائه شده است .



شکل ۹-۴ - حساسیت بهره مانگزیم برای پایداری به تغییرات در سختی و تأخیر زمانی

در شکل (۹-۴) سختی و تأخیر زمانی متغیر هستند و جرم ( ۱ واحد SI ) ثابت است . حساسیت به تغییرات



شکل ۹-۵ - حساسیت بهره مانگزیم برای پایداری به تغییرات در جرم و تأخیر زمانی و سختی برابر ۱۶۰۰

جرم و تأخیرزمانی در شکل (۱۰-۴) نشان داده شده است . سختی دارای مقدار ثابت ۱۶۰۰ واحد است . هردو شکل یک وابستگی پیوسته بهره ماگزینم برای پایداری بروی انتخاب پارامترها را نشان می دهند . شکلها(۱۰-۹-۴) نشان می دهند که کنترل غیرکالوکت د پایدار با انتخاب مناسب تأخیرات زمانی حتی در صورت وجود عدم قطعیت در پارامترهای مدل ، امکان پذیر است .

### نتیجه گیری :

در این قسمت کنترل تأخیر زمانی سیستمهای سازه‌ای را از دیدگاهی متفاوت بررسی کردیم. نشان داده شد که معرفی هدفمند تأخیرات زمانی می‌تواند پایداری و عملکرد سیستمهای کنترل شده را بهبود بخشد . ترجیحاً بجای تلاش برای تشکیل طرحهای پیچیده برای حذف ، جبران و یا بی اثر کردن تأخیرات زمانی، می‌توانیم از وجود آنها بهره ببریم . و دارای مزایای خوبی هستند . این موضوع ، از آن جهت که تأخیرات زمانی در سیستمهای کنترل وارد می‌شوند ، بسیار مهم است. بعلاوه نشان داده شد که چنین الگوریتم کنترلی نسبت به عدم قطعیت در پارامترهای مدل و عدم قطعیت در بکاربردن خود تأخیرزمانی بسیار پایدار است .

نتایج برای سیستمهای کنترل میراشده کلاسیک بررسی شد و نشان داده شد که با اعمال محدودیتهایی بر روی قطبهای سیستم حلقه- بسته و با انتقال آنها به سمت چپ نمودار مکان هندسی ریشه ، امکان پایداری سیستمهای کنترل حلقه- بسته وجود دارد . همچنین نشان داده شد که کنترل غیرکالوکت د که در غیاب تأخیر زمانی ناپایدار است ، را می‌توان با معرفی مناسب تأخیرات زمانی ، پایدار ساخت . همچنین نتایج نشان دهنده آنست که حتی تحت پراکندگی قابل توجه پارامترهای سیستم ، سیستم پایدار باقی می‌ماند .

بنابراین با وارد کردن هدفمند تأخیرات زمانی کوچک ، امکان بهبود پایداری و عملکرد سیستمهای کنترل وجود دارد . بنابراین روش ارائه شده ، می‌تواند به عنوان یک روش ارزان ، قابل اعتماد و ساده برای بهبود

عملکرد سیستم‌های کنترل نصب شده قبلی ، بکار رود . بنابراین پایداری و عملکرد سیستم‌های کنترل فعال که قبلاً در سازه‌های ساختمانی نصب شده‌اند ، را می‌توان با وارد کردن تأخیرات زمانی در حلقه برگشت‌پذیر بهبود بخشد . این کار ، روش فوق را از نظر ایمنی و اقتصادی برای سیستم‌های سازه‌ای در معرض زلزله‌های قوی بسیار جذاب می‌سازد .

## ۲-۵ - جبران اثر تأخیرزمانی با روش اسمیت<sup>۱</sup>

در این قسمت یک روش بسیار مؤثر برای جبران اثر تأخیرزمانی ارائه می‌شود و عملکرد آن برای کنترل فعال سازه‌های مهندسی عمران بررسی می‌شود.

فرمول سازی مسئله:

همانطور که اشاره شد معادله حرکتیک سیستم  $n$  درجه آزادی که در معرض شتاب افقی زمین  $\ddot{x}$  قرار دارد، را می‌توان بصورت زیر نوشت:

$$M\ddot{X}(t) + C\dot{X}(t) + KX(t) = HV(t) + \xi\ddot{x}_0(t) \quad (1-5-2)$$

در معادله فوق بردار  $X(t)$  بعدی شامل جابجایی طبقات است. ماتریسهای  $K$  و  $C$  و  $M$  بترتیب ماتریسهای سختی، استهلاک و جرم سازه هستند. بردار  $V(t)$ ، بردار بعدی نیروهای کنترل وارد بر سازه و ماتریس  $H$ ، بیان‌کننده موقعیت کنترل‌کننده و  $\ddot{x}_0(t)$  تحریک زلزله است. در فضای حالت معادله (1-5-2) را می‌توان بصورت زیر نوشت:

$$\dot{Z}(t) = AZ(t) + BV(t) + E(t) \quad \text{و} \quad Z(0) = Z_0 \quad (2-5-2)$$

$$Z(t) = [X(t) \quad \dot{X}(t)]^T$$

$$A = \begin{bmatrix} 0 & I \\ -M^{-1}K & -M^{-1}C \end{bmatrix} \quad \text{و} \quad B = \begin{bmatrix} 0 \\ -M^{-1}H \end{bmatrix} \quad \text{و} \quad E(t) = \begin{bmatrix} 0 \\ M^{-1}\xi\ddot{x}_0(t) \end{bmatrix}$$

که در معادله فوق  $Z(t)$  بردار حالت  $n$  بعدی حالت‌سازه است.

برای معادله سیستم فوق، بردار خروجی  $y(t)$  را می‌توان بصورت زیر تعریف کرد:

$$y(t) = C^*Z(t) \quad (3-5-2)$$

در معادله فوق ماتریس  $(C_{m*2n})$ ، ماتریس رویت‌پذیری است و  $m$  تعداد سنسورها است.

1-Smith's predictor Compensation Method

در کنترل سازه، یک نیروی کنترل ایدهآل  $U(t)$  برای محاسبه نیروی کنترل بر اساس خروجی اندازه‌گیری شده محاسبه می‌شود. به هر حال به دلیل اثر تأخیر زمانی نیروی کنترل واقعی  $V(t)$  وارد بر سازه ممکن است از نیروی کنترل ایدهآل متفاوت باشد. اکنون یک کنترلر برگشت‌پذیر خطی ایدهآل را بصورت زیر در نظر می‌گیریم:

$$U(t) = -G^*y(t) \quad (4-5-2)$$

در عمل سیستم دینامیکی وابسته به یک تأخیر زمانی  $\beta$  است. بنابراین نیروی کنترل  $(V(t))$  وارد بر سازه در زمان  $t$  از نیروی کنترل ایدهآل به دلیل تأخیر زمانی متفاوت است:

$$V(t) = U(t-\beta) = -G^*y(t-\beta) \quad (5-5-2)$$

اگر کنترل غیرهمزان فوق بکار رود، پایداری سیستم حلقه بسته در معادله (2-5-2) تضمین نمی‌شود و پایداری سازه کنترل شده ممکن است به یک سطح غیرقابل قبول کاهش یابد. در این قسمت یک روش دیگر جبران تأخیر زمانی برای سیستم با معادله حالت (2-5-2) ارائه می‌شود.

اسمیت با مقایسه توابع انتقال سیستمهای حلقه بسته با تأخیر زمانی و بدون تأخیر زمانی، یک روش جدید جبران تأخیر زمانی ارائه کرد که به روش پیش‌بینی اسمیت معروف است.

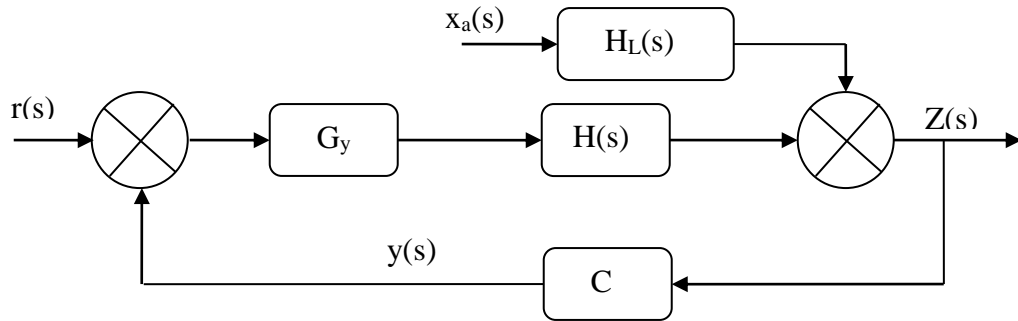
برای سیستم در معادله (2-5-2) با  $V(t) = U(t-\beta)$ ، تابع انتقال را می‌توان بصورت زیر نوشت:

$$y(s)/U(s) = H_p(s) = CH(S)Be^{-S\beta} \quad \text{و} \quad H(S) = (SI - A)^{+1}$$

برای سیستم ایدهآل یعنی  $\beta = 0$  نمودار برای سیستم حلقه بسته در شکل (1) نشان داده شده است. که در آن  $x_a(s)$  و  $r(s)$  بترتیب تبدیل لاپلاس ورودی و شتاب زمین هستند و  $H_L(s) = H(s)*E$ .

تابع تبدیل حلقه بسته از نمودار شکل (1) برای سیستم کنترل بدون آشفتگی  $x_a(s)$  را می‌توان بصورت زیر نوشت:

$$M(S) = y(S)/r(S) = [I + CH(S)G]^{-1}CH(S)G \quad (6-5-2)$$



شکل ۱- بلوک دیاگرام حلقه - بسته‌ایده‌آل

اکنون فرض کنیم که یک جبران‌کننده  $\bar{G}(S)$  طوری طراحی شود که ، برای سیستم تأخیرزمانی

$$U(S) = \bar{G}(S)y(S)e^{-S\beta} \quad (7-5-2)$$

تابع تبدیل حلقه‌بسته برای سیستم تأخیرزمانی با جبران‌کننده  $(S)$  رامی‌توان بصورت زیر نوشت :

$$M^*(S) = [I + CH(S)\bar{G}e^{-S\beta}]^{-1}CH(S)\bar{G}e^{-S\beta} \quad (8-5-2)$$

.  $M^*(S) = M(S)e^{-S\beta}$  طوری طراحی می‌شود که :

نشان‌دهنده‌آنست که تأخیر خروجی  $y(t-\beta)$  همان خروجی  $y(t)$  سیستم‌ایده‌آل  $M(s)$  (بدون آشفتگی

$x_a(s)$ ) با یک انتقال زمانی  $(\beta)$  است . با تساوی معادله  $M^*(s) = M(s)e^{-S\beta}$  با معادله  $M^*(s) = [I + GCH(S)\{I - e^{-S\beta}\}]^{-1}G$  بدست می‌آید :

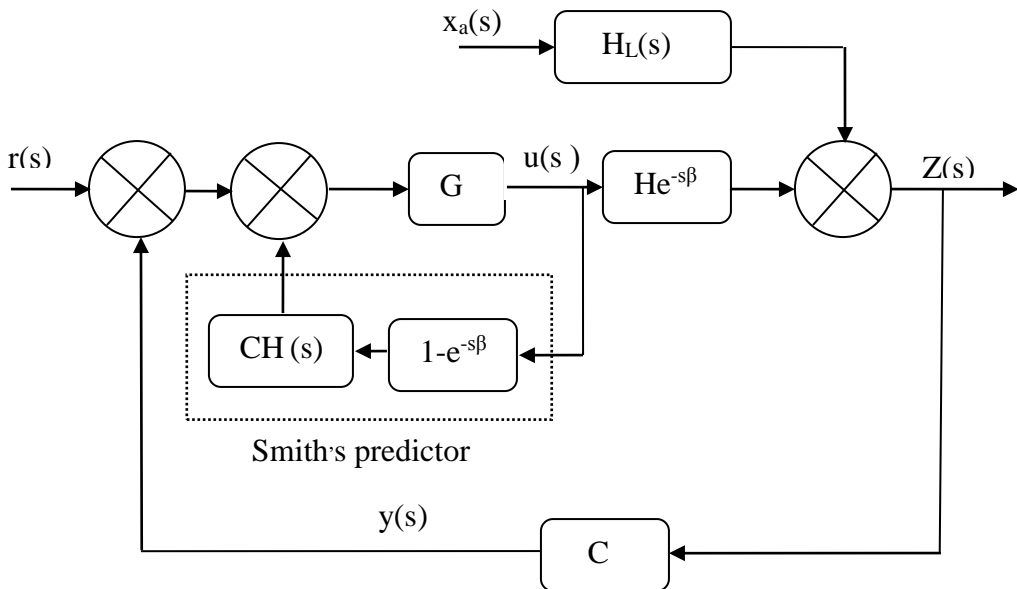
$$\bar{G}(S) = [I + GCH(S)\{I - e^{-S\beta}\}]^{-1}G \quad (9-5-2)$$

بيان فیزیکی جبران‌کننده در معادله (9-5-2) در شکل (۲) نشان داده شده است . از معادله (9-5-2) و

شکل (۲) مشاهده می‌شود که کاربرد جبران‌کننده تأخیری  $\bar{G}(S)$  نیاز به جبران‌کننده بدون تأخیر  $G$  ، مدل

سازه  $H(s)$  و تأخیرزمانی  $\beta$  دارد . به عنوان یک نتیجه عملکرد پیش‌بینی‌اسمیت ، ممکن است در صورت وجود

عدم قطعیت در  $H(s)$  و  $\beta$  تحت تاثیر نامطلوب قرار گیرد .



شکل ۲- بلوک دیاگرام سازه باکنترل کننده تأخیری و پیش‌بینی اسمیت

برای سازه‌های مهندسی عمران که ذاتاً پایدار هستند، توانائی قبولی آشفتگی پیش‌بینی اسمیت رامی‌توان از طریق تابع انتقال بین خروجی  $y(s)$  و شتاب زلزله  $x_a(s)$  در شکل‌های (۱) و (۲) بررسی کرد.

برای سیستم ایده‌آل در شکل (۱)، تابع انتقال  $y(s)/x_a(s)$  بصورت زیر بدست می‌آید:

$$y(s)/x_a(s) = [I + CH(s)G]^{-1} CH_L(s) \quad (10-5-2)$$

همچنین تابع انتقال  $y(s)/x_a(s)$  برای سیستم تأخیرزمانی با پیش‌بینی اسمیت در شکل (۲) بصورت زیر بدست می‌آید:

$$y(s)/x_a(s) = [I + CH(s)G]^{-1} [I + CH(s)G - CH(s)Ge^{-s\beta}] CH_L(s) \quad (11-5-2)$$

وقتی  $\beta = 0$ ، تابع انتقال در معادله (۱۰-۵-۲) مشابه معادله (۱۱-۵-۲) برای سیستم ایده‌آل است. بعلاوه زمانی که تأخیرزمانی  $\beta$  بسیار کوچک است، بزرگی معادله (۱۱-۵-۲) کاملاً نزدیک به معادله (۱۰-۵-۲) است.

به هر حال همانگونه که تأخیر زمانی افزایش می‌یابد، بزرگی معادله (۱۱-۵-۲) بسیار متفاوت از معادله (۱۰-۵-۲) می‌شود و عملکرد پیش‌بینی اسمیت کاهش می‌یابد.

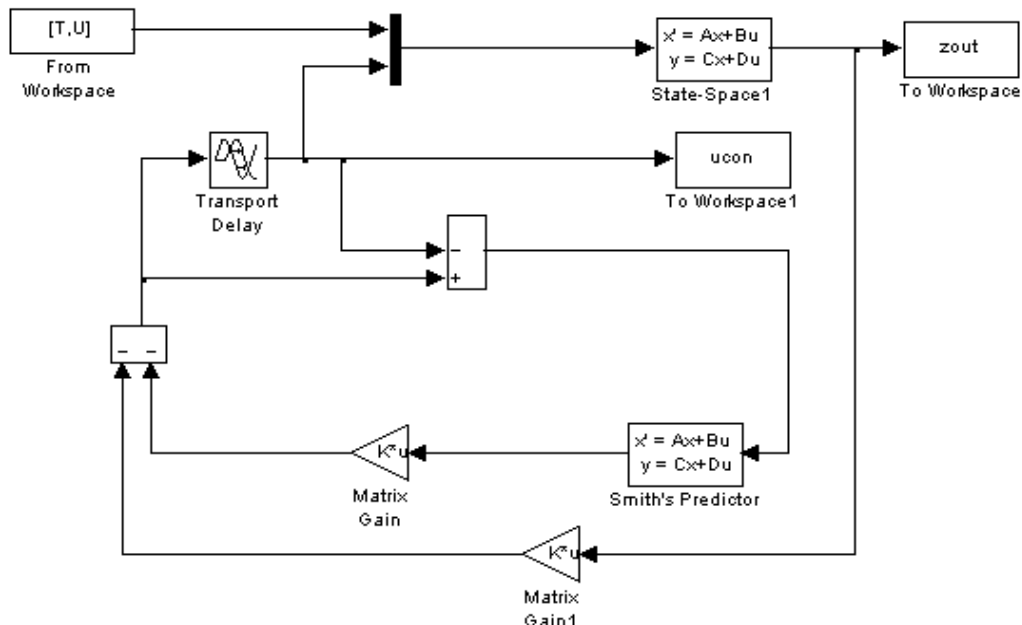
از معادله‌های (۱۰-۵-۲) و (۱۱-۵-۲) مشاهده می‌شود که معادله مشخصه سیستم تأخیر زمانی با پیش‌بینی اسمیت مشابه سیستم ایده‌آل است. یعنی:

$$|I + CH(s)G| = 0$$

بنابراین پایداری سازه با استفاده از پیش‌بینی اسمیت همیشه تضمین می‌شود. از شکل (۲) مشخص است که پیش‌بینی اسمیت می‌تواند در حوزه زمان بعنوان جبران‌کننده خروجی دینامیکی بکار رود:

$$\dot{P}(t) = AP(t) + \{U(t) - U(t-\beta)\} \quad \text{و} \quad U(t) = -Gy(t) - CP(t) \quad (12-5-2)$$

کاربرد پیش‌بینی اسمیت را می‌توان از طریق شبیه‌سازی توسط مطلب بررسی کرد. نتایج عددی نشان‌دهنده منحصر بفرد بودن این روش در بهبود عملکرد سازه است.



شکل ۳- سیمولینک سازه با پیش‌بینی Smith's

## ۶-۲- روشن تقریبی $^1\text{PAD}$ :

ساین<sup>۲</sup> از روشن تقریبی PAD برای جبران اثر تأخیرزمانی سیستمهای سازهای استفاده کرد. در این روشن تأخیرزمانی بصورت تأخیر ورودی - خروجی یک سیستم فرضی نشان داده می‌شود. که تابع انتقال چنین سیستمی  $e^{-s\beta}$  است. سپس سیستم فرضی به سیستم سازهای اضافه شده و کنترل کننده براساس سیستم جدید طراحی می‌شود. تابع انتقال  $e^{-s\beta}$  را می‌توان در فرم یک تابع جبری مناسب به صورت زیر بسط داد:

$$H_\beta(s) = M(s) / N(s) = [m_0 + m_1 s + \dots + m_k s^k] / [n_0 + n_1 s + \dots + n_k s^k] \quad (1-6-2)$$

که  $N(s)$  و  $M(s)$  چندجمله‌ای درجه  $K$  بحسب توان صعودی  $s$  هستند و ضرایب  $n_i$  و  $m_i$  که  $(i=0,1,2,\dots)$  بصورت زیر تعریف می‌شوند:

$$n_i = [k! * (2k-1)!] / [i! * 2k!(k-i)!] \quad \text{و} \quad m_i = (-1)^i n_i \quad (2-6-2)$$

تابع PAD را می‌توان توسط برنامه مطلب محاسبه کرد. برای مثال چنانچه بخواهیم یک تابع PAD مرتبه سوم با تأخیرزمانی  $0.1s$  تقریب بزنیم از دستور زیر می‌توان استفاده کرد:

`[num,den]=pade(0.1,3)`

که نتیجه آن بصورت زیر است:

$$H(s) = \frac{s^3 + 120s^2 - 6000s + 120000}{s^3 + 120s^2 + 6000s + 120000}$$

از آنجایی که ضرایب  $n_i$  در معادله (2-6-2) طوری محاسبه می‌شوند که صفرهای چند جمله‌ای  $N(s)$  در سمت چپ صفحه  $S$  قرار گیرند، تقریب‌سازی PAD پایدار است.

تابع انتقال در معادله (1-6-2) را می‌توان بوسیله یک سیستم فضای حالت فرضی بصورت زیر نشان داد:

1-Pade approximation method

2-SAIN

$$\dot{Z}_p(t) = a_p z_p(t) + b_p U(t) \quad \text{و} \quad y_p = U(t-\beta) = c_p z_p(t) + d_p U(t) \quad (3-6-2)$$

که  $a_p$  و  $b_p$  و  $c_p$  و  $d_p$  ماتریس‌های مناسب هستند که می‌توانند با استفاده از تابع  $PAD$  در مطلب بدست آیند.

از معادله (3-6-2) مشاهده می‌شود که خروجی  $y_p$  سیستم فرضی با ورودی  $U(t)$ ، همان نیروی کنترل تأخیر زمانی  $U(t-\beta)$  است. بعنوان یک نتیجه، معادله (3-6-2) می‌تواند با معادله (2-5-2) با برای تشکیل سیستم الحاقی بدون تأخیر بفرم زیر ترکیب شود:

$$\dot{\bar{Z}}(t) = \bar{A}\bar{Z}(t) + \bar{B}U(t) + \bar{E}(t)\ddot{x}_0(t) \quad (4-6-2)$$

که  $\bar{A}$  و  $\bar{B}$  و  $\bar{E}$  ماتریس‌های الحاقی مناسب هستند. و  $\bar{Z} = \begin{bmatrix} Z^T & z_p^T \end{bmatrix}^T$  بردار حالت الحاقی

است. سیستم جدید در معادله (4-6-2) حاوی جمله تأخیری  $U(t-\beta)$  نیست و می‌تواند برای طراحی کنترلر بالاستفاده از هر تئوری کنترل مناسب استفاده شود. نتایج عددی بخوبی نشان دهنده عملکرد این روش در جبران اثر تأخیر زمانی است.

درجه تقریب‌سازی  $PAD$  یک پارامتر مهم است. برای تأخیرات زمانی کمتر از  $0.01s$  یک تقریب‌سازی درجه سوم کافی است.

بردار حالت  $\bar{Z}$  در معادله (4-6-2)، شامل بردار حالت  $Z$  سازه‌اصلی و بردار حالت  $z_p$  تقریب‌سازی پد است. بنابراین نیروی کنترل رامی‌توان توسط برگشت‌پذیر حالت کامل (CSF)<sup>1</sup>، بالاستفاده از روش LQR بصورت زیر طراحی کرد:

$$U(t) = -G * \bar{Z}(t) \quad \text{و} \quad G = -R^{-1} \bar{B}^T P$$

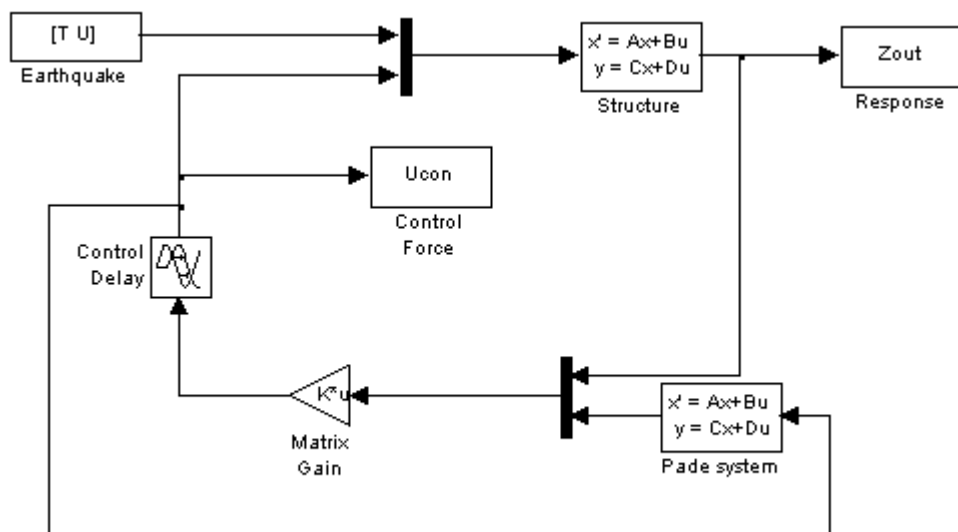
که در معادله فوق ماتریس  $P$  از حل معادله ریکاتی بدست می‌آید:

$$P\bar{A} + \bar{A}^T P + \bar{Q} - P\bar{B}R^{-1}\bar{B}^T P = 0$$

برای بدستآوردن ماتریس‌های  $G$  و  $P$  در معادلات فوق می‌توان از دستور زیر در مطلب استفاده کرد.

$$[G,P] = \text{LQR}(A, B, Q, R)$$

نمودار سازه شبیه‌سازی شده توسط مطلب در شکل (۱) نشان داده شده است.



شکل ۱ - سیمولینک سازه با کنترل کننده برگشت‌پذیر حالت کامل با استفاده از روش تقریبی پد

## ۷-۲- روش جبران پاسخ برگشتی<sup>۱</sup> :

این روش توسط آگراول<sup>2</sup> و یانگ ارائه شد. در این روش یک کنترل کننده ایده‌آل یعنی  $\beta=0$  برای سیستم

$$U(t) = -G^* Z(t) \quad \text{در ابتدا طراحی می‌شود:}$$

سپس یک ماتریس بهره تأخیرزمانی جبران شده  $\bar{G}$ , بفرم زیر، از  $G$  بدست می‌آید.

$$U(t-\beta) = -\bar{G} Z(t-\beta)$$

برای سیستم ایده‌آل بردار پاسخ  $Z(t)$  می‌تواند بصورت زیر، با صرف نظر از آشفتگی خارجی، بدست آید:

$$\begin{aligned} \dot{Z}(t) &= AZ(t) + BV(t) = AZ(t) - BGZ(t) = (A - BG)Z(t) \rightarrow \\ \frac{\dot{Z}(t)}{Z(t)} &= (A - BG) \rightarrow \ln(Z(t)) = (A - BG)t \rightarrow Z(t) = e^{(A-BG)t} Z_0 \end{aligned}$$

(۱-۷-۲)

از معادله (۱-۷-۲)، یک رابطه برگشتی بین پاسخ  $Z(t)$  در زمان  $t$  و پاسخ تأخیرزمانی  $Z(t-\beta)$  در زمان

( $t-\beta$ ) بصورت زیر می‌توان نوشت:

$$Z(t) = e^{(A-BG)\beta} Z(t-\beta) \quad (2-7-2)$$

$$U(t) = -G^* Z(t) = -Ge^{(A-BG)\beta} Z(t-\beta) \quad \text{بنابراین:}$$

بنابراین ماتریس بهره تأخیرزمانی جبران شده  $\bar{G}$ ، بصورت زیر بدست می‌آید:

$$\bar{G} = G^* e^{(A-BG)\beta} \quad (3-7-2)$$

ماتریس بهره اصلاح شده  $\bar{G}$  در معادله (۳-۷-۲) با استفاده از معادله پاسخ برگشتی در معادله (۲-۷-۲)

بدست می‌آید و پایداری سازه کنترل شده را تضمین نمی‌کند.

1-Recursive response compensated method

2-Agrawal and Yang

## ۲-۸- روش کنترل پذیری براساس پایداری<sup>۱</sup>

مفهوم کنترل پذیری :

سیستمی که با ماتریسهای  $(A, B)$  تعریف شده باشد را کنترل پذیر گویند اگریک کنترل  $U$  محدود نشده وجود داشته باشد که بتواند هر حالت اولیه  $X(0)$  را به هر مکان مطلوب  $X(t)$  انتقال دهد. برای سیستم :

$$\dot{X} = AX + BU$$

می‌توان با بررسی شرط جبری زیر کنترل پذیری سیستم را معین کرد :

$$\text{RANK}[B, AB, A^2B, \dots, A^{n-1}B] = n$$

برای یک سیستم تک ورودی - تک خروجی ماتریس کنترل پذیری برحسب  $B$  و  $A$  بصورت زیر توصیف می‌شود:

$$P_c = [B, AB, A^2B, \dots, A^{n-1}B]$$

که  $P_c$  یک ماتریس  $n^*$  است. بنابراین اگر دترمینان  $P_c$  غیر صفر باشد، سیستم کنترل پذیر است.

کنترل پذیری سیستم را می‌توان توسط تابع زیر در مطلب تعیین کرد :

$$P_c = \text{ctrb}(A, B)$$

پایدارسازی سیستم در معادله (۲-۵-۲) با  $V(t) = U(t-\beta)$  توسط محققین زیادی بررسی شد و نشان داده شد که سیستم در معادله (۲-۵-۲) با  $V(t) = U(t-\beta)$ ، بوسیله کنترل کننده دینامیکی زیر قابل پایدارسازی است.

$$U(t-\beta) = -GZ(t-\beta) - \int_{-\beta}^0 G e^{-A(S+\beta)} BU(t-\beta+S) dS \quad (1-8-2)$$

که در معادله فوق  $G$  ماتریس بهره پسخورده است. طراحی کنترلر با استفاده از معادله فوق مشکل است، زیرا نیاز به حل معادلات غیرخطی برای محاسبه  $G$  دارد. بنابراین ماتریس بهره در معادله (۱-۸-۲) را می‌توان با استفاده از فرضیه کنترل پذیری مطلق برای سیستم تأخیرزمانی بدست آورد.

---

1-Controllability based stabilization method

کنترل پذیری مطلق نه تنها باعث کنترل پذیری سیستم می شود، بلکه پایداری سیستم در معادله (۲-۵-۲) با  $V(t)=U(t-\beta)$  را تضمین می کند. آلتی نشان داد که سیستم در معادله (۲-۵-۲) کاملاً کنترل پذیر است

اگر و فقط اگر:

$$\text{RANK}[D, AD, A^2D, \dots, A^{n-1}D] = 2n \quad \text{و} \quad D = e^{-A\beta}B \quad (2-8-2)$$

و یا :

$$P_c = \text{Ctrb}(A, D) \quad \text{و} \quad \det(p_c) \neq 0$$

می باید یادآوری کرد که شرط کنترل پذیری مطلق فوق همان شرط کنترل پذیری برای یک سیستم معمولی است که دارای ماتریس سیستم  $A$  و ماتریس مکان کنترل کننده  $D$  است. یعنی :

$$\dot{\bar{Z}}(t) = A\bar{Z}(t) + DU(t) + E(t) \quad (3-8-2)$$

ابعاد ماتریس های  $D$  و  $A$  در معادله (۳-۸-۲) نظیر معادله (۲-۸-۲) هستند.

بنابراین یک کنترل کننده با استفاده از سیستم معمولی در معادله (۳-۸-۲) طراحی می شود و سیستم در معادله (۲-۵-۲) با  $V(t)=U(t-\beta)$  را پایدار می سازد.

لیوایز نشان داد که حالت  $\bar{Z}(t)$  سیستم، با سیستم در معادله (۲-۵-۲) با  $V(t)=U(t-\beta)$  بوسیله رابطه زیر مرتبط می شود :

$$\bar{Z}(t) = Z(t) + \int_{\beta}^t e^{-AS} DU(t+S)dS \quad (4-8-2)$$

همانطور که از معادله (۳-۸-۲) مشاهده می شود، کنترلر فوق دارای جمله تأخیری نمی باشد و می تواند توسط هر تئوری کنترل طراحی شود. یعنی :

$$U(t) = G * \bar{Z}(t) \quad (5-8-2)$$

این روش کنترل در وضعیت زیر بهینه است.

## State – Augmented ۹-۲ روش جبران

برای گسسته‌سازی تأخیرزمانی  $\beta$  به  $q$  فاصله برابر، وقفه‌های برابر  $q = \Delta/\beta$  را می‌توان تعریف کرد. سپس  $q$

معادله دیفرانسیلی برای حالت  $Z(t)$  می‌توان بصورت زیر نوشت :

$$\dot{Z}(t - j\Delta) = \frac{1}{\Delta} [Z(t - (j-1)\Delta) - Z(t - j\Delta)] \quad \text{و} \quad j=1,2,\dots,q$$

یا :

$$\dot{Z}(t - j\Delta) = \frac{1}{2\Delta} [Z(t - (j-1)\Delta) - Z(t - (j+1)\Delta)] \quad \text{و} \quad j=1,2,\dots,q \quad (1-9-2)$$

$q$  معادله در معادله (1-9-2) را می‌توان با معادله سیستم در معادله (2-5-2) برای بدست آوردن سیستم

الحاقی ، بصورت زیر ، ترکیب کرد :

$$\dot{\hat{Z}}(t) = \hat{A}\hat{Z}(t) + \hat{B}V(t) \quad (2-9-2)$$

که در معادله فوق  $\hat{Z}(t)$  بردار الحاقی با بعد  $n_a = 2n(1+q)$  است. که بصورت زیر تعریف می‌شود :

$$\hat{Z}(t) = [Z^T(t), Z^T(t-\Delta), \dots, Z^T(t-j\Delta), \dots, Z^T(t-\beta)]^T$$

که  $\hat{A}$  و  $\hat{B}$  ماتریس‌های الحاقی سیستم و ماتریس مکان کنترل کننده با بعد  $(n_a^* n_a)$  و  $(n_a^* r)$  هستند.

چنانچه معادلات تفاضلی مرکزی ، معادلات (2-9-2) ، برای تشکیل سیستم الحاقی در معادله (2-9-1) استفاده

شوند ، معادله دیفرانسیلی معکوس ، معادله (2-9-1) ، می‌باید برای  $q$  معادله جهت برقراری شرایط مرزی

استفاده شوند . برای سیستم الحاقی در معادله (2-9-2) تنها خروجی اندازه‌گیری  $Z(t-\beta)$  در دسترس است .

بنابراین :

$$y(t) = Z(t-\beta) = C_a \hat{Z}(t) \quad \text{و} \quad C_a = [0_{2n+2n^*(q-1)}, I_{2n}]$$

بنابراین یک کنترلر تأخیرزمانی جبران شده می‌توان بصورت زیر طراحی کرد :

$$V(t) = -\bar{G}y(t) = -\bar{G}Z(t - \beta) \quad (3-9-2)$$

ماتریس بهره  $\bar{G}$  برای کنترل کننده جبران شده در معادله فوق را می‌توان توسط هر روش کنترل از قبیل LQR و یا روش استقرار قطب محاسبه کرد . در قسمت شبیه‌سازی عددی، عملکرد روش فوق را از طریق روش استقرار قطب بررسی می‌کنیم . نتایج عددی نشان‌دهنده آنست که یک کنترل کننده جبرانی ایده‌آل را می‌توان با استفاده از تعداد کم گسسته‌های  $q$ ، طراحی کرد .

## ۱۰-۲- روشن جبران Phase-Shift

یک سیستم یک درجه آزادی بدون تأخیر زمانی در کنترل (یعنی  $\beta = 0$ ) را در نظر بگیرید:

$$M_s \ddot{X}(t) + C_s \dot{X}(t) + K_s X(t) = U(t) - M_s \ddot{X}_0(t) \quad (1-10-2)$$

که در معادله فوق  $\ddot{X}_0(t)$  شتاب افقی زمین است. اکنون یک کنترل کننده خطی ایده‌آل بگونه‌ای طراحی می‌شود که:

$$U(t) = -g_1 X(t) - g_2 \dot{X}(t) \quad (2-10-2)$$

که  $g_2$  و  $g_1$  بهره‌های برگشت‌پذیر هستند. اگر تأخیر زمانی برای جابجایی و سرعت بترتیب  $\beta_x$  و  $\dot{\beta}_x$  باشند، سپس نیروی کنترل واقعی  $U(t)$  (بدون جبران)، که به سازه وارد می‌شود، بصورت زیر بدست می‌آید:

$$U(t) = -g_1 X(t - \beta_x) - g_2 \dot{X}(t - \beta_{\dot{x}}) \quad (3-10-2)$$

اساس روش Phase-Shift اصلاح بهره‌های  $g_1$  و  $g_2$  برای کنترل کننده بدون تأخیر، معادله (۳-۱۰-۲)، به  $\bar{g}_1$  و  $\bar{g}_2$  است. یعنی:

$$U(t) = -\bar{g}_1 X(t - \beta_x) - \bar{g}_2 \dot{X}(t - \beta_{\dot{x}}) \quad (3-10-3)$$

بطوری که هر دو سیستم حلقه - بسته (باو بدون تأخیر زمانی) دمپینگ فعال و سختی فعال یکسانی داشته باشند. این نتایج در یک رابطه ما بین بهره‌های تأخیر زمانی و بهره‌های بدون تأخیر، برای حرکت هارمونیک در فرکانس  $w$  بصورت زیر نوشته می‌شود:

$$\begin{aligned} \bar{g}_1 &= \frac{\cos(w\beta_x)}{w \sin(w\beta_{\dot{x}})} * g_1 \\ \bar{g}_2 &= \frac{\sin(w\beta_x)/w}{\cos(w\beta_{\dot{x}})} * g_2 \end{aligned} \quad (4-10-3)$$

چانگ روشن جبران Phase-Shift را با انتقال معادلات (۱-۵-۲)، (۳-۵-۲)، (۴-۵-۲) و (۵-۵-۲) با به حوزه مدار با استفاده از مدشیپهای سیستم حلقه باز، به سیستمهای چند درجه آزادی

توسعه داد.

فرض کنیم که سازه کنترل نشده در معادله (۵-۲) میرا شده کلاسیک است، بنابراین مدهای نرمال وجود دارد. فرض کنیم  $\eta_i$  و  $w_i$  ضرائب دمپینگ و فرکانس‌های طبیعی سازه کنترل نشده در مد  $i$  هستند و  $\Gamma(n^*n)$  ماتریس مدار شامل مدعی پیها<sup>۱</sup> باشد. بعلاوه فرض کنیم  $X = \Gamma^* \eta$  که  $\eta = [\eta_1, \eta_2, \dots, \eta_n]$  بردار مدار است. با جایگزینی  $\eta$  در معادله (۵-۲) با  $C = I_{2n}$ ، نیروی کنترل وارد در  $i$  مدار، رامی توان بصورت

زیر نوشت:

$$\bar{U}_i(t) = -g_{1i}\eta_i(t) - g_{2i}\dot{\eta}_i(t) \quad (5-10-3)$$

که در معادله فوق  $g_{2i}$  و  $g_{1i}$  بهره‌های برگشتی برای سرعت و جابجایی مدار در مد  $i$  هستند. در بدست آوردن معادله (۳-۵)، از تمام جملات مابین مدهای گوناگون بدلیل کنترل برگشتی صرف نظر شده است، یعنی از تمام جملات خارج قطر ماتریس‌های  $\Gamma$  و  $\Gamma^T M^{-1} H G_2 \Gamma$  و  $\Gamma^T M^{-1} H G_1 \Gamma$  صرف نظر می‌شود. براساس روش ارائه شده برای سازه‌های یک درجه آزادی، بهره‌های مدار اصلاح شده  $\bar{g}_{1i}$  و  $\bar{g}_{2i}$  برای کنترل کننده تأخیر زمانی برای

$w = \beta_{\dot{x}} = \beta$  و  $w_i = w_i$  یعنی:

$$\bar{U}_i(t) = -\bar{g}_{1i}\eta_i(t - \beta_x) - \bar{g}_{2i}\dot{\eta}_i(t - \beta) \quad (6-10-3)$$

رامی توان از معادله (۴-۱۰) بدست آورد. بعد از آنکه  $\bar{g}_{1i}$  و  $\bar{g}_{2i}$  برای تمام مدهای  $i=1, 2, \dots, n$  بدست آمد، بهره اصلاح شده در حوزه مدار بصورت معکوس به حوزه فیزیکی با استفاده از مدعی پیها سیستم حلقه-باز برای بدست آوردن کنترل کننده برگشتی حالت-کامل در حوزه فیزیکی، انتقال یابد. یعنی:

$$V(t) = -\bar{G}^* Z(t - \beta) \quad (7-10-3)$$

که در معادله فوق  $\bar{G}$  ماتریس بهره برگشتی اصلاح شده برای تأخیر زمانی تخمین زده شده  $\beta$  است.

همانگونه که از جزئیات فوق مشاهده می‌شود، ماتریس بهره‌اصلاح شده  $\bar{G}$  براساس مدشیپها و فرکانس‌های طبیعی سیستم حلقه - باز محاسبه می‌شود. این مقادیر می‌تواند با مقادیر سیستم حلقه - بسته با کنترل کننده در معادله (۳-۷) خصوصاً برای مقادیر تأخیر زمانی یا ضرائب دمپینگ فعال بزرگ، متفاوت باشند. به عنوان یک نتیجه، پایداری سازه کنترل شده تضمین نمی‌شود. نتایج عددی نشان دهنده آنست که کنترل کننده جبرانی Phase - Shift، در صورتی که تأخیر زمانی یا دمپینگ فعال بزرگ باشد، ( یا بهره‌زیاد برای برگشتی سرعت)، ناپایدار می‌شود.

## شبیه‌سازی عددی:

برای توصیف عملکرد و کارائی روش‌های جبران تأخیر زمانی، که در قسمت‌های قبلی معرفی شدند ، نتایج شبیه‌سازی عددی برای یک سازه سه درجه آزادی بررسی می‌شوند . فرکانس‌های حلقه - باز این سیستم سازه‌ای عبارتند از : 2.24 , 6.83, 11.53 ۰.۳۹, ۱.۶۲٪ ۰.۳۶ هرتز . ضرائب دمپینگ نیز مطابق معادله LQR (۲-۵-۲) تندون فعال در طبقه اول نصب شده است . در طراحی کنترل کننده خطی ماتریس وزن  $Q$  بصورت زیر تعریف می‌شود :

$$\begin{aligned} Q(i,j) &= K(i, j) && \text{for } i=1,2,3, j=1,2,3 \\ Q(i,j) &= 0 && \text{for } i=4,5,6, j=4,5,6 \end{aligned}$$

که  $K$  ماتریس سختی سازه است .

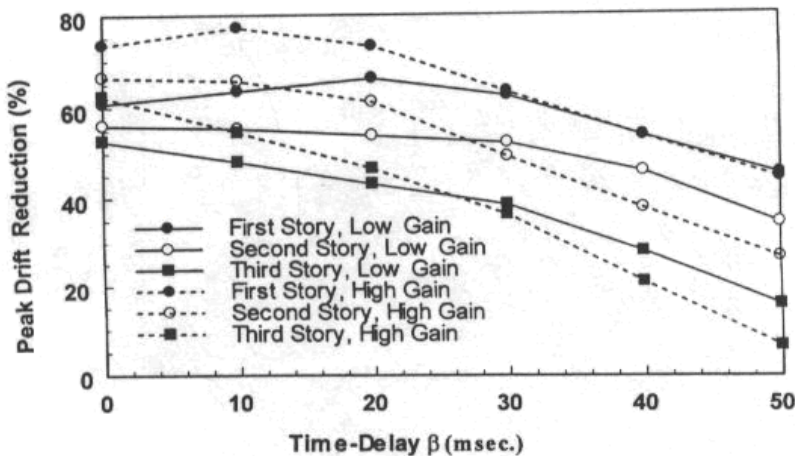
دونوں کنترل کننده بهره کم و بهره زیاد بوسیله ماتریس وزن  $R = 4248, 42480$  طراحی شده است . ضرائب دمپینگ برای سه مدل ساختمان بدون تأخیر زمانی با استفاده از کنترل کننده بهره کم عبارتند: 12.33, 12.83, 5.48 . بعلاوه ضرائب دمپینگ با استفاده از کنترل کننده بهره زیاد عبارتند از: 30.26, 94% 16.34% که نسبتاً بزرگ هستند .

در فرمول سازی ، ماتریس بهره طراحی شده براساس سیستم ایده‌آل ( $\beta=0$ ) بوسیله  $G$  معرفی شد . که اشاره به کنترل کننده بدون جبران دارد . در حالی که ماتریس بهره جبران شده  $\bar{G}$  است . در حقیقت تأخیر زمانی واقعی  $\beta$  یک متغیر آماری است ( یعنی مقدار دقیق آن مشخص نیست ) در حالی که تأخیر زمانی جبران شده بوسیله  $\beta_c$  معرفی شده است که بهترین تخمین برای  $\beta$  است . بنابراین تمام علائم  $\beta$  با  $\beta_c$  جایگزین می‌شود . زیرا پایداری و عملکرد بیشتر روش‌های جبران تأخیر زمانی به خطا در محاسبه  $\beta$  ، یعنی  $\beta_c - \beta$  بسیار حساس هستند .

## پایداری و عملکرد روش پیش‌بینی اسمیت: (SPC)

ماتریس بهره  $\bar{G}(s)$  پیش‌بینی اسمیت در حوزه انتقال توسط معادله (۹-۵-۲) معرفی شد. در حالی که پیش‌بینی اسمیت در حوزه زمان از معادله (۱۲-۵-۲) استفاده شد. در این روش یک ماتریس بهره ثابت  $G$  برای سیستم ایده‌آل  $\beta=0$  در ابتدا طراحی می‌شود و پیش‌بینی اسمیت از طریق معادله (۱۲-۵-۲) بکار گرفته می‌شود. برای طراحی  $G$  از همان کنترل‌کننده‌های بهره‌کم و بهره‌زیاد معرفی شده، استفاده شده است.

در صد کاهش جابجایی مانع می‌گیریم در مقابل تأخیر زمانی  $\beta$  با  $\beta_c = \beta$  برای دو نوع کنترل کننده LQR در شکل (۱) نشان داده شده است. از شکل (۱) مشخص است که پیش‌بینی اسمیت قادر به بهبود عملکرد سیستم ایده‌آل برای  $\beta \leq 0.02s$  است. برای مقادیر بیشتر تأخیر زمانی اگرچه پایداری سازه کنترل شده تضمین می‌شود، اما عملکرد روش ارائه شده بشدت کاهش می‌باید. این موضوع همانگونه که توسط روابط (۱۰-۵-۲) و (۱۱) نشان داده شد، قابل انتظار است. بنابراین نیروی کنترل مانع می‌گیریم برای تمام مقادیر تأخیر زمانی مشابه سیستم ایده‌آل است. بنابراین روش پیش‌بینی اسمیت برای کاربرد با تأخیرات زمانی کوچک مناسب است.



شکل ۱ - کاهش جابجایی مانع در مقابل تأخیر زمانی با روش پیش‌بینی اسمیت

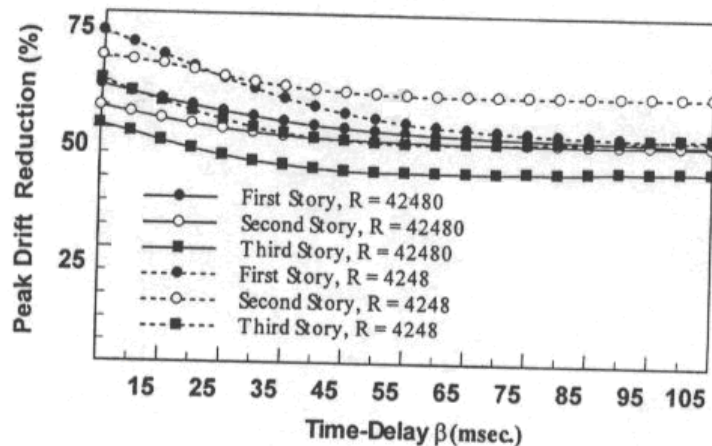
## عملکردن روشن تقریبی PAD

همانطور که اشاره شد تقریب‌سازی PAD پایدار است ، بنابراین تنها عملکرد این روش بررسی می‌شود . دونوع کنترل کننده CSF با انتخاب ماتریس وزن  $Q$  طراحی می‌شود بطوری که اولین  $(3 \times 3)$  عناصر  $Q$  همان سختی‌سازه هستند . و بقیه عناصر  $Q$  صفرند . بعلاوه  $R = 42480$  و  $R = 4248$  در نظر گرفته می‌شوند . شکل (۲) درصد کاهش جابجایی ماگزیم در مقابل تأخیر زمانی ، برای دو نوع کنترل کننده CSF را نشان می‌دهد . مشاهده می‌شود که تقریب‌سازی PAD قادر به جبران تأخیر زمانی با افت کوچک برای جابجایی ماگزیم است . بعلاوه سطح نیروی کنترل ماگزیم ، برای تمام مقادیر تأخیر زمانی تقریباً یکسان است . یعنی :

$$1885 < u_{\max} < 1963 \quad \text{for } R=42480$$

$$1871 < u_{\max} < 2124 \quad \text{for } R=4248$$

همچنین از شکل (۱) مشاهده می‌شود که عملکرد برای کاهش جابجایی ماگزیم برای کنترلرهای بهره‌زیاد و بهره‌کم کاملاً یکسان است .



شکل ۲ - کاهش جابجایی ماگزیم در مقابل تأخیر زمانی  $\beta$  برای کنترل CSF براساس روش PAD

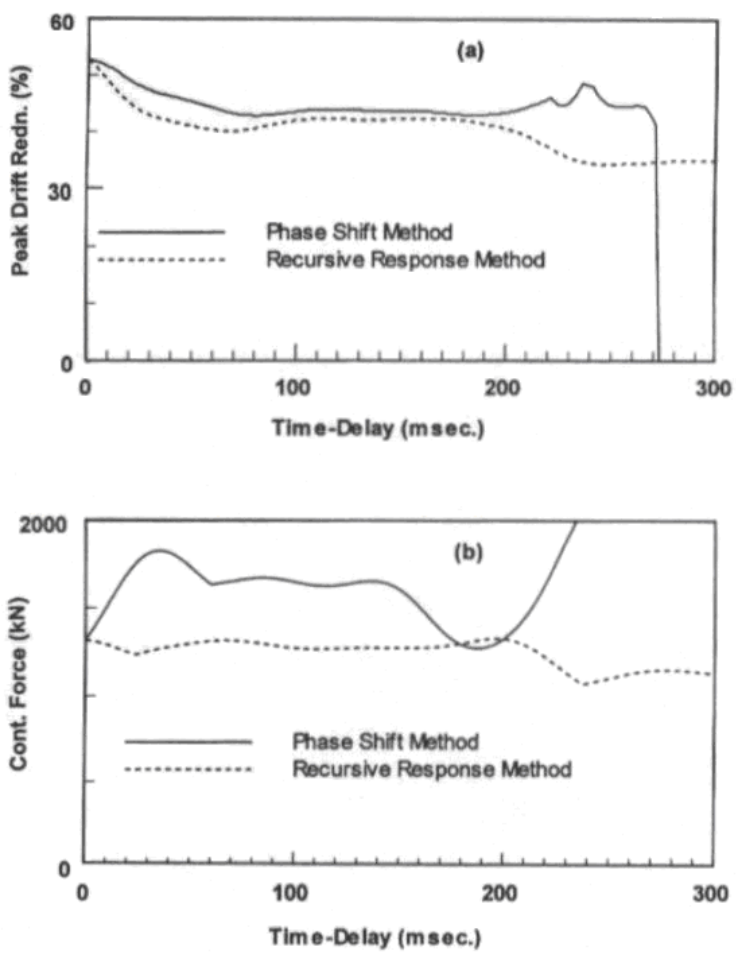
## عملکرد روش Recursive Response

براساس روش Recursive Response برای جبران تأخیرزمانی در معادله (۳-۲-۷)، محدوده تأخیرزمانی پایدار ( $\bar{\beta}_{\min}$  و  $\bar{\beta}_{\max}$ ) برای ماتریس بهره تأخیری جبران شده ( $\bar{G}(\beta_c)$ ، برای کنترل کننده بهره کم و بهره زیاد، محاسبه می‌شود. نتایج در ستون (۳) و (۶) جدول (۱) نشان داده شده است. برای کنترل کننده بهره کم، از ستون (۳) جدول (۱) مشاهده می‌شود که روش Recursive Response برای  $\beta = \beta_c > 0.5s$  پایدار است. به هر حال روش Phase-Shift برای  $\beta > 270ms$  ناپایدار می‌شود. برای بهره زیاد کنترل کننده از ستون (۵) مشاهده می‌شود که روش جبران Phase-Shift، قادر به جبران تأخیرزمانی تا  $18ms < \beta < 224ms$  است. از سوی دیگر، روش Recursive response، قادر به جبران تأخیرزمانی تا  $224ms < \beta < 293ms$  پایدار است. بنابراین روش Recursive Response توانایی پایدارسازی کنترل کننده بهره بالا با تأخیرزمانی بزرگ را دارد.

توانایی کاهش پاسخ با کمک روش Recursive Response با استفاده از زلزله سنترو در این قسمت بررسی می‌شود. شکل‌های (۳) درصد کاهش جابجایی و نیروی کنترل حداقل برای سازه سه طبقه بصورت تابعی از  $\beta = \beta_c$ ، برای کنترل کننده بهره کم، را نشان می‌دهند. از شکل (۴) مشخص است که کاهش پاسخ با استفاده از روش Phase-Shift، برای  $200ms < \beta < 224ms$  با بهره کم کنترل کننده مشابه روش Recursive response است. نیروی کنترل مورد نیاز با استفاده از روش Recursive response بسیار کمتر از روش Phase-Shift است. در نتیجه روش Recursive response از نظر عملکرد و پایداری بهتر از روش Phase-Shift است.

جدول ۱ - ناحیه پایدار تأخیرزمانی برای ساختمان سه طبقه

Comp.delay $\beta_c$ (ms)	Stable time-delay region ( $\beta_{\min} \beta_{\max}$ ) in msec	
	Phase –Shift method	Recursive response method
(1) Low-gain Cintroller (2)		(3)
0	(0,17.7)	(0,17.72)
100	(78.86,112.79)	(81.75,121.06)
200	(179.61,208.40)	(177.7,216.5)
270	Unstable (267.39,269.22)	(250.3,290.8)
300	Unstable	(280.36,321.07)
500	Unstable	(475.69,526.69)
(4) High-gain Cintroller (5)		(6)
0	(0,12.20)	(0,12.20)
18	(0,18.37)	(0,35.80)
100	Unstable	(87.65,116.39)
200	Unstable	(173.85,212.91)
224	Unstable	Unstable(188.03,220.17)
293	Unstable	(292.74,315.88)
300	Unstable	(290.22,326.47)



شکل ۳- مقادیر پاسخ مانع برای تأخیرات زمانی متفاوت و  $\beta = \beta_0$  (a) کاهش جابجایی طبقه سوم

(b) نیروی کنترل حد اکثر

## <sup>1</sup> عملکرد روش C.B.S

همانگونه که در معادلات (۲-۳) تا (۲-۵) نشان داده شد ، کنترل کننده تأخیر زمانی جبران شده بر اساس روش فوق ، از نظر تئوری پایدار است . بنابراین نیازی به بررسی پایداری این روش نیست . به هر حال عملکرد کنترل با استفاده از همان سازه سه طبقه بررسی می شود . و فرض می شود که تأخیر زمانی جبران شده  $\beta$  برابر تأخیر زمانی واقعی  $\beta$  باشد . درصد کاهش برای جابجایی طبقه ( $x_1$  و  $x_2$  و  $x_3$ ) ، نیروی کنترل حداکثر  $U$  و کل کنترل  $\bar{U}^2$  برای کنترل کننده Phase-Shift برای تأخیرات زمانی متفاوت در ستون (۲) تا (۶) جدول (۲) نشان داده شده است . که انرژی کنترل کل  $\bar{U}^2$  برابر انتگرال مربع نیروی کنترل در طول زلزله یعنی ۲۰ ثانیه است . سیستم حلقه بسته با کنترل کننده Phase-Shift برای  $\beta = 280 \text{ ms}$  ناپایدار می شود .

برای کنترل کننده (C.B.S) در معادلات (۲-۳) تا (۲-۵) ، شبیه سازی عددی براساس روش (LQR) بالانتخاب ماتریس های وزن  $Q$  و  $R$  برای سیستم در معادله (۲-۳) ، انجام شده است بطوری که کاهش پاسخ و نیروی کنترل تقریباً مشابه روش Phase-Shift است . درصد کاهش برای جابجایی طبقه ، نیروی کنترل حداکثر و انرژی کل حداکثر برای روش (C.B.S) در ستون های (۷) تا (۱۱) جدول (۲) نشان داده شده است . از جدول (۲) مشاهده می شود که اگرچه برای تأخیرات زمانی کوچک ، عملکرد هردو روش یکسان است ، اما (C.B.S) بهتر از روش Phase-Shift است . بعلاوه پایداری روش (C.B.S) همیشه تضمین می شود .

جدول ۲- درصد کاهش برای جابجایی طبقات و نیروی کنترل مانعیم و انرژیکنترل با استفاده از روش‌های C.B.S

Phase-Shift و

Comp.delay $\beta_c = \beta$	Phase -Shift Method					Control.based Stabilization				
	X <sub>1</sub> (%)	X <sub>2</sub> (%)	X <sub>3</sub> (%)	U (KN)	$\bar{U}^2$ (KN <sup>2</sup> )	X <sub>1</sub> (%)	X <sub>2</sub> (%)	X <sub>3</sub> (%)	U (KN)	$\bar{U}^2$ (KN <sup>2</sup> )
	(1) (2)	(3)	(4)	(5)	(6)	(7)	(8)	(9)	(10)	(11)
0	61	60	59	1317.7	85.46	61	60	59	1317.7	85.46
35	57	59	60	1817.5	159.4	57	59	57	1817.3	122.7
200	50	54	53	1318.6	98.18	48	50	47	1318.3	80.11
250	35	44	45	2219.6	259.8	46	45	41	1317.3	77.28
280	Unstable					41	42	39	1816.8	85.79

## پایداری و عملکرد روش جبران Phase-Shift

براساس روش Phase-Shift ، ماتریس بهره تأخیرزمانی جبران شده  $(\bar{G}(\beta_c))$  در معادله  $(3-107)$  برای  $\beta_c = \beta_{ix}$  (i=1,2,3) برای دونوع کنترل کننده بهره کم و بهره زیاد محاسبه می شود ، در حالی که تأخیرزمانی واقعی  $\beta$  ممکن است برابر تأخیرزمانی جبران شده  $\beta_c$  نباشد . فرض کنیم  $\beta = \beta_c$  و تأخیرزمانی جبران شده باشد . در این حالت ، سیستم حلقه بسته  $(A - B\bar{G})$  ناپایدار است . به عنوان یک نتیجه ، دقت تأخیرزمانی جبران شده  $\beta_c$  ، که برای محاسبه ماتریس بهره جبران شده  $(\bar{G}(\beta_c))$  استفاده می شود ، اثر مهمی مهمی بر روی پایداری و عملکرد کنترلر دارد . به هر حال ، حتی اگر تأخیرزمانی جبران شده برابر تأخیرزمانی واقعی باشد ، پایداری و عملکرد کنترل کننده جبران شده می باید بررسی شود . در این ارتباط روش آنالیز پایداری ارائه شده توسط آگراول و یانگ مفید است .

در روش ارائه شده توسط آگراول و یانگ ، فرض می شود که کنترل کننده برای سیستم بدون تأخیر زمانی پایدار است . سپس تأخیرزمانی بحرانی به عنوان کوچکترین تأخیرزمانی که باعث ناپایداری سازه می شود ، محاسبه می شود . با استفاده از این روش ، کنترل کننده جبران شده Phase در معادله  $(3-107)$  فقط در ناحیه تأخیرزمانی  $\beta_{min} \leq \beta \leq \beta_{max}$  پایدار است . که  $\beta_{min}$  و  $\beta_{max}$  حداقل و حداقل تأخیرات زمانی بحرانی هستند . این موضوع جهت بررسی ناحیه پایداری برای مقادیر متفاوت تأخیرزمانی جبران شده  $\beta_c$  به منظور آزمایش پایداری کنترل کننده جبرانی Phase-Shift ، کافی است .

ماتریس بهره تأخیرزمانی جبران شده ،  $(\bar{G}(\beta_c))$  با استفاده از روش Phase-Shift برای تأخیرزمانی جبران شده  $\beta_c$  در محدوده  $35-250$  میلی ثانیه برای بهره کم کنترل کننده ، محاسبه شده است . بنابراین  $\beta_{min}$  و  $\beta_{max}$  برای هر ماتریس بهره  $(\bar{G}(\beta_c))$  ، با استفاده از روش آنالیز پایداری ارائه شده توسط آگراول و یانگ محاسبه می شود . نتایج برای ناحیه پایداری  $(\beta_{min} \leq \beta \leq \beta_{max})$  برای مقادیر متفاوت  $\beta$  ، درستون ۱۰۲ جدول (۱) نشان داده شده است . همانطوری که از جدول مشاهده می شود برای تأخیرزمانی جبران شده در محدوده  $35$  تا  $250$  تا

میلی ثانیه ،  $\beta_c$  در ستون (۱) ، همیشه درون محدوده پایداری ( $\beta_{\min}$  و  $\beta_{\max}$ ) در ستون (۲) قرار دارد . این موضوع نشان می دهد که سیستم حلقه - بسته با استفاده از کنترل کننده Phase- Shift ، در صورتی که تأخیر زمانی واقعی برابر تأخیر زمانی جبران شده باشد ، برای  $\text{ms} \leq \beta_c \leq 250$  ، پایدار است . به هر حال اگر تأخیر زمانی واقعی  $\beta$  ، خارج از ناحیه پایداری ( $\beta_{\min}$  و  $\beta_{\max}$ ) باشد ، کنترل کننده ناپایدار است . بعلاوه از جدول (۱) مشاهده می شود که با  $\beta$  افزایش ، ناحیه پایداری کوچک می شود . بنابراین درجه تلوانس کمی برای خطای تخمین در تأخیر زمانی وجود دارد . برای  $\beta_{\max} = 250 \text{ ms}$  ،  $\beta_c = 251.5 \text{ ms}$  بنابراین یک خطای تخمین کوچک برای تأخیر زمانی باعث ناپایداری کنترل کننده می شود . در جدول (۱) نشان داده شده است که سیستم حلقه - بسته با استفاده از کنترل کننده Phase- Shift ، برای  $\beta \geq 270 \text{ ms}$  ، حتی اگر تأخیر زمانی جبران شده برابر تأخیر زمانی واقعی باشد ، ناپایدار می شود . بعلاوه از جدول (۱) مشاهده می شود که اگر  $\beta_c = 0$  ، تأخیر زمانی بحرانی برای کنترل کننده بدون جبران ،  $17.7 \text{ ms}$  است . به بیان دیگر برای یک کنترل کننده بدون جبران ، زمانی که تأخیر زمانی واقعی از  $17.7 \text{ ms}$  تجاوز کند ، ساختمن ناپایدار می شود . که نشان دهنده اهمیت جبران تأخیر زمانی در طراحی کننده است .

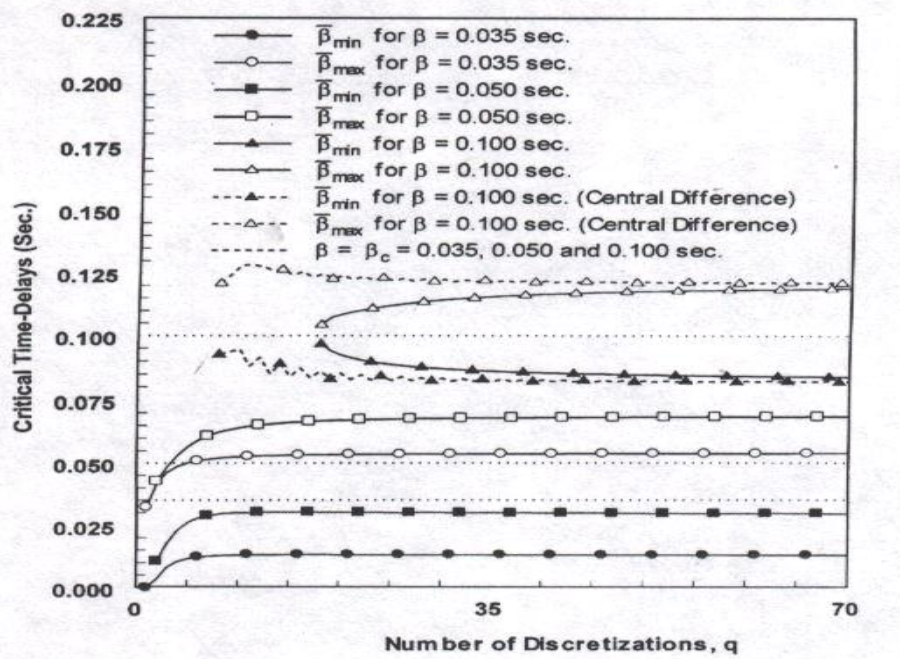
عملکرد روش جبران Phase- Shift با استفاده از بهره کم کنترل کننده با محاسبه پاسخ مدل در معرض زلزله السنترو بررسی می شود . برای سادگی فرض کنیم :  $\beta_c = \beta$  براساس کنترل کننده در معادله (۳-۱۰)، درصد کاهش برای جابجایی حداقل برای مقادیر متفاوت تأخیرات زمانی جبران شده برای بهره کم کنترل کننده ، محاسبه شده است . درصد کاهش جابجایی طبقه سوم در شکل (۳) نشان داده شده است . مشاهده می شود که اگر چه کاهش حداقل فقط کمی با افزایش تأخیر زمانی  $\beta$  بخطرمی افتد ، اما کاهش شدیدی در عملکرد در حدود  $\beta = 200 \text{ ms}$  اتفاق می افتد . با افزایش تأخیر زمانی در حدود  $\beta = 270 \text{ ms}$  ، سازه ناپایدار می شود . شکل (۴-b) نمودار نیروی کنترل حداقل در مقابل تأخیر زمانی را نشان می دهد . همانگونه که مشاهده می شود نیروی کنترل حداقل موردنیاز با کنترل کننده تأخیری جبران شده در معادله (۳-۱۰)، بزرگتر از نیروی کنترل

ایده‌آل است . بعلاوه نیروی کنترل حداکثر موردنیاز با کنترل کننده در معادله (۳-۱۰) برای  $\beta \geq 240\text{ms}$  ایده‌آل است . بشدت افزایش می‌یابد .

برای بهره زیاد کنترل کننده ، نتایج عددی در ستون (۵) جدول (۱) نشان داده شده است . این نتایج نشان می‌دهد که کنترل کننده جبرانی Phase-Shift برای تأخیر زمانی کوچک ، یعنی  $\beta \leq 20\text{ms}$  ، ناپایدار است . بنابراین روش Phase-Shift برای بهره‌زیاد کنترل کننده ، قادر به جبران تأخیرات زمانی کوچک نیست . نتایج عددی نشان دهنده آنست زمانی که تأخیر زمانی بزرگ است یا دمپینگ فعال در مدهای گوناگون زیاد است ( بهره‌زیاد کنترل کننده ) ، روش Phase-Shift قابل اعتماد نبوده و ممکن است منجر به ناپایداری سیستم حلقه-بسته گردد .

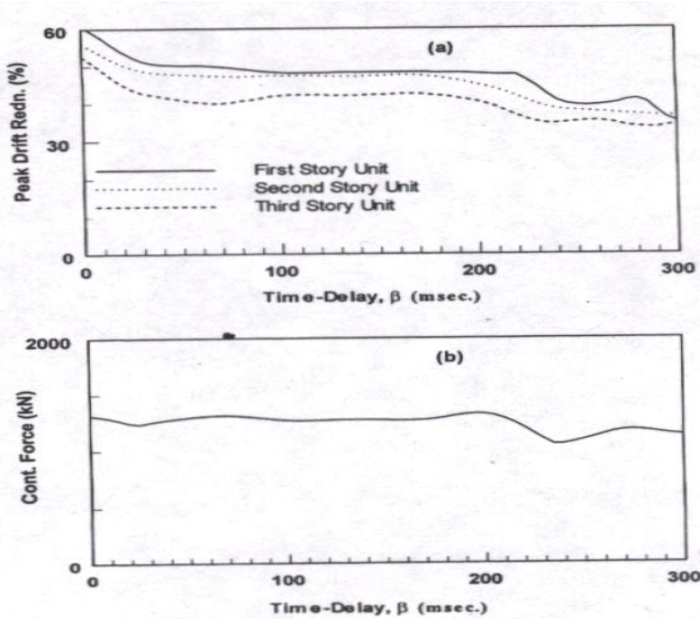
## پایداری و عملکرد روش جبران State-augmented

پایداری و عملکرد کنترل کننده State-augmented در معادله (۳-۹-۲) با استفاده از روش استقرار قطب بررسی شد . از آنجایی که تعداد کل اندازه ها  $2n$  است،  $2n$  قطب سیستم الحاقی حلقه بسته، معادله (۲-۹-۲)، در مکانهای از قبل تعریف شده قرار دارند . این قطبها از پیش تعریف شده از سیستم حلقه-بسته براساس کنترل کننده LQR که قبلاً برای کنترل کننده های بهره کم و بهره زیاد محاسبه شدند، بدست می آیند . یک پارامتر مهم در طراحی کنترل کننده State-augmented، معادله (۳-۹-۲)، تعداد گسسته های  $q$ ، در معادله (۱-۹-۲) است . برای مکانهای تعریف شده قطبها با استفاده از کنترل کننده بهره کم، ماتریس  $\bar{G}(s)$  در معادله (۳-۹-۲) برای مقادیر متفاوت  $q$  طراحی می شود و یک آنالیز پایداری با استفاده از روش معرفی شده توسط یانگ برای یافتن ناحیه تأخیر زمانی پایدار ( $\beta_{\min}, \beta_{\max}$ ) انجام می شود . شکل (۴) ترسیم تأخیر زمانی بحرانی ( $\beta_{\min}, \beta_{\max}$ ) در مقابل تعداد گسسته های  $q$  برای  $\beta_c = 35, 50, 100 \text{ ms}$  براساس فرمول سازی تفاضلی معکوس برای روش State-augmented، معادله (۱-۹-۲)، را نشان می دهد . بنابراین کنترل کننده های پایدار تأخیر زمانی جبران شده را می توان با انتخاب تعداد مناسب  $q$ ، برای مقادیر خاص تأخیر زمانی طراحی کرد . ماتریس بهره  $\bar{G}$  در معادله (۳-۹-۲) برای مقادیر متفاوت تأخیر زمانی برای  $\beta = \beta_c$  و  $q = 50$  طراحی شده است . شکل (۵) درصد کاهش جابجایی مأگزیموم و نیروی کنترل مأگزیموم در مقابل تأخیر زمانی و  $\beta = \beta_c$  را نشان می دهد . همانگونه که مشاهده می شود رفتار درصد کاهش جابجایی مشابه روش پاسخ برگشتی است . بعلاوه تغییرات کمی در نیروی کنترل حداقل برای مقادیر متفاوت تأخیر زمانی مطابق شکل (۵) وجود دارد . درنتیجه روش State-augmented یک روش موثر در جبران اثر تأخیر زمانی است .



شکل ۴- تأخیرات زمانی بحرانی در مقابل تعداد گسسته‌های  $q$  برای مقادیر متفاوت تأخیرزمانی جبران شده  $\beta$  برای

روش جبران State- augmented



شکل ۵- مقادیر پاسخ‌ماگزینم با استفاده از روش جبران State- augmented (a): کاهش جابجایی ماگزینم در مقابل

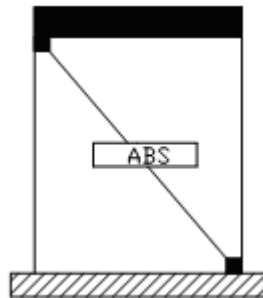
تأخیرزمانی: (b) نیروی کنترل‌ماگزینم در مقابل تأخیرزمانی و  $\beta_c = \beta$

# فصل چهارم

مقایسه روش‌های جبران تأخیرزمانی

## مقدمه :

در فصل سوم چندین روش جبران اثر تأخیرزمانی معرفی شد و عملکرد و کارائی آنها در بهبود پاسخ سازه‌ها با استفاده از شبیه‌سازی عددی بررسی شد. در این فصل عملکرد تعدادی از این روشها با استفاده از شبیه‌سازی برای قاب برشی با یک درجه آزادی بررسی می‌شود و نتایج با یگدیگر مقایسه می‌شود. مدل سازه در شکل (۱) نشان داده شده است. فرض می‌شود سازه در معرض زلزله سنترال گرفته باشد. جرم سازه  $M=1000 \text{ kg}$ ، سختی سازه  $K=980 \text{ kN/m}$  و ضریب دمپینگ برابر  $C=1.407 \text{ kNS/m}$  انتخاب شده‌اند.

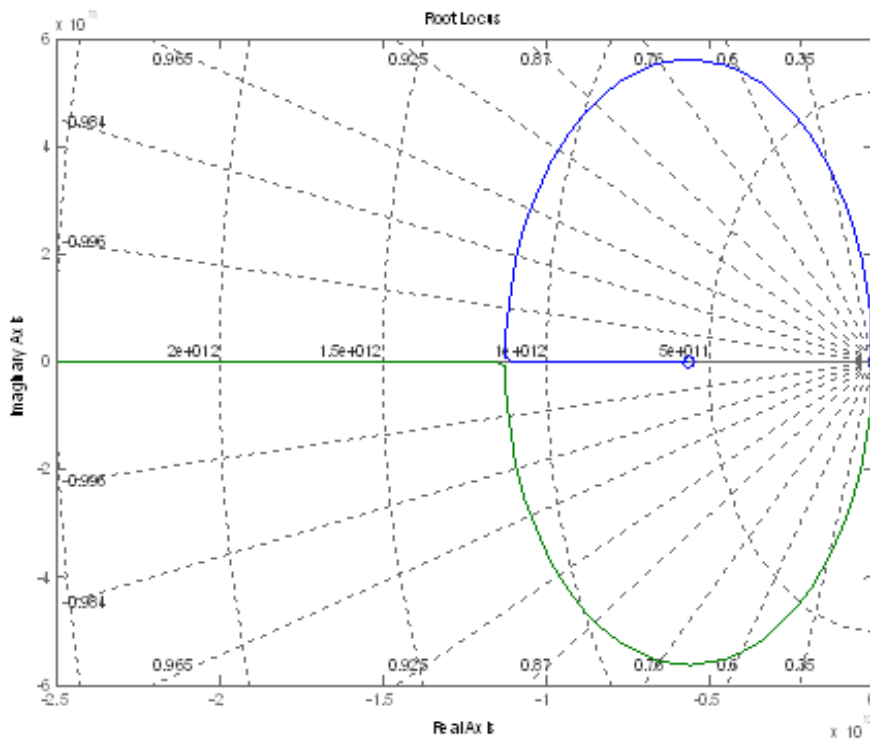


شکل ۱- مدل سازه یک درجه آزادی

#### ۱-۴- عملکرد روش مکان‌هندسی ریشه‌ها :

همانگونه که قبلاً اشاره شد رفتار یک سیستم پسخورده، بر حسب مکان هندسی ریشه‌های معادله مشخصه در صفحه S قابل توصیف است. بنابراین پاسخ یک سیستم پسخورده را می‌توان با انتخاب مناسب یک یا چند پارامتر تنظیم کرد تا به یک رفتار مطلوب دستیابی شود.

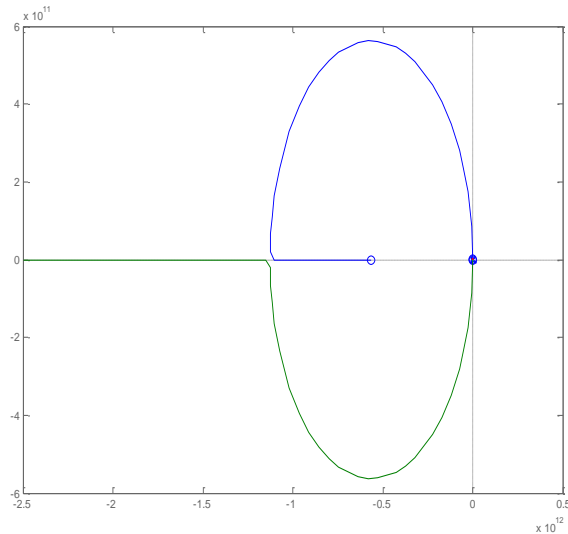
نمودار مکان‌هندسی قطب‌های حلقه بسته در شکل (۲) نشان داده شده است. همانگونه که مشاهده می‌شود قطب‌های حلقه بسته در سمت چپ صفحه S قرار گرفته‌اند. به عبارت دیگر قطب‌های حلقه- بسته همگی دارای قسمت حقیقی منفی هستند. بنابراین سازه بدون تأخیرزمانی پایدار است.



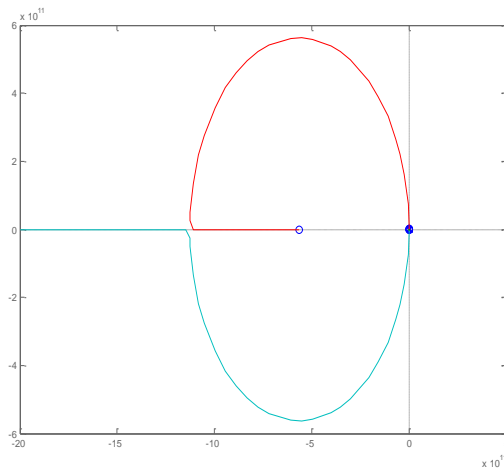
شکل ۲- نمودار مکان هندسی قطب‌های حلقه- بسته

مکان‌هندسی ریشه قطب‌های سیستم حلقه- بسته به‌ازای تأخیرزمانی  $0.2s$  در شکل (۳) نشان داده شده

است . همانگونه که مشاهده می شود به ازای تأخیرزمانی فوق همچنان سیستم پایداری خود را حفظ کرده است .

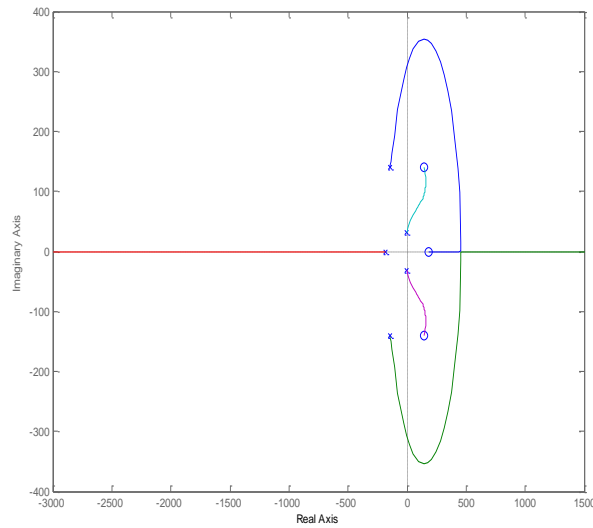


شکل ۳- نمودار مکان هندسی قطب‌های حلقه- بسته به ازای تأخیرزمانی  $s^{0.2}$



شکل ۴- نمودار مکان هندسی قطب‌های حلقه- بسته به ازای تأخیرزمانی  $s^{0.4}$

اما همانگونه که در شکل (۵) مشاهده می‌شود، معرفی یک تأخیرزمانی کوچک سبب ناپایداری سازه شده است.



شکل ۵- نمودار مکان هندسی قطبهای حلقه- بسته به ازای تأخیرزمانی  $s = 0.025$

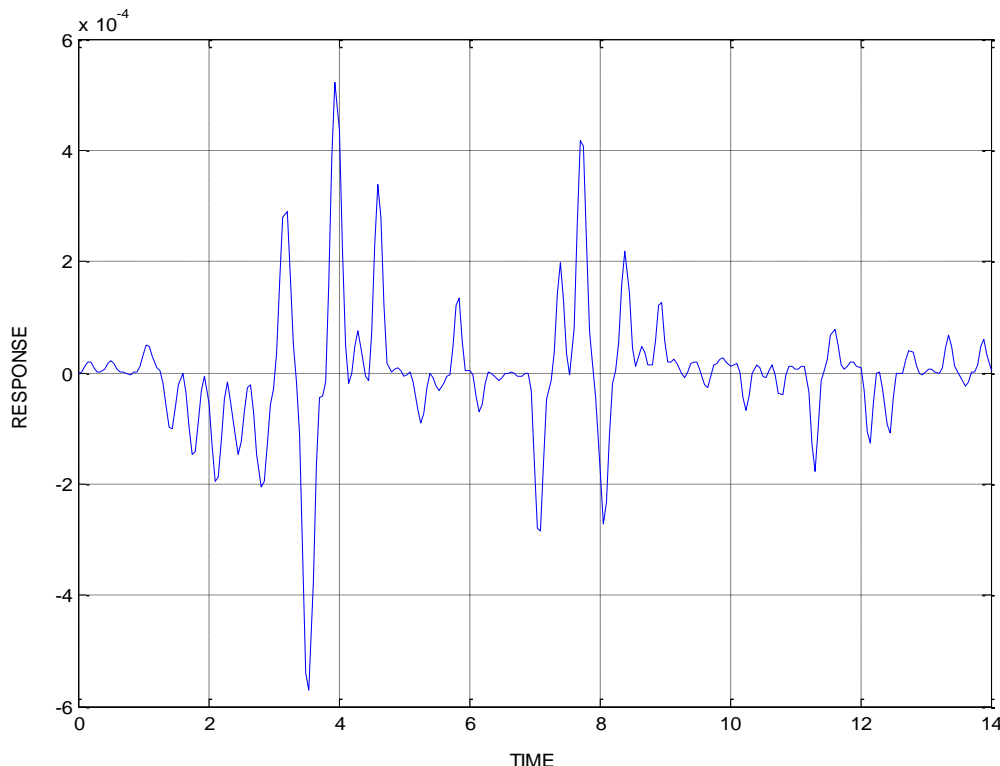
بنابراین همانگونه که مشاهده می‌شود می‌توان با معرفی یک تأخیرزمانی صحیح در سیستم کنترل، پایداری سازه کنترل شده را تضمین کرد.

## ۴-۲- عملکردن روشن پیش‌بینی : Smith

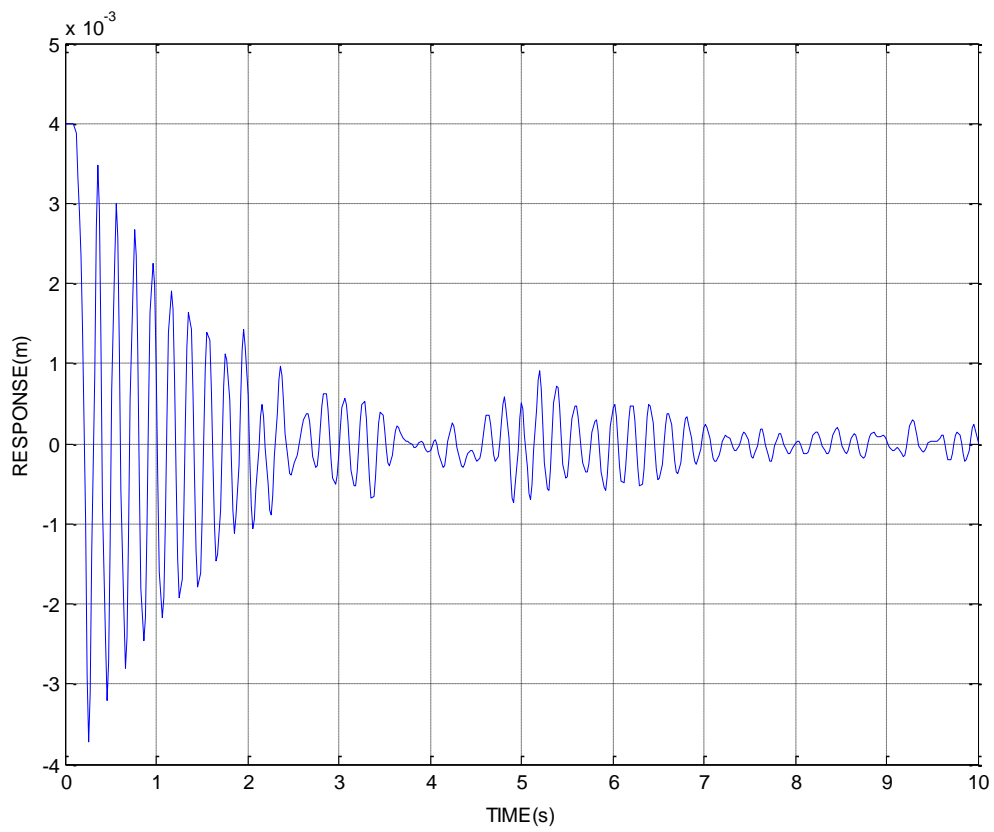
همانگونه که بصورت تئوری نشان داده شد ، کنترل کننده پیش‌بینی‌اسمیت (SPC) ، پایدار است . بنابراین پایداری این روش بررسی نمی‌شود . کاربرد (SPC) در حوزه زمان توسط معادلات (۱۲-۵-۲) انجام شد .

برای طراحی ماتریس بهره  $G$  ، در معادله (۱۲-۵-۲) از کنترل کننده LQR استفاده شده است . و در طراحی ماتریس بهره  $C$  از تکنیک استقرار قطب استفاده شده است . بگونه‌ای که قطب‌های سیستم حلقه-بسته قسمت حقیقی منفی داشته باشند . نتایج در شکل‌های زیر نشان داده شده است .

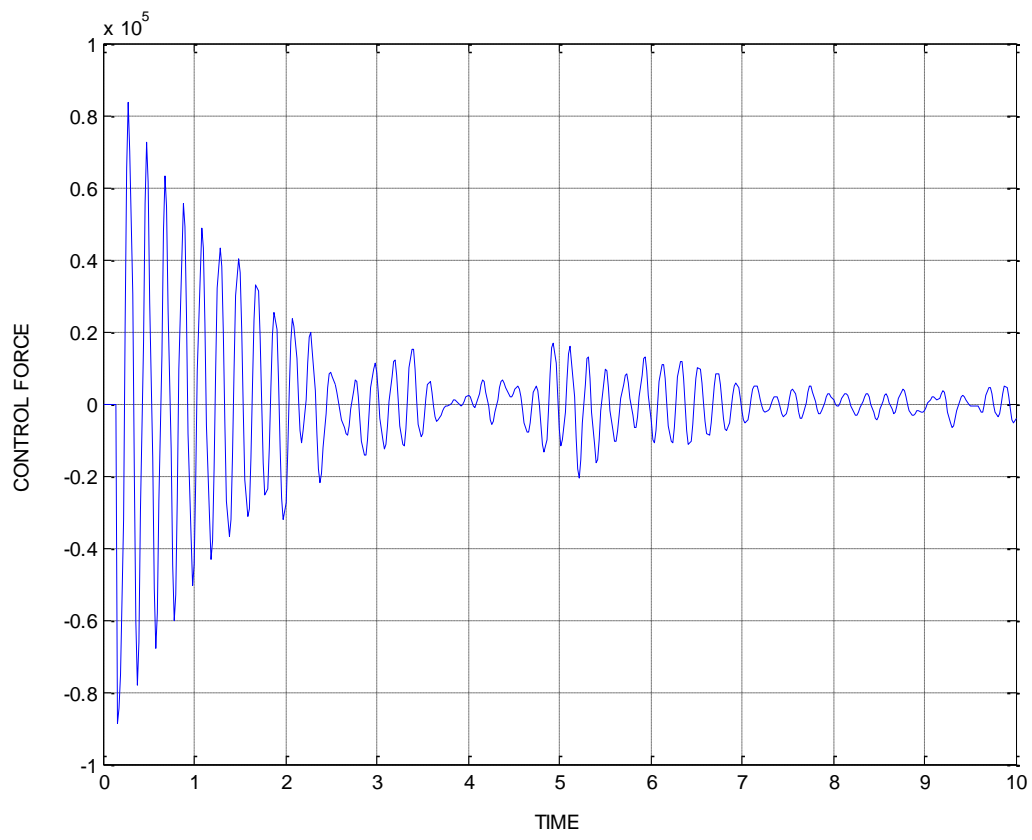
همانگونه که از شکل‌های فوق مشاهده می‌شود برای مقادیر بزرگ تأخیر زمانی نیز پایداری سازه کنترل شده تضمین می‌شود ، اما عملکرد کاهش می‌یابد . این موضوع همانگونه که در معادلات (۱۰-۵-۲ و ۱۱) نشان داده شد قابل انتظار است .



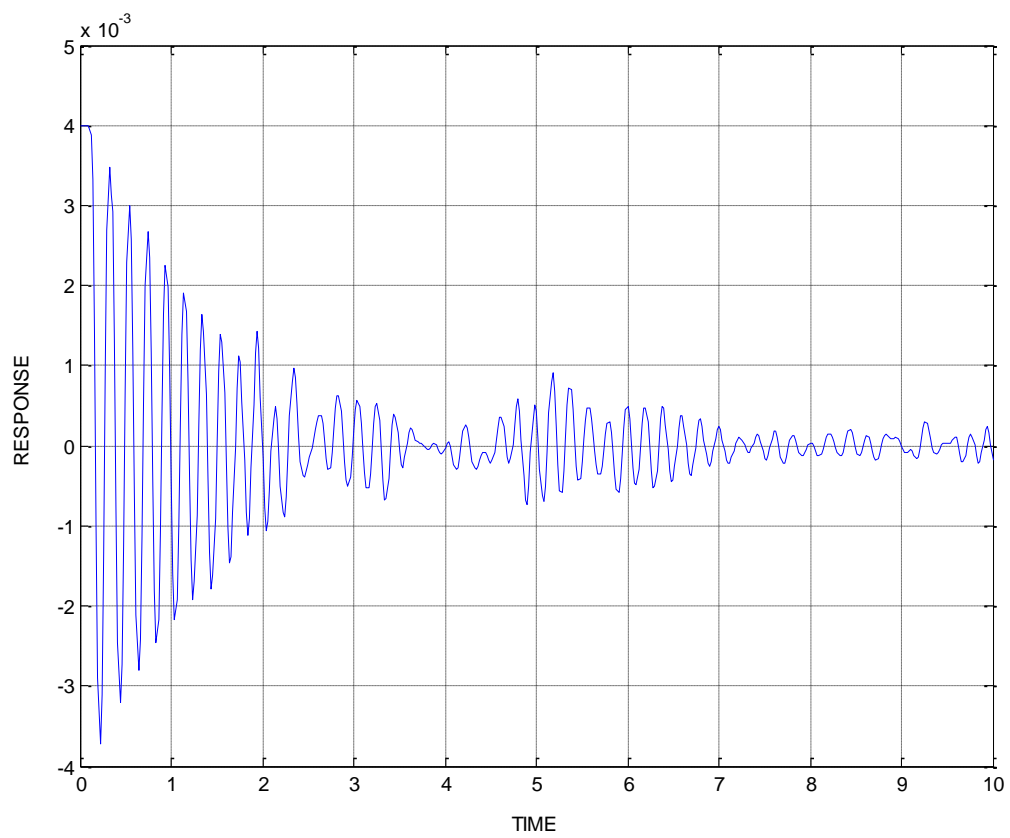
شکل ۱ - پاسخ جابجایی سازه کنترل نشده



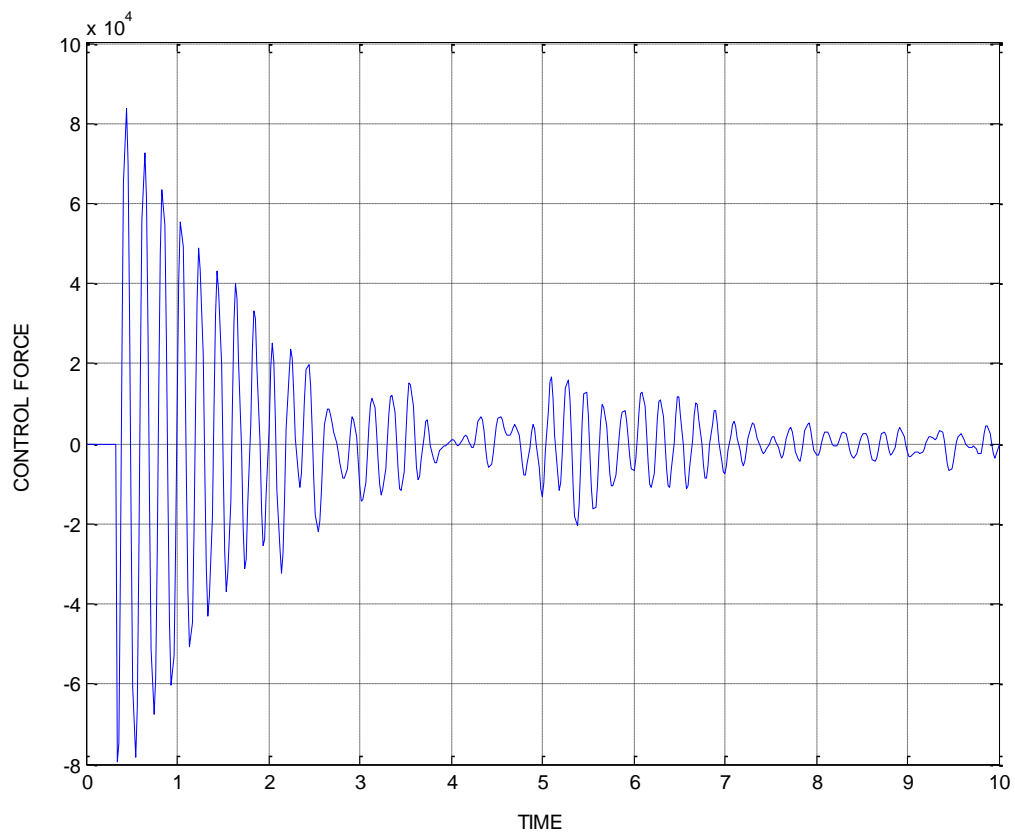
شکل ۲- پاسخ جابجایی سازه کنترل شده با تأخیرزمانی ۰.۰۲



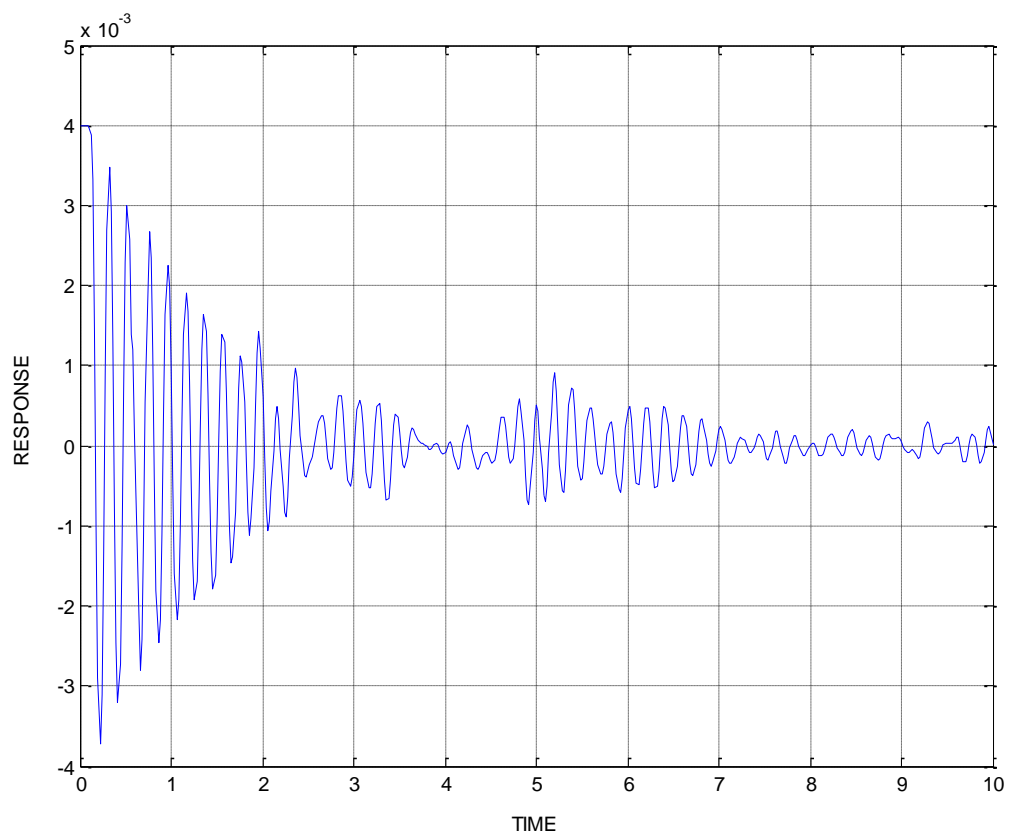
شکل ۳- نیروی کنترل سازه کنترل شده با تأخیر زمانی  $s = 0.02$



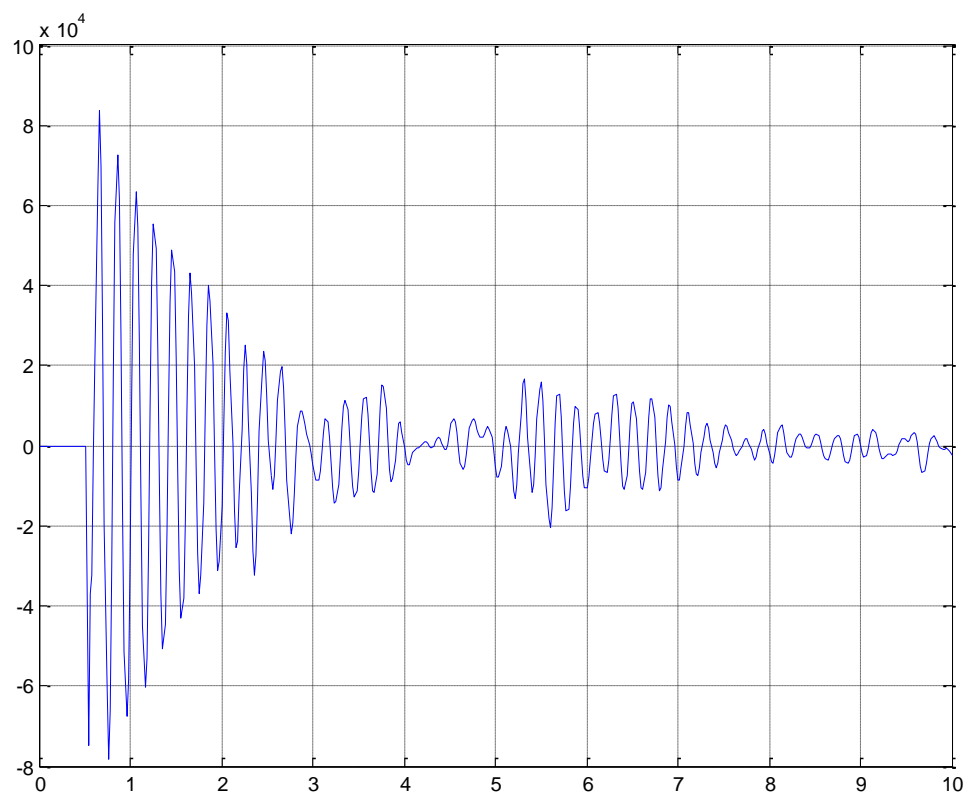
شکل ۴- پاسخ جابجایی سازه کنترل شده با تأخیر زمانی  $0.2\text{ s}$



شکل ۵- نیروی کنترل سازه کنترل شده با تأخیر زمانی  $0.2\text{ s}$



شکل ۶ - پاسخ جابجایی سازه کنترل شده با تأخیر زمانی  $0.4\text{ s}$



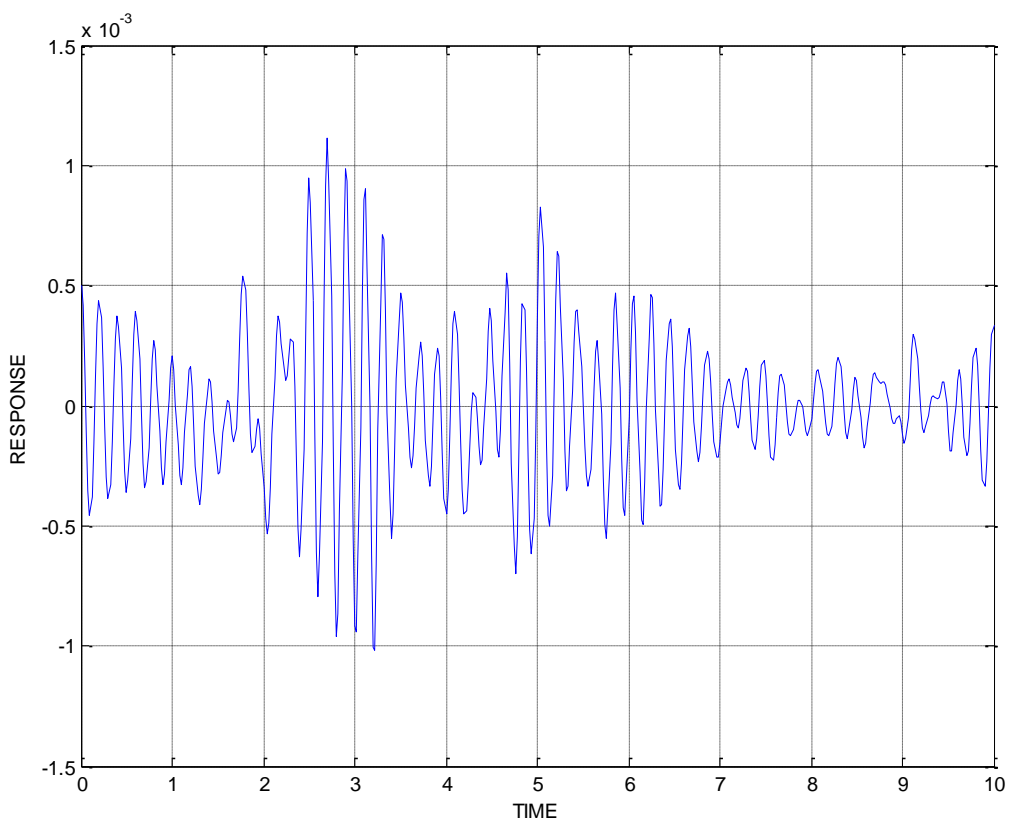
شکل ۷ - نیروی کنترل سازه کنترل شده با تأخیر زمانی  $0.4 \text{ s}$

### ۴-۳- عملکردن روش تقریب‌سازی PADE

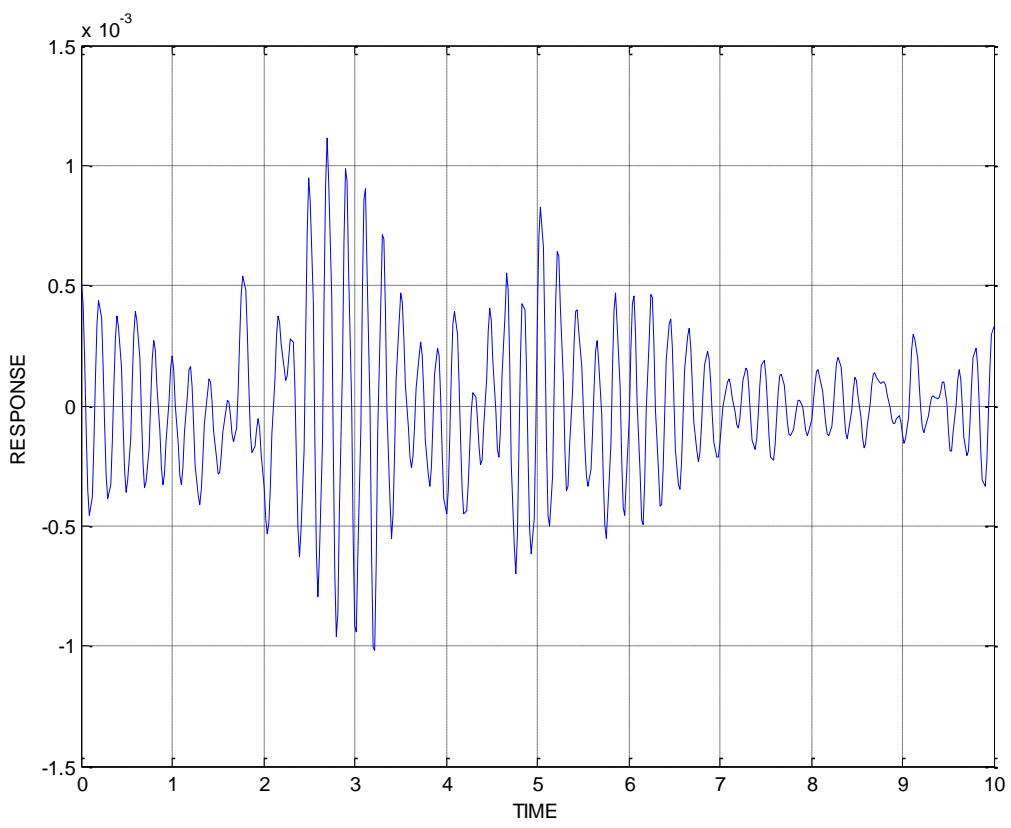
همانگونه که قبلاً گفته شد، تأخیرزمانی در این روش بصورت تأخیرورودی- خروجی یک سیستم فرضی که دارای تابع انتقال  $e^{-S\beta}$  است، مدل می‌شود. سپس تابع فوق در فرم یک تابع جبری مناسب بسطداده می‌شود. از آنجایی که قطب‌های سیستم حلقه-بسته دارای قسمت حقیقی منفی هستند، این روش پایدار است. بنابراین پایداری این روش را بررسی نمی‌کنیم.

همانگونه که بیان شد درجه تقریب‌سازی پد ( $k$ )، یک پارامتر مهم است. بنابراین بانتخاب مناسب برای این پارامتر می‌توان عملکرد این روش را بهبود بخشید.

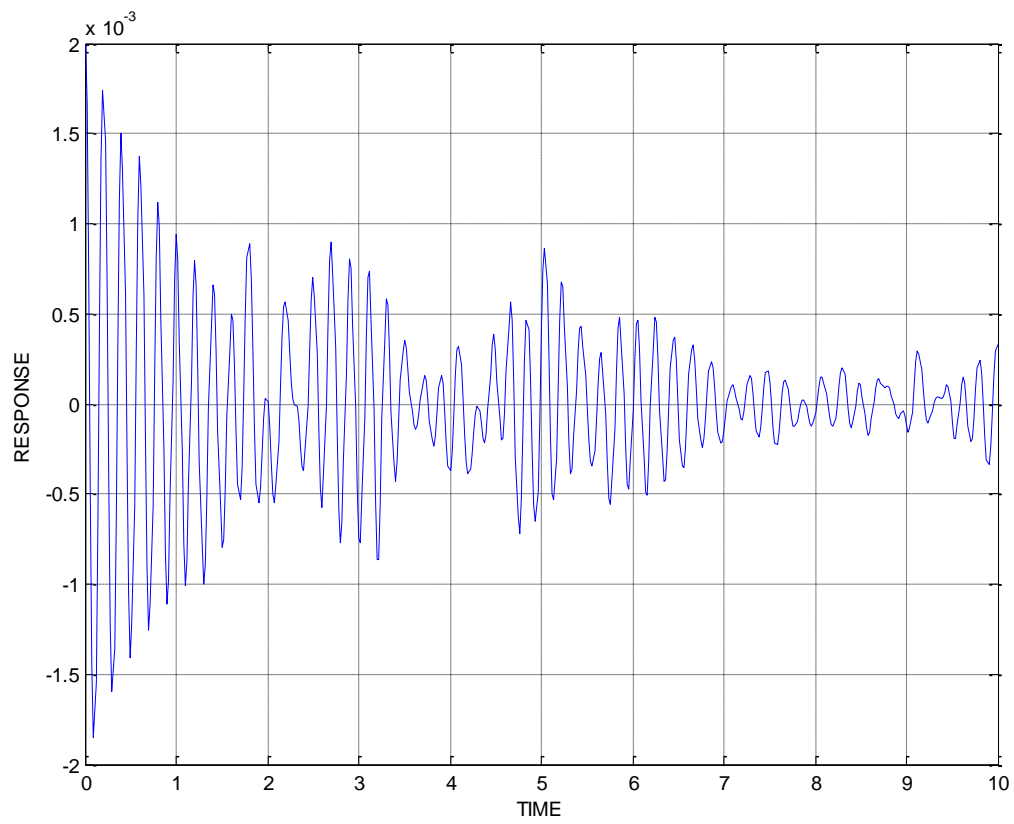
در این قسمت از کنترل‌کننده نوع (CSF) استفاده می‌شود. و در طراحی ماتریس بهره  $G$ ، از روش LQR استفاده شده است. نتایج در صفحات بعد نشان داده شده است.



شکل ۱ - پاسخ جابجایی سازه کنترل شده با تأخیر زمانی ۰.۰۴



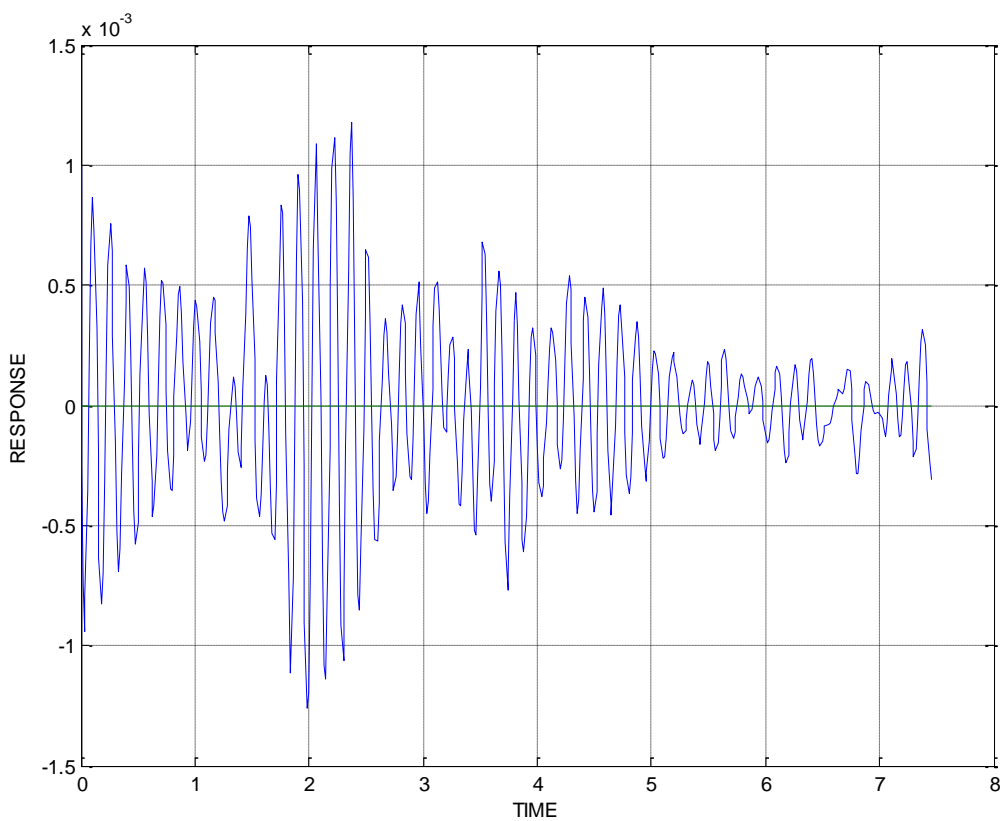
شکل ۲- پاسخ جابجایی سازه کنترل شده با تأخیر زمانی  $0.01\text{ s}$



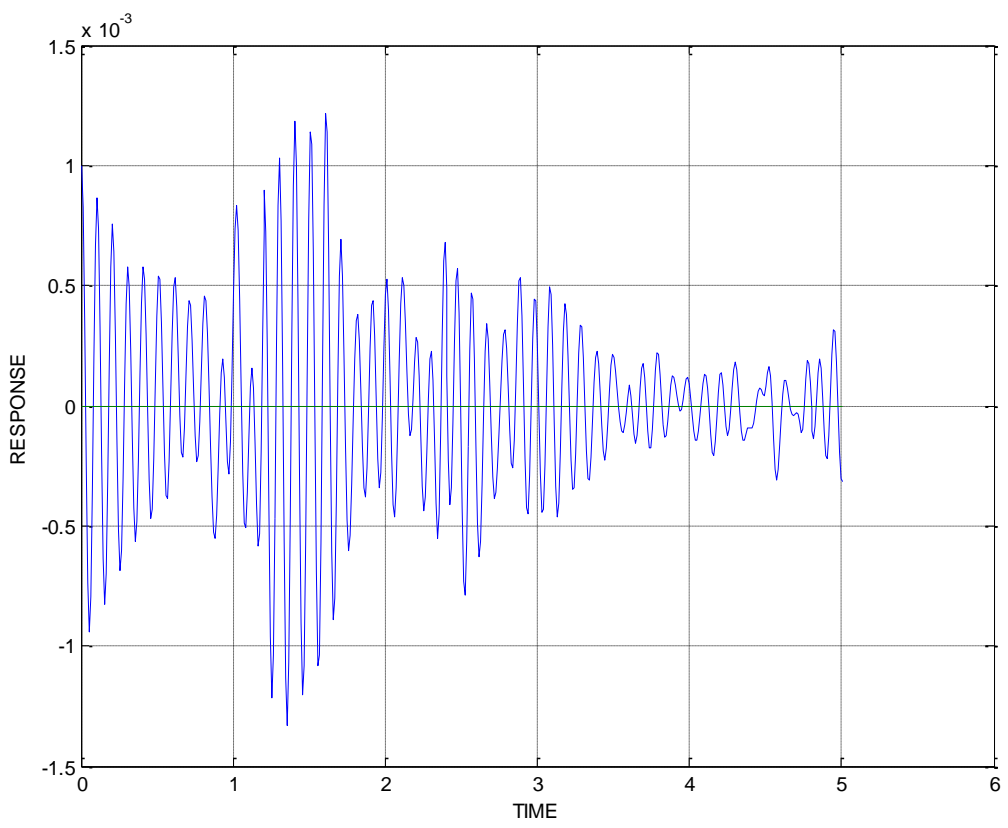
شکل ۳- پاسخ جابجایی سازه کنترل شده با تأخیرزمانی  $0.02 \text{ s}$

#### ۴-۴-عملکرد روش پیش‌بینی کنترل با شاخص عملکرد پیش‌بینی :

در این قسمت عملکرد روش کنترل با شاخص عملکرد پیش‌بینی بررسی می‌شود. در پیش‌بینی پاسخ سازه از مدل ARX استفاده می‌شود. نتایج در زیر آورده شده‌است.



شکل ۱- پاسخ جابجایی سازه کنترل شده با تأخیر زمانی ۰.۰۳



شکل ۲- پاسخ جابجایی سازه کنترل شده با تأخیرزمانی  $s = 0.02$

# فصل پنجم

بحث و نتیجه‌گیری

## مقدمه :

دراين پيان نامه چندين روش جبران اثر تأخير زمانی معرفی شد و کارائی آنها در بهبود عملکرد و کاهش پاسخ سازه ها از طریق مثالهای عددی متفاوت بررسی شد .

بطور کلی روشهای ارائه شده در این پیان نامه رامی توان به دو دسته، روشهای کنترل بهینه شامل روش کنترل بهینه با استفاده از شاخص عملکرد پیش بینی و شاخص عملکرد LQR و روشهای کنترل غیر بهینه شامل روش جبران پیش بینی اسمیت، روش تقریب سازی پد، روش جبران Phase-Shift، روش جبران کنترل پذیری بر اساس پایداری، روش Recursive Response، روش جبران State-Augmented، تقسیم کرد .

در الگوریتم های کنترل بهینه، نیروی کنترل بر اساس حداقل سازی شاخص عملکرد صورت می گیرد .

اما در الگوریتم های کنترل غیر بهینه نیروی کنترل توسط اصولی غیر از حداقل سازی شاخص عملکرد محاسبه می شود . در این الگوریتم ها جبران اثر تأخير زمانی بوسیله اصلاح ماتریس بهره برگشت پذیری حالت صورت می گیرد .

## **مقایسه روشهای کنترل :**

در قسمت اول به معرفی الگوریتم های پیش بینی کنترل بهینه پرداختیم . همانطور که نشان داده شد ، جبران اثر تأخير زمانی در این روش بوسیله پیش بینی پاسخ به تحریک خارجی در گامهای جلوتر صورت می گیرد .

از آنجایی که تأخير زمانی بصورت یک پارامتر مشخص در مدل وجود ندارد، عملکرد این روش محدود به حالتی است که تأخير زمانی ضریبی صحیح از دوره نمونه گیری باشد . نکته مهم در این روش این است که ، دقت پیش بینی بالافزایش تعداد گامهای پیش بینی کاهش می یابد . به همین جهت از حداقل تعداد گام پیش بینی

استفاده شد.

در قسمت دوم به معرفی روش کنترل بهینه با استفاده از شاخص عملکرد پیش‌بینی پرداختیم. از آنجایی که تأخیرزمانی بصورت یک پارامتر مشخص در مدل بکاررفته است، الگوریتم اجازه می‌دهد که تأخیرزمانی هر عدد غیرمنفی باشد. نتایج شبیه‌سازی عددی نشان‌دهنده این است که شاخص سیستم کنترل در بدست آوردن هدف کنترل و کاهش پاسخ سازه بهبود می‌یابد. همانگونه که از طریق شبیه‌سازی عددی نشان داده شد این روش دارای عملکرد بهتری نسبت به روش‌های جبران تقریب سازی پد و روش جبران پیش‌بینی اسمیت در کنترل پاسخ مدل‌های سازه‌ای می‌باشد.

در قسمت سوم به معرفی روش کنترل بهینه با استفاده از شاخص عملکرد LQR پرداختیم. از آنجایی که کنترل‌کننده حاصل، مستقیماً از معادله دیفرانسیلی حرکت سازه بدست آمد و هیچ‌گونه تقریب‌سازی در در محاسبه آن صورت نگرفت، پایداری سازه کنترل شده، تضمین می‌شود. این موضوع از طریق شبیه‌سازی عددی نشان داده شد. بعلاوه کنترل‌کننده حاصل شامل گام کنونی برگشت‌پذیر حالت بعلاوه یک ترکیب خطی از چندین گام قبلی کنترل است. بنابراین به دلیل آن که در این روش نیازی به پیش‌بینی پاسخ سازه نمی‌باشد، دارای عملکرد بهتری نسبت به الگوریتم‌های پیش‌بینی هستند. همانطوری که نشان داده شد حتی یک تأخیرزمانی کوچک نیز ممکن است منجر به ناپایداری سازه کنترل شده گردد. بنابراین با معرفی یک تأخیرزمانی صحیح، می‌توان پایداری و عملکرد سازه کنترل شده را به میزان قابل توجهی بهبود بخشید.

در قسمت چهارم به معرفی مفهوم مکان هندسی ریشه‌ها و جبران اثر تأخیرزمانی با استفاده از مفهوم مکان هندسی ریشه‌ها پرداختیم. همانطوری که نشان داده شد می‌توان با معرفی یک تأخیرزمانی صحیح پایداری سیستم کنترل را که بدون تأخیرزمانی ناپایدار است، بالانتقال قطب‌های سیستم حلقه-بسته به سمت چپ صفحه S، تضمین کرد. این روش را می‌توان به عنوان یک روش قابل اعتماد و ارزان در بهبود عملکرد سیستم‌های کنترل بکار گرفت.

عملکردن روشن پیش‌بینی نیز از طریق شبیه‌سازی مطلب بررسی شد . همانگونه که نشان داده شد این روش نیز در بهبود مدل‌های سازه‌ای دارای عملکرد مطلوبی می‌باشد ، لیکن با فرایش تأخیر زمانی عملکرد این روشن کاهش می‌یابد . این موضوع از نمودارهای مربوطه قابل روئیت است .

روشن تقریب‌سازی پد نیز همانگونه که نشان داده شد یک روش مناسب در جبران اثر تأخیر زمانی و بهبود عملکرد سازه‌ها است . یک پارامتر مهم در این زمینه درجه تقریب‌سازی پد می‌باشد . بنابراین با انتخاب مناسب برای درجه تقریب‌سازی ، می‌توان عملکرد سازه‌کنترل شده را بهبود بخشید .

روشن Recursive Response نیز یکی دیگر از روش‌های جبران اثر تأخیر زمانی بوسیله اصلاح ماتریس بهره برگشت‌پذیر حالت است . این روش از نظر پایداری و عملکرد نسبت به روش Phase-Shift مناسب‌تر است . لیکن پایداری سیستم حلقه-بسه تضمین نمی‌شود . در روش Phase-Shift ، از آنجایی که ماتریس بهره اصلاح شده براساس فرکانس‌های طبیعی سیستم حلقه-باز محاسبه می‌شود ، پایداری سازه کنترل شده برای تأخیرات زمانی بزرگ تضمین نمی‌شود . برای بهره زیاد کنترل کننده نیز این روش قادر به تأمین پایداری سازه کنترل شده نیست .

روشن کنترل‌پذیری براساس پایداری که براساس مفهوم کنترل پذیری ارائه شد ، نیز یک روش دیگر جبران تأخیر زمانی است . لیکن همانگونه که نشان داده شد ، این روش در وضعیت زیر بهینه قرار دارد . اما پایداری این روش همیشه تضمین می‌شود . بعلاوه این روش مناسب‌تر از روش Phase-Shift است . روش جبران تأخیر زمانی State-Augmented نیز همانگونه که نشان داده شد یک روش مؤثر در جبران اثر تأخیر زمانی است و می‌توان با انتخاب مناسب تعداد گسسته‌ها (q) ، یک کنترل کننده جبرای پایدار طراحی کرد .

